

Vegetazione e paesaggio vegetale delle gravine dell'arco jonico

E. Biondi & V. Guerra

Dipartimento di Scienze Ambientali e delle Produzioni Vegetali, Università Politecnica delle Marche, via Brecce bianche, 60131 Ancona; e-mail: e.biondi@univpm.it, valentina.guerra@libero.it

Abstract

Vegetation and plant landscape of the “Gravine” in the Ionian coast. The phytosociological study of the vegetation and the geosynphytosociological analysis of the plant landscape of the Ionian arch Gravine are here presented. The aim of this paper is to give a first contribution on the knowledge of these particular biotopes that represent one of the most important geomorphologic and environmental characteristic of Apulia.

The study area, including the gravine system of Cripiano, Statte and Laterza territories, is located in the western part of Taranto Province, between the Murge area and the Ionian Sea. All the relieves are constituted by the lithotypes belonging to the formations of the Stratigraphic Series of Murge Limestone, which the highest outcropping type is represented by “Calcare di Altamura” and by other formations as: “Calcareniti di Gravina”, “Argille Subappenniniche” and “Calcareniti di Monte Castiglione” that crop out along little ravinements called “lame” present in the areas near the coast. The elaboration of climate data of temperature and precipitations shows that the bioclimate is Mediterranean Pluviseasonal Oceanic with three bioclimatic belts:

- upper thermomediterranean belt: only for the Taranto station,
- low mesomediterranean for the station of Crispiano, Castellaneta and Marina di Ginosa,
- upper mesomediterranean for Matera station.

The vegetation study allowed the identification of the different vegetation typologies occurring in the territory, which are strictly related with the high environmental diversity due to the geomorphologic and microclimatic characteristics of the erosion gullies that often get narrower as canyons with vertical slopes. The vegetation has a great biogeographic interest because to the eastern-Mediterranean (Balkanic) floristic contingent, a good western component is associated, that contributes to the definition and to the synchorological differentiation of the syntaxa.

The following new associations have been described: *Coronillo valentinae-Juniperetum turbinatae*, *Coronillo emeroidis-Pistacietum lentisci*, *Oleo sylvestris-Calicotometum infestae*, *Cardopatio corymbosi-Brometum erecti*, *Convolvulo elegantissimae-Stipetum austroitalicae*, *Stipo austroitalicae-Hyparrhenietum hirtiae*, *Centaureo apulae-Andropogonetum distachyi*, *Ruto chalepensis-Salvietum trilobae*, *Chamaecytiso spinescens-Cistetum eriocephali*, *Helianthemum jonii-Coridothymetum capitati*, *Asyneumo limonifoliae-Saturejetum montanae*, *Phagnalo saxatillii-Saturejetum cuneifoliae*, *Medicago disciformis-Brachypodietum distachyi*, *Onobrychido aequidentatae-Stipetum capensis*. To these, several new subassociations and variants are associated. The phytosociological definition of the *Pistacia lentiscus* and *Olea europaea* var. *sylvestris* maquis required the elaboration of our relevés with those published for the Ionian and the southern Adriatic coasts. The comparison allowed the description the following new associations: *Junipero turbinatae-Pistacetum lentisci* of the eastern Adriatic coast and *Euphorbio dendroidis-Pistacetum lentisci* of the Tremiti Islands. Furthermore, the new alliance *Hypochoerion achyrophori* of the central European Mediterranean has been described, within the order *Trachynietalia distachyae* and the class *Helianthemetalia guttatae*.

The synphytosociological analysis allowed the identification of the following vegetation series:

- Ionian, calcicole-subacidophilous, climatophilous, thermomediterranean series also occurring in the mesomediterranean belt of the Aleppo Pine: *Thymo capitatae-Pino halepensis* Σ;
 - western-Adriatic, calcicole, climatophilous mesomediterranean sub humid and dry series of the holm-oak: *Cyclamino hederifolii-Querco ilicis* Σ;
 - laertino-materane Murge, calcicole, subacidophilous, climatophilous, upper mesomediterranean series of the Macedonian oak: *Teucrio siculi-Querco trojanae* Σ;
 - tavoliere foggiano, neutral-basophile, climatophilous mesomediterranean subhumid series of the *Quercus virgiliiana*: *Irido collinae-Querco virgiliiana* Σ.
- The geosynphytosociological analysis allowed to recognize the following geosygmata:
- Geosigmatum of the calcareous and calcarenitic southern an eastern sectors of the Ionain-Arch gravine;
 - Geosigmatum of the firs soother-eastern Murge terraces;
 - Geosigmatum of the materana and laertina Murgia;
 - Geosigmatum of the Ionain-Arche “lame” with subapennine clays;
 - Microgeosigma of the calcareous walls.

Key words: phytosociology, gravine, south-eastern Italy, plant landscape, synphytosociology.

Riassunto

Viene presentato lo studio fitosociologico della vegetazione e quello geosinfitosociologico del paesaggio vegetale delle gravine dell'arco jonico. Con questo studio si è voluto fornire un primo contributo alla conoscenza di tali particolari biotopi che costituiscono una delle caratteristiche geomorfologiche e ambientali più importanti della Puglia.

L'area in oggetto, che comprende il sistema di gravine dei territori di Crispiano, Statte e Laterza, è situata nella zona occidentale della provincia di Taranto, compresa tra le Murge e il mare Jonio. Tutti i rilievi sono costituiti da litotipi appartenenti alle formazioni della Serie Stratigrafica dei Calcari delle Murge, il cui il termine più alto in affioramento è rappresentato dal “Calcare di Altamura” e da altre formazioni: “Calcareniti di Gravina”, “Argille Subappenniniche”, “Calcareniti di Monte Castiglione”, che possono affiorare in corrispondenza delle incisioni di minore entità, le “lame”, che si presentano nelle aree più prossime alla costa.

L'elaborazione dei dati climatici di temperatura e precipitazioni indicano un bioclimate mediterraneo pluviostagionale oceanico con tre piani bioclimatici:

- termomediterraneo superiore per la sola stazione di Taranto,
- mesomediterraneo inferiore per le stazioni di Crispiano, Castellaneta e Marina di Ginosa,
- mesomediterraneo superiore per quella di Matera.

L'analisi della vegetazione ha portato all'individuazione delle diverse tipologie vegetazionali presenti nel territorio, strettamente relazionate con la

notevole diversità ambientale essenzialmente dovuta alle caratteristiche geomorfologiche e microclimatiche dei solchi erosivi che in molti casi si restringono in veri e propri canyon caratterizzati da pareti a strapiombo. La vegetazione nel suo insieme presenta un rilevante interesse biogeografico in quanto al contingente floristico mediterraneo-orientale (balcanico) si associa una discreta componente occidentale, che contribuisce alla definizione e alla differenziazione sincorologica dei syntaxa.

Sono state descritte le seguenti nuove associazioni: *Coronillo valentinae-Juniperetum turbinatae*, *Coronillo emeroidis-Pistacietum lentisci*, *Oleo sylvestris-Calicotometum infestae*, *Cardopatio corymbosi-Brometum erecti*, *Convolvulo elegantissimae-Stipetum austroitalicae*, *Stipo austroitalicae-Hyparrhenietum hirtae*, *Centaureo apulae-Andropogonetum distachyi*, *Ruto chalepensis-Salvietum trilobae*, *Chamaecytiso spinescentis-Cistetum eriocephali*, *Helianthemo jonii-Coridothymetum capitati*, *Asyneumo limonifolii-Saturejetum montanae*, *Phagnalo saxatilii-Saturejetum cuneifoliae*, *Medicago disciformis-Brachypodietum distachyi*, *Onobrychido aequidentatae-Stipetum capensis*. A queste si aggiungono diverse subassociazioni di nuova istituzione e varianti. La definizione fitosociologica della macchia a *Pistacia lentiscus* e *Olea europaea* var. *sylvestris* ha richiesto l'elaborazione dei rilievi prodotti con quelli già editi per la costa ionica e l'adriatica meridionale permettendo di descrivere le seguenti nuove associazioni: *Junipero turbinatae-Pistacetum lentisci*, dell'Adriatico orientale, e *Euphorbio dendroidis-Pistacetum lentisci* delle isole Tremiti. Viene inoltre istituita la nuova alleanza *Hypochoerion achyrophori*, del mediterraneo centrale europeo, nell'ambito dell'ordine *Trachynietalia distachyae* e della classe *Helianthemetalia guttati*. Della stessa vengono indicate due suballeanze: *Hypochoerenion achyrophori*, la tipica, dei prati terofitici settentrionali, differenziata soprattutto da specie eurimediterranee, e *Ononidenion ornithopodioides*, più termofila, a prevalente distribuzione meridionale.

L'analisi sinfitosociologica ha portato ad individuare le seguenti serie di vegetazione:

- Serie ionica, calcicola-subacidofila, climatofila, termomediterranea con penetrazioni nel mesomediterraneo del pino d'Aleppo: *Thymo capitati-Pino halepensis* Σ;
- Serie adriatico-occidentale, calcicola, climatofila, mesomediterranea subumida e secca del leccio: *Cyclamino hederifolii-Querco ilicis* Σ;
- Serie delle Murge laertino-materane, calcicola subacidofila, climatofila, mesomediterranea superiore del fragno: *Teucrio siculi-Querco trojanae* Σ;
- Serie del tavoliere foggiano, neutrobasifila, climatofila, mesomediterranea subumida della quercia virgiliana: *Irido collinae-Querco virgiliana* Σ.

L'analisi geosinfitosociologica ha permesso di riconoscere i seguenti geosigmete:

- Geosigmetum dei settori calcarei e calcarenitici, meridionali ed orientali delle gravine dell'arco jonico;
- Geosigmetum dei primi terrazzi murgiani sud-orientali;
- Geosigmetum della murgia materana e laertina;
- Geosigmetum delle "lame" dell'arco jonico;
- Microgeosigmete delle pareti calcaree.

Parole chiave: fitosociologia, gravine, Italia meridionale-orientale, paesaggio vegetale, sinfitosociologia.

INDICE

Introduzione	59	<i>Rubo ulmifolii-Myrtetum communis</i>	84
Lineamenti geologici e geomorfologici	60	PRATERIE PERENNII	84
Lineamenti bioclimatici	62	<i>Convolvulo elegantissimae-Stipetum austroitalicae</i>	85
Esplorazione botanica	62	<i>Cardopatio corymbosi -Brometum erecti</i>	86
Caratteristiche floristiche	63	<i>Centaureo apulae-Andropogonetum distachyi</i>	86
Materiali e metodi	68	<i>Stipo austroitalicae-Hyparrhenietum hirtae</i>	89
Vegetazione	68	GARIGHE	89
VEGETAZIONE FORESTALE	69	<i>Helianthemo jonii-Thymetum capitati</i>	89
Aggr. ad <i>Ulmus minor</i>	69	<i>Ruto chalepensis-Salvietum trilobae</i>	89
<i>Teucrio siculi- Quercetum trojanae</i>	69	<i>Chamaecytiso spinescentis-Cistetum eriocephali</i>	90
<i>Irido collinae-Quercetum virgilianna</i>	70	<i>Asyneumo limonifolii-Saturejetum montanae</i>	92
<i>Festuco exaltatae-Quercetum ilicis</i>	71	<i>Phagnalo saxatilii-Saturejetum cuneifoliae</i>	92
<i>Cyclamino hederifolii-Quercetum ilicis</i>	71	<i>Phagnalo annotici-Fumanetum thymifoliae</i>	92
<i>Cyclamino hederifolii-Pinetum halepensis</i>	71	Aggr. a <i>Cistus monspeliensis</i>	93
<i>Thymo capitati-Pinetum halepensis</i>	72	Aggr. a <i>Cistus creticus</i> L. ssp. <i>creticus</i>	93
MANTELLI DI VEGETAZIONE	73	PRATELLI ANNUALI	93
<i>Roso sempervirentis-Rubetum ulmifolii</i>	73	<i>Medicago disciformis-Brachypodietum distachyi</i>	93
<i>Asparago acutifolii-Osyridetum albae</i>	73	<i>Onobrychido aequidentatae- Stipetum capensis</i>	96
VEGETAZIONE DI MACCHIA	73	VEGETAZIONE RUPICOLA	99
<i>Coronillo valentinae-Juniperetum turbinatae</i>	75	<i>Aurinio-Centauretum apulae</i>	100
<i>Coronillo emeroidis -Pistacietum lentisci</i>	75	<i>Cymbalaria muralis-Trachelietum coerulei</i>	100
<i>Oleo sylvestris-Calicotometum infestae</i>	80	<i>Capparidetum inermis</i>	101
<i>Coronillo emerooides -Euphorbiagetum dendroidis</i>	81	Schema sintassonomico	108
<i>Cyclamino repandi-Paliuretum spinae-christi</i>	83	Sintaxa istituiti non presenti nel territorio indagato	109
		Altri sintaxa citati nel testo	109
		Paesaggio vegetale	110

I -GEOSIGMETUM DEI SETTORI CALCAREI E CALCARENITICI, MERIDIONALI ED ORIENTALI DELLE GRAVINE DELL'ARCO JONICO	110
II - GEOSIGMETUM DEI PRIMI TERRAZZI MURGIANI SUD-ORIENTALI	111
III - GEOSIGMETUM DELLA MURGIA MATERANA E LAERTINA	112
IV – GEOSIGMETUM DELLE “LAME” DELL’ARCO JONICO	114
V – MICROGEOSIGMETA DELLE PARETI CALCAREE	114
Ringraziamenti	114
Bibliografia	115
Addenda	118

Introduzione

Scopo del presente lavoro è l’analisi delle tipologie vegetazionali che concorrono, in base all’interpretazione fitosociologica, sinfitosociologica e geo-sinfitosociologica a formare il paesaggio vegetale delle gravine dell’arco jonico. Sono queste costituite da profondi solchi erosivi che incidono trasversalmente i ripiani murgiani, digradando verso il mare Jonio. Sul fondo delle gravine scorrono modesti corsi d’acqua attivi, per la maggior parte, solo in occasione di precipitazioni eccezionali.

Tali ambienti sono stati sino ad ora poco indagati in termini fitosociologici per cui la ricerca che viene presentata ha lo scopo di colmare una lacuna sulla conoscenza della loro vegetazione e su quella, ancora meno indagata, del paesaggio vegetale. Vegetazione e paesaggio vegetale sono in questi luoghi notevolmente variabili a causa della morfologia profondamente incassata delle gravine che determina variazioni elevate negli ecosistemi che, per lo più, si realizzano in stretti ambiti geo-pedologici e microclimatici, determinando un’elevata variabilità delle serie di vegetazioni mentre gli stadi seriali sono solitamente limitati, in quanto le comunità risultano, assai spesso, bloccate nel loro dinamismo dalle particolari condizioni ambientali.

Geograficamente, il territorio delle gravine, è delimitato ad ovest dalla regione Basilicata, a nord dalla provincia di Bari, ad est dalla restante parte della provincia di Taranto ed a Sud dal mare Jonio (Fig.1).

In tutta l’area sono presenti circa 69 solchi erosivi di forma e dimensione diverse. Possono infatti essere profonde da poche decine di metri fino ad oltre 200 m con pareti subverticali se non addirittura verticali e con tratti a decorso talora molto tortuoso (Fig.2).

La distribuzione delle gravine dell’arco jonico risulta disposta su due piani, formanti un arco che si affaccia sul golfo di Taranto: il primo piano, l’inferiore, è compreso tra 100 m e 300 m mentre il secondo, il più

alto, è compreso tra 300 m e 500 m. I rilievi maggiormente elevati di quest’ultimo sono: M. Pianelle 492 m, fra Martina e Massafra; M. Orsetti (461 m) a nord-est di Mottola; M. Parcone (453 m) a nord-est di Laterza; M. Sant’Elia (450 m), a nord di Massafra; M. Santa Trinità (412 m), ad ovest di Castellaneta e Mottola (387 m).

L’area oggetto di studio è situata nella zona ad ovest della provincia di Taranto, compresa tra le Murge e il mare Jonio, e comprende il sistema di gravine del territorio di Crispiano e Statte (complesso di gravine denominate di: “Miola”, “Mesole”, “Alezza”, “Boccaladroni”, “Triglio”, “Lamastuola”, “Leucaspide” e “Gennarini”) e la gravina di Laterza (a questa si affiancano solchi meno importanti come la gravina del Varco e il fosso dell’Alloro). Le gravine di Crispiano e Statte si sviluppano ad oriente, in corrispondenza dell’arco collinare più basso, ad un’altitudine media di circa 250 m e si estendono per una lunghezza complessiva di circa 10 km, facendo parte di un unico reticolto idrografico confluente nel fiume Tara.

La gravina di Laterza è disposta ad occidente su un piano collinare più elevato che nasce ad un’altitudine di circa 400 m e si snoda con andamento meandriforme per circa 12 Km, confluendo nel fiume Lato. Quest’ultima è una delle più imponenti gravine della Puglia, in quanto è larga circa 500 m ed ha pareti a strapiombo di oltre 200 m..

La porzione settentrionale del territorio della provincia di Taranto, così come l’intera area pugliese, è

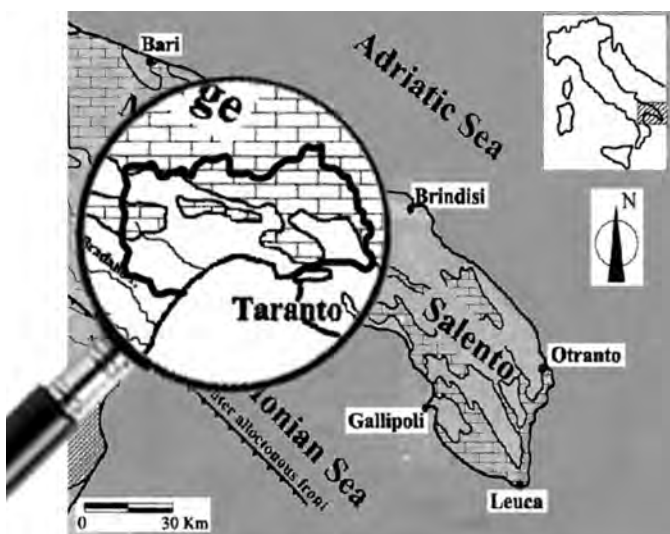


Fig. 1 - Individuazione dell’area in studio, nella Puglia meridionale

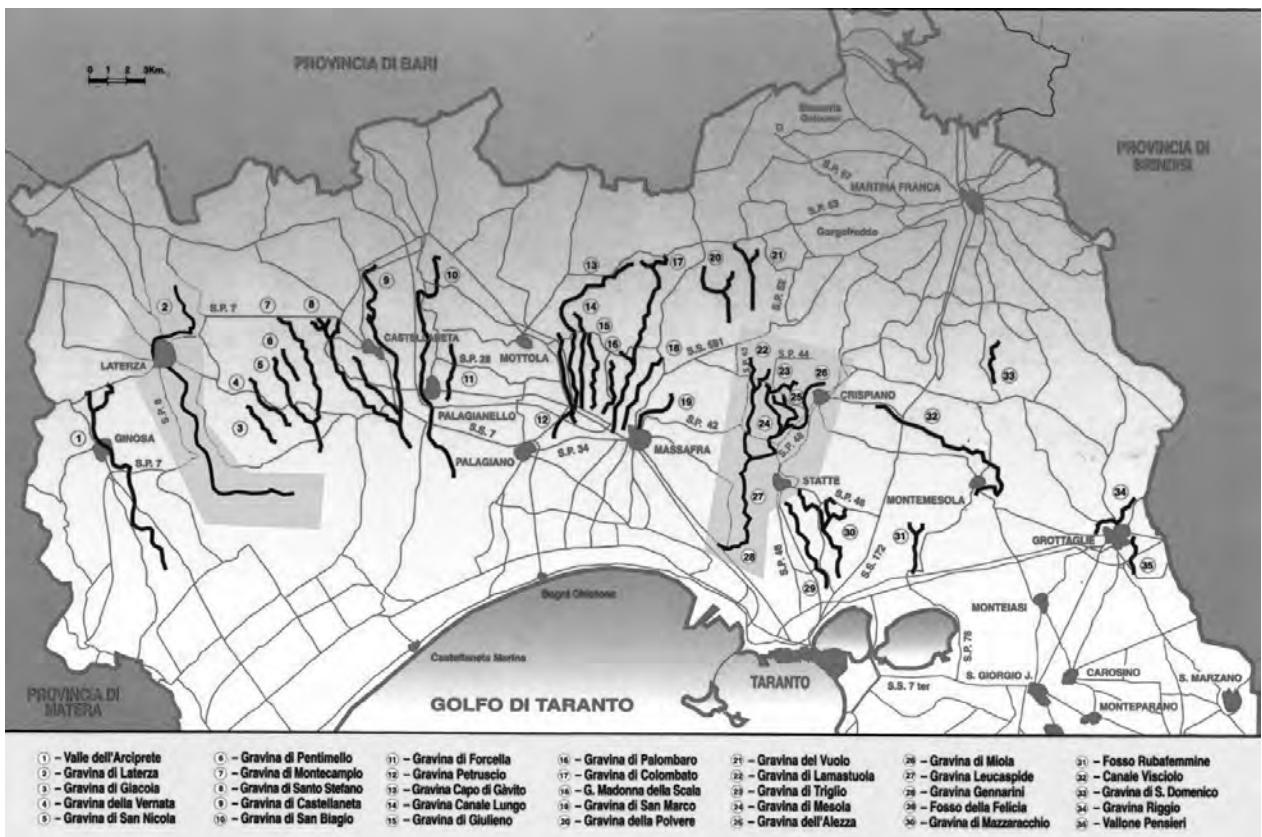


Fig. 2 - Territorio delle gravine dell'arco jonico con indicazione delle aree di studio (da Studio associato ST.AR.T di Tonti e Tomassi in Valentini, 1998 modificata)

caratterizzata, per le condizioni climatiche e geomorfologiche, dalla sostanziale carenza di idrografia superficiale attiva. I canaloni e le gravine rappresentano evidenti elementi di accidentalità fisico-geografica e costituiscono le principali linee d'impluvio. La costituzione litologica delle rocce infatti, data l'elevata permeabilità e la natura carsica delle stesse, determina la mancanza di corsi d'acqua perenni, poiché le acque meteoriche, relativamente contenute, passano rapidamente nel sottosuolo. Ciò spiega perché l'idrografia superficiale è pressoché assente e nel fondo stesso delle gravine l'acqua non sia sempre presente ad eccezione di condizioni meteoriche eccezionali.

Lineamenti geologici e geomorfologici

L'arco jonico tarantino si trova compreso nella zona di transizione tra l'avanfossa Bradanica e l'avampaese

Apulo, le cui caratteristiche geologiche ed idrogeologiche risultano fortemente influenzate da entrambe queste unità stratigrafico-strutturali.

Relativamente al territorio murgiano, l'avampaese Apulo è caratterizzato da una successione di strati calcarei e subordinatamente dolomitici, di età mesozoica, la cui parte affiorante è nota in bibliografia con il nome di "Gruppo dei Calcarei delle Murge" (Valduga, 1965). L'assetto geologico strutturale dell'intera area è condizionata dagli affioramenti di calcaro del margine meridionale della Murgia che borda l'intero arco jonico. Sono costituiti da tavolati calcarei alterati e disgregati da faglie dirette e trascorrenti, subverticali. I calcari degradano verso il mare Jonio sia per effetto della naturale giacitura degli strati che per la gradonatura del tavolato calcareo legata alla presenza di fratture e di faglie distensive. I rilievi sono costituiti da litotipi appartenenti alle formazioni della Serie Stratigrafica dei Calcarei delle Murge (Martininis &

Robba, 1971; Bonzi *et al.*, 1971). La successione delle formazioni riconoscibili nell'arco jonico-tarantino è pertanto costituita, procedendo dal basso verso l'alto, da:

- Calcare di Altamura (Turoniano-Senoniano)
- Calcareniti di Gravina (Pliocene medio-Pleistocene inferiore)
- Argille subappennine (Pleistocene inferiore);
- Calcareniti di Monte Castiglione (Calabriano - Tirreniano)
- Conglomerato di Irsina (Calabriano)
- Depositi marini terrazzati (postcalabriano-Pleistocene superiore)
- Depositi alluvionali terrazzati e d'alveo (Olocene).

CALCARE DI ALTAMURA: affiora estesamente nelle Murge sud-orientali per uno spessore prossimo ai 1000 m. Rappresenta il basamento rigido dell'area considerata ed è presente in affioramento nella parte orientale e settentrionale della zona di Taranto, mentre verso la zona sud, il tetto della formazione va approfondendosi e viene ricoperto da spessori sempre maggiori di sedimenti recenti. Gli affioramenti più estesi si rinvengono in corrispondenza delle Murge di Martina Franca (tra M. Pianelle e M. Trazzonara), nella parte settentrionale dell'area, dove forma i maggiori rilievi che non superano i 500 m.

CALCARENITI DI GRAVINA: poggiano sul Calcare di Altamura, con contatto trasgressivo in discordanza angolare ed affiorano in lembi più o meno estesi allungati in direzione ovest-est a ridosso delle rive calcaree delle Murge in una fascia estesa su tutto l'Arco Jonico e, in lembi isolati, anche all'interno delle Murge stesse. Gli affioramenti maggiori si rinvengono nella zona compresa tra Massafra e Crispiano e lo spessore si aggira mediamente intorno ai 45 m. Note localmente col nome di "tufo zuppino", sono costituite, da sabbie calcaree, più o meno cementate, di colore bianco-giallastro, derivate in gran parte dall'accumulo di frammenti fossili, nonché dalla degradazione dei calcaro cretacei sottostanti.

ARGILLE SUBAPPENNINE: poggiano, in continuità stratigrafica, sulle Calcareniti di Gravina e rappresentano il termine batimetricamente più profondo del ciclo sedimentario della Fossa Bradanica. Si tratta di marne argillose ed argille marnose e siltose di colore grigio-azzurro con intercalazioni sabbiose. Affiorano in vaste placche allineate lungo la banda sinclinale Mottola-Crispiano-Monteiasi-Lizzano con uno spessore che si aggira massimo intorno ai 100 m ed in lembi residui lungo tutto l'Arco jonico Tarantino (Ricchetti, 1967). Presso il margine murgiano le Argille

subappennine autoctone affiorano estesamente in agro di Castellaneta e a Nord di quello di Laterza. Inoltre la formazione è esposta in corrispondenza di profonde incisioni, quali le gravine dove affiorano in placche più o meno estese a Ovest dell'abitato di Crispiano, in località Cacciagualani e sul Monte Specchia.

CALCARENITI DI MONTE CASTIGLIONE: poggiano direttamente sulle Argille o sulle Calcareniti di Gravina e rappresentano il termine di chiusura del ciclo sedimentario (trasgressivo-regressivo) plio-pleistocenico. Sono costituite da calcareniti grossolane di colore grigio-giallastro, spesso arrossate in superficie e sono caratterizzate dalla presenza di numerosi terrazzi marini. Affiorano, in lembi più o meno estesi ad Est dell'abitato di Crispiano, sino al confine con il territorio di Montemesola e, in lembi di limitata estensione, nei dintorni di Matera e di Laterza. Lo spessore massimo, sempre ridotto, raggiunge 20 m al Monte Specchia, presso Statte mentre i minimi oscillano tra 2 e 7 m.

CONGLOMERATO DI IRSINA: è costituito da ghiaie e sabbie poligeniche terrazzate con fossili che chiude il ciclo sedimentario plio-calabriano. Poggia in genere sulle Calcareniti di M. Castiglione ma nella Murgia di Laterza risulta in qualche caso trasgressivo sui calcari cretacei.

DEPOSITI MARINI TERRAZZATI: si tratta di unità formazionali di esiguo spessore (da qualche metro sino ad una quindicina di metri) che poggiano in trasgressione su distinte superfici di abrasione poste a quote diverse a seguito del ritiro del mare verso le attuali linee di costa durante tutto il pleistocene medio-superiore. Affiorano estesamente nella porzione sud-occidentale del territorio di Taranto, nella pianura costiera ad ovest di Punta Rondinella. I maggiori affioramenti corrispondono a zone morfologicamente depresse e allungate secondo le principali strutture regionali. Le migliori esposizioni si osservano in corrispondenza dei fianchi delle lame di Lenne, del fiume Lato e del torrente Fiumicello. In questo settore i depositi marini terrazzati sono essenzialmente sabbiosi-ghiaiosi e conglomeratici. Le sabbie sono costituite in prevalenza da quarzo, feldspati e da frammenti litici di varia natura.

DEPOSITI ALLUVIONALI TERRAZZATI E D'ALVEO: sono costituiti da sabbie più o meno limose ed argillose dell'Olocene, di colore grigio. Hanno spessore piuttosto modesto e ricoprono parzialmente le Argille subappennine ed i depositi marini terrazzati.

Per quanto riguarda i suoli in quasi tutte le formazioni descritte sono presenti coltri di alterazione superficiale strettamente legate all'azione chimico-fisica subita dalla roccia madre. Al di sopra delle calcareniti si evidenzia un orizzonte pedologico costituito da terreni a

granulometria sabbiosa povero di sostanze organiche e pietroso, scarsamente profondo. Nei luoghi in cui affiorano i calcari, i fenomeni di alterazione hanno portato alla formazione di terre rosse, di spessore assai variabile.

Lineamenti bioclimatici

Per la classificazione bioclimatica dell'area sono stati utilizzati i dati climatici delle stazioni pluviotermiche di: Taranto, Crispiano, Castellaneta, Marina di Ginosa e Matera, dislocate lungo una fascia altimetrica variabile fra 16 m e 401 m.

Dall'esame dell'andamento stagionale ed annuale dei parametri udometrici delle cinque stazioni pluviotermiche considerate, (Tab.1) risulta che la stagione più piovosa è l'inverno ed il massimo di precipitazione si registra dalla stazione di Castellaneta con 188 mm di pioggia totali caduti in questo trimestre. Le precipitazioni sono crescenti durante il periodo autunnale e raggiungono i massimi valori nel mese di novembre, ad eccezione della stazione di Ginosa, che presenta il picco più elevato nel mese di dicembre con 58 mm. Durante i successivi mesi invernali e quelli primaverili le precipitazioni decrescono fino a raggiungere i valori più bassi durante i mesi di luglio e agosto. Il valore minimo è raggiunto dalla stazione costiera di Taranto con 15 mm di precipitazione nel mese di luglio. Si può in generale osservare che le stazioni costiere sono decisamente meno piovose rispetto a quelle interne (presentano tutte medie annuali < a 500 mm).

Per quanto concerne le temperature (Tab. 2) si può osservare che l'inverno è nel complesso mite, in quanto nei mesi più freddi (gennaio e febbraio) le temperature

medie non scendono mai al di sotto di 6 °C. Il valore più basso della media dei minimi è raggiunto dalla stazione di Matera con un valore di 2,6 °C. I minimi termici risultano più attenuati nelle stazioni costiere di Taranto e Ginosa marina, che risentono dell'azione mitigatrice del mare. I mesi più caldi sono luglio ed agosto e si può notare che i massimi termici sono più elevati nelle stazioni interne delle Murge perché sono meno sensibili all'azione termoregolatrice del mare e la loro posizione è moderatamente più continentale.

L'elaborazione dei dati termo-pluviometrici permette di attribuire tutte le stazioni considerate al macrobioclimate mediterraneo, bioclimate mediterraneo pluviostagionale oceanico (Rivas Martinez *et al.*, 2005).

Il termotipo è:

- termomediterraneo superiore per la stazione di Taranto;
- mesomediterraneo inferiore per quelle di Crispiano, Castellaneta, Marina di Ginosa;
- mesomediterraneo superiore per la stazione di Matera (Fig. 3).

L'ombrotipo è:

- secco inferiore per le stazioni costiere di Taranto e Marina di Ginosa;
- secco superiore per quelle di Crispiano e Matera;
- subumido inferiore per quella di Castellaneta.

Esplorazione botanica

Il territorio della Murgia sud-orientale e delle gravine in senso stretto è stato oggetto di pochissime erborizzazioni. Il primo vero lavoro sulla flora pugliese: "Flora della Terra di Bari" (Palanza, 1900) che, nelle intenzioni dell'Autore avrebbe dovuto riguardare la sola provincia di Bari ma in effetti, a seguito delle

Tab.1 - Precipitazioni medie mensili, annue e stagionali relativi alle stazioni pluviotermiche di Taranto, Crispiano, Castellaneta, Marina di Ginosa e Matera

Taranto, Periodo di osservazione 1966- 1982 (17)																	
	G	F	M	A	M	G	L	A	S	O	N	D	ann.	Inv.	prim.	est.	aut.
Pi	55	44	47	33	31	17	15	20	26	52	70	59	469	158	111	52	148
Crispiano, Periodo di osservazione 1966- 1982																	
	G	F	M	A	M	G	L	A	S	O	N	D	ann.	Inv.	prim.	est.	aut.
Pi	61,3	57,0	61,8	35,2	34,4	24,2	28,0	23,8	37,1	57,8	73,9	61,0	555,5	179,3	131,4	76	168,8
Castellaneta, Periodo di osservazione 1921- 1962 (42)																	
	G	F	M	A	M	G	L	A	S	O	N	D	ann.	Inv.	prim.	est.	aut.
Pi	64	45	61	41	41	31	18	29	49	64	82	79	604	188	143	78	195
Marina di Ginosa, Periodo di osservazione 1966- 1990 (25)																	
	G	F	M	A	M	G	L	A	S	O	N	D	ann.	Inv.	prim.	est.	aut.
Pi	44	51	43	28	27	21	16	21	35	59	52	58	456	153	98	58	146
Matera, Periodo di osservazione 1921- 1949 (29)																	
	G	F	M	A	M	G	L	A	S	O	N	D	ann.	Inv.	prim.	est.	aut.
Pi	59	46	50	37	40	36	17	19	40	61	73	70	548	175	127	72	174

Tab. 2 - Temperature medie mensili ed annuali relativi alle stazioni pluviometriche di Taranto, Crispiano, Castellaneta, Marina di Ginosa e Matera

Taranto, Periodo di osservazione 1962- 1982 (21)													
	G	F	M	A	M	G	L	A	S	O	N	D	ann.
Ti	8.8	9.2	11.7	14.4	18.6	22.7	25.4	25.7	22.8	18.3	13.8	10.7	16.8
Mi	11.8	12.8	14.8	18.8	22.3	26.6	29.8	29.9	26.3	21.8	17.5	14.1	20.5
mi	6,4	6,9	8,4	11,1	14,9	19,0	21,6	21,9	18,9	15,5	11,8	8,8	13,8
Crispiano, Periodo di osservazione 1951- 1990 (40)													
	G	F	M	A	M	G	L	A	S	O	N	D	ann.
Ti	7,8	8,3	10,6	13,3	18,0	22,2	25,1	24,9	21,6	16,9	12,7	9,3	15,9
Mi	10,9	11,7	14,3	17,5	22,7	27,2	30,3	30,1	26,2	20,7	15,9	12,4	20,9
mi	4,7	4,9	6,9	9,1	13,3	17,1	19,9	19,8	17,0	13,0	9,4	6,3	11,8
Castellaneta, Periodo di osservazione 1921- 1962 (42)													
	G	F	M	A	M	G	L	A	S	O	N	D	ann.
Ti	7,2	7,7	9,9	13,3	17,4	22,0	24,9	25,1	21,7	16,9	12,9	9,0	15,7
Mi	10,7	11,4	14,0	18,1	22,9	28,0	31,2	31,4	27,3	21,4	16,6	12,4	20,4
mi	3,7	3,9	5,7	8,4	11,9	15,9	18,6	18,8	16,1	12,3	9,1	5,5	10,8
Marina di Ginosa, Periodo di osservazione 1966- 1990 (25)													
	G	F	M	A	M	G	L	A	S	O	N	D	ann.
Ti	8,8	9,3	11,0	13,4	17,7	21,6	24,7	24,7	21,8	17,5	12,9	9,8	16,1
Mi	12,7	13,3	15,1	17,8	22,2	26,5	30,1	29,8	26,7	21,9	17,1	13,8	20,6
mi	4,9	5,4	6,9	9,0	13,2	16,7	19,4	19,6	17,0	13,2	8,7	5,9	11,7
Matera, Periodo di osservazione 1921- 1949 (29)													
	G	F	M	A	M	G	L	A	S	O	N	D	ann.
Ti	6,3	7,0	9,1	12,8	17,1	22,3	25,3	24,9	21,5	16,6	12,0	7,9	15,2
Mi	10,0	1,1	13,6	18,2	23,1	29,0	32,6	31,9	27,8	21,5	16,0	11,5	19,7
mi	2,6	2,9	4,6	7,4	11,1	15,5	18,0	17,8	15,2	11,7	7,9	4,3	9,9

integrazioni dello Jatta, assume la consistenza di una vera e propria flora regionale, non comprende di fatto il territorio d'indagine (Caputo *et al.*, 1988).

Nei primi del 900 il Lacaita pubblica una serie di contributi su singole specie che fanno riferimento anche all'area delle grevine: *Helianthemum jonium* Lacaita, specie endemica dell'Italia meridionale, *Crocus thomasii* Ten., *Thymus spinulosus* Ten., tutte raccolte nella gravina di Leucaspide, a circa 50 m di altitudine, e poi, ancora: *Alkanna tinctoria* (L.) Tausch, *Campanula versicolor* Hawkins, *Euphorbia aleppica* L., *Convolvulus elegantissimus* Miller, *Crepis neglecta* L., *Asyneuma limonifolium* (L.) Janchen e *Salvia triloba* L. Fil.

Nel decennio 1960 la Francini Corti pubblicò la ben nota monografia “Aspetti della vegetazione pugliese e contingente paleogeografico meridionale delle Puglie” con la quale presenta un quadro pressochè completo della vegetazione pugliese e cita diverse specie rinvenute nelle gravine dell’arco jonico. Importanti sono inoltre i contributi della Bianco, riguardanti la flora della Puglia in generale e in cui spesso si rinvengono citazioni di piante presenti nell’area murgiana (Bianco 1961a; 1961b; 1962 a; 1962 b; Bianco *et al.*, 1976a; Bianco 1976b; 1990). Diversi lavori sono stati dedicati dalla stessa alla distribuzione di alcune entità critiche e di interesse biogeografico rinvenute nella regione pugliese, tra cui in particolare, per il territorio delle gravine si

possono ricordare i seguenti: Bianco *et al.*, 1976c; 1981-82; 1989. In questi lavori vennero segnalate alcune presenze importanti come: *Campanula versicolor* Hawkins, *Centaurea subtilis* Bertol., *Allium moschatum* L., *Arum apulum* (Carano) Bedalov, estremamente rara e circoscritta all'area delle sole Murge, *Centaurea centaurium* L., nota solo per la stazione di Laterza, *Aegilops uniaristata* Vis., *Euphorbia wulfenii* Hoppe, specie illirica molto rara rinvenuta anche nella gravina di Laterza, *Dictamnus albus* L., nuova per la stazione di Laterza e per il bosco di Lucignano in Lucania, *Tremastelma palaestinum* (L.) Janchen, *Allium atroviolaceum* Boiss., *Linum tommasinii* Rchb.

Di ampio respiro sono, infine, i lavori del Parenzan, il quale esplorò interamente numerose gravine dell’arco jonico dedicandosi principalmente allo studio delle grotte e secondariamente a quello degli aspetti faunistici e floristici. Per questi ultimi si avvalse della collaborazione di vari specialisti, fra i quali: D’Amico e Medagli (Medagli, 1995; Medagli, D’Amico, 1989a; Medagli & D’Amico, 1989b).

Caratteristiche floristiche

Dal punto di vista biogeografico, in accordo con Rivas Martinez *et al.* (2004), l’area delle gravine dell’arco jonico ricade nella zona di transizione fra il Settore Apulo della Provincia Adriatica (Regione Mediterranea, Subregione Mediterranea Orientale) e il Settore Costiero Italiano Occidentale della Provincia Italo-Tirrenica (Regione Mediterranea, Subregione Mediterranea Occidentale) (Fig. 4).

Le entità delle floro delle gravine rinvenute con la presente ricerca sono 567 a prevalente distribuzione mediterranea: stenomediterranee (25%), eurimediterranee (26%), E-mediterranee (8%); W-Mediterranee (6%). Gli altri corotipi sono: eurasiatriche (12%), paleotemperate (6%), europee (6%), endemico (5%) ampia distribuzione (5%) e avventizie (1%).

Le forme biologiche corrispondenti alla flora

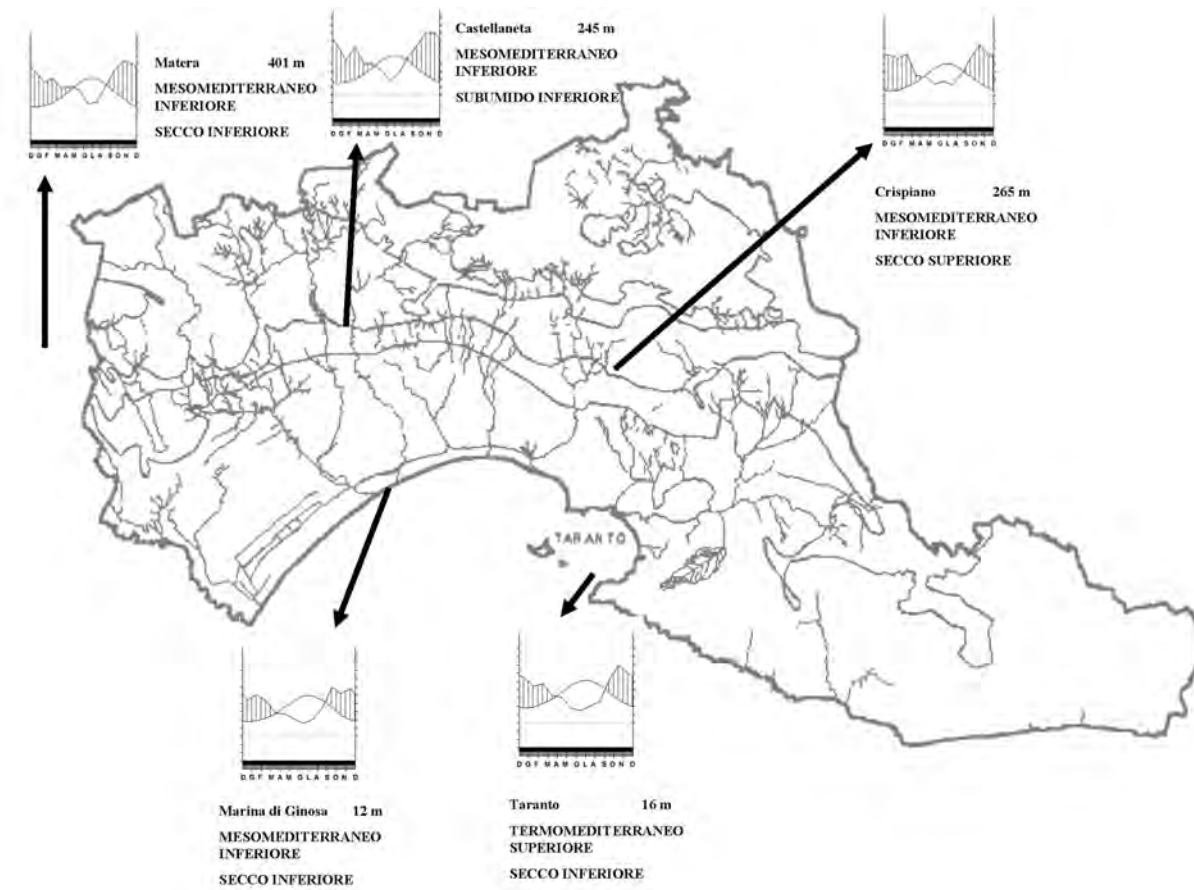


Fig. 3 - Caratteristiche bioclimatiche del territorio delle gravine

rivenuta sono: emicriptofite (34%), terofite (31 %), geofite (14%), fanerofite (10%), camefite (7%), nano fanerofite (3%), idrofite (1%).

Le entità mediterraneo-orientali permettono di confermare l'ipotesi paleogeografica e fitogeografica avanzata per la Puglia meridionale, dalla Francini Corti (1953, 1966, 1967) con riferimento all'ampio collegamento terrestre che si creò nel Miocene medio tra quest'area pugliese e la parte meridionale delle terre dell'Egeo. Tale collegamento avrebbe permesso infatti la migrazione di numerose specie con esigenze ecologiche diverse, alcune delle quali avrebbero trovato nelle gravine, grazie ai numerosi microambienti che le caratterizza, importanti stazioni di rifugio (Fig. 5).

Tali specie, propriamente definite come "Paleogeiche transjoniche meridionali" presentano oggi un areale più o meno esteso a seconda di come hanno potuto superare le vicende climatiche quaternarie, che hanno segnato il progressivo restringimento del loro areale (Francini Corti, 1966). Tra queste entità sono da ricordare: *Campanula versicolor* Hawkins (Fig. 6), orofila mediterranea orientale, con areale principale nella parte meridionale della Penisola Balcanica. La distribuzione

italiana appare chiaramente disgiunta in due semicerchi, di cui uno interessa le falesie del Salento meridionale e l'altro comprende il lungo bordo meridionale delle Murge, che costituiva probabilmente la linea di costa durante il Pliocene (Bianco & Sarfatti, 1961). La specie è stata segnalata per la prima volta da Bertoloni (1835) e dal Tenore (1835-36) per le Murge. Successivamente Bianco *et al.* (1981-82), ne ampliano il quadro distributivo segnalandola per diverse gravine dell'arco jonico, fra le quali sono comprese quelle di Laterza e del Varco, nel comune di Laterza, e nella gravina di Leucaspide, in territorio di Statte. Altre specie interessanti sono: *Carum multiflorum* (S. et S.) Boiss., specie rara nota in Italia solo per la Puglia e per la gravina di Matera in Basilicata (Bianco *et al.*, 1989; 1991); *Asyneuma limonifolium* (L.) Baker (Fig. 7), specie anfiadriatica, con un areale che abbraccia gran parte della Penisola Balcanica e trova l'estrema propaggine occidentale del suo areale, nella Puglia centro-meridionale ed il Materano (Bianco *et al.*, 1989); *Quercus trojana* Webb, elemento mediterraneo orientale il cui areale italiano comprende solamente le Murge pugliesi e materane (Francini Corti, 1966; 1967;

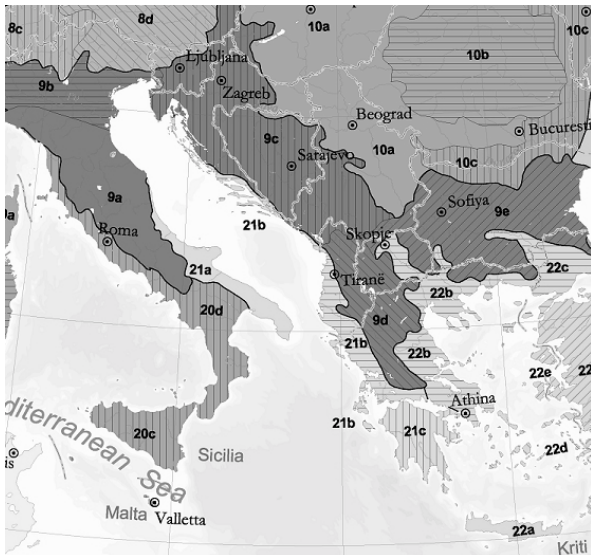


Fig. 4 - Mappa biogeografica che mostra i settori in cui ricade l'area delle gravine (da Rivas Martinez *et al.*, 2004):

C. Regione Mediterranea; Ca. Subregione Mediterranea Occidentale; 20. Provincia Italo-Tirrenica; 20d. Settore Costiero Italiano Occidentale; Cb. Subregione Mediterranea Orientale; 21. Provincia Adriatica; 21a. Settore Apulo

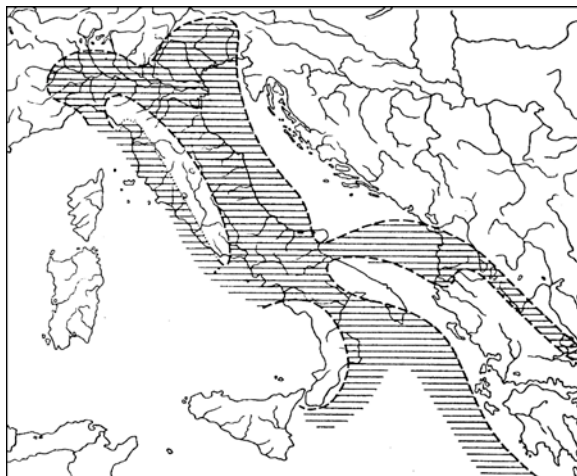


Fig. 5 - Carta del Miocene medio che mostra il collegamento terrestre avvenuto fra le masse pugliesi ed il continente Egeo meridionale (da Gridelli, 1950)

D'Amato, 1949); *Salvia triloba* L. fil. (Fig.8), tipica costituente delle garighe del mediterraneo orientale, osservata nella gravina di Leucaspide (Francini Corti, 1967) e quindi indicata per la Calabria meridionale, la Sicilia ed il Lazio presso Ausonia (Pignatti, 1982); *Phlomis fruticosa* L., frequente nei luoghi più aridi della penisola salentina, è stata rinvenuta nelle gravine di Petruscio a Mottola, Palagianello e Laterza (Francini



Fig. 6 - Immagine di *Campanula versicolor* Hawkins (foto Teo Dura)



Fig. 7 - Immagine ed area di distribuzione di *Asyneuma limonifolium* (L.) Baker (foto Teo Dura)

Corti, 1967); *Aegilops uniaristata* Vis., specie molto rara, nota in Italia in sole quattro stazioni pugliesi, nelle Murge, tra Laterza e Martina Franca e nel Salento, tra Spongano e Surano e ai margini del Bosco Rauccio (Bianco *et al.*, 1989). Sono inoltre degne di nota anche altre specie a diffusione mediterraneo orientale: *Scrophularia lucida* L. (Fig.9), *Tremastelma palaestinum* (L.) Janchen, *Allium atroviolaceum* Boiss.,



Fig. 8 - *Salvia triloba* L. fil.



Fig. 10 - *Iris collina* Terr.



Fig. 9 - *Scrophularia lucida* L.



Fig. 11 - *Iris pseudopumila* Tineo

Asphodeline liburnica (Scop.) Rchb., *Stachys salviifolia* Ten., *Thymus capitatus* (L.) Hofmgg. et Lk., *Convolvulus elegantissimus* Miller, *Cistus creticus* L. ssp. *creticus*, *Malope malacoides* L., *Eryngium amethystinum* L., *Cardopatium corymbosum* (L.) Pers., *Euphorbia apios* L., *Hypericum triquetrifolium* Turra, *Onobrychis aequidentata* (S. et S.) D'Urv, *Iris collina* Terr. (Fig.10), *Scutellaria columnae* All., *Helictotrichon convolutum* (Presl.) Henrard.

In questo contesto di specie orientali risulta, non poco significativo peraltro, il contingente di elementi mediterraneo-occidentali, legato alla particolare posizione geografica del territorio delle gravine, che si trova al confine tra la Puglia e la Basilicata costituendo un ponte tra i due settori biogeografici. Fra queste si ricordano: *Satureja montana* L. ssp. *montana*, *Phagnalon saxatile*, *Phagnalon rupestre* (L.) DC. ssp. *annoticum* (Jordan) Pign., *Trachelium coeruleum* L., *Coronilla valentina* L. ssp. *glauca* (L.) Batt., *Potentilla hirta* L., *Antirrhinum majus* L., *Echium aspernum* Lam., *Acanthus mollis* L., *Linaria reflexa* (L.) Desf., *Minuartia mediterranea* (Link) Maly, *Crepis leontodontoides* All., *Ophrys bombyliflora* Link..

Significativo è il numero di specie endemiche, fra cui alcune con areale molto ristretto come *Centaurea centaurium* L., endemica dell'Italia meridionale, la cui presenza in Puglia è strettamente localizzata sul Gargano (Fenaroli, 1974) e nell'area murgiana, dov'è in via di rarefazione ed è nota per la sola stazione di Laterza (Bianco, Medagli, D'Emerico, 1991); *Centaurea subtilis* Bertol., endemismo apulo-lucano, molto raro, noto per la stazione di Laterza, i dintorni di Matera e per il Gargano (Bianco, De Nicolo', Tommasi, 1976); *Centaurea apula* Bianco & Brullo, appartenente al ciclo di *Centaurea deusta*, ed *Arum apulum* (Carano) Bedalov, entrambe endemiche dell'area murgiana; *Biscutella incana* Ten., specie molto rara localizzata esclusivamente nella Calabria settentrionale, probabilmente scomparsa nelle stazioni delle gravine del tarantino (Lacaita, 1921; Pignatti, 1982); *Ophrys tarentina* Gölz & H.R. Reinhard, molto rara, segnalata per le province di Taranto, Matera, Brindisi e Cosenza (Grünanger, 2000; Delforge, 2001).

Altri endemismi degni di nota sono: *Helianthemum jonium* Lacaita, indicato per le Murge pugliesi e materane, sulla costa fino a Metaponto, per il Gargano ed in Romagna da Ravenna a Rimini (Pignatti, 1982). La specie è stata segnalata anche per il Molise da Conti e Pirone (1988); *Stipa austroitalica* Martinovsky ssp. *austroitalica*, endemismo dell'Italia meridionale con

areale che comprende il Molise, la Campania con due sole stazioni, la Puglia, con estese popolazioni nel Gargano e nell'Alta Murgia, la Basilicata e la Calabria settentrionale e meridionale (Moraldo, 1986; Moraldo e Ricceri, 2003; Brullo *et al.*, 2001); *Festuca exaltata* C. Presl specie endemica dell'Italia meridionale; *Iris pseudopumila* Tineo (Fig.11), il cui areale comprende la Puglia, la Basilicata e la Sicilia. In Puglia abbonda sulle Murge risalendo fino al Gargano ed è stata osservata anche in alcune stazioni della Penisola salentina (Macchia, 1969), *Crocus thomasi* Ten., subendemica con disgiunzione dell'areale in Dalmazia (Pignatti, 1982). Sono, ancora, da segnalare fra le entità endemiche: *Aurinia saxatilis* (L.) Desv. ssp. *megalocarpa* (Hausskn.) Dundley, *Thymus spinulosus* Ten., *Chamaecytisus spinescens* (Presl) Rothm., *Teucrium siculum* Rafin, *Echinops siculus* Strobl, *Carduus corymbosus* Ten., *Calendula arvensis* L. ssp. *hydruntina* (Fiori) Lanza, *Allium lemannii* Lojac., *Dianthus sylvestris* Wulfen ssp. *garganicus* (Grande) Pign., *Verbascum niveum* Ten. ssp. *niveum*, *Trifolium lucanicum* Guss.

Sono, inoltre, da citare alcune entità interessanti dal punto di vista fitogeografico, che presentano in Italia una distribuzione limitata o frammentaria; fra queste: *Dictamnus albus* L. (Fig. 12) sudeuropea-sudiberiana, della quale, sono note in Puglia le stazioni di Laterza, del bosco di Lucignano, tra Taranto e Matera (Bianco *et al.*, 1989), e del boschetto di Monte Camplo a Castellaneta (D'Amico, 1991). È stata rinvenuta, nella zona di studio, in località Selva San Vito a Laterza al margine del bosco ceduo di Fragno; *Allium moschatum* L., entità sudeuropea a gravitazione orientale, rara in Italia con areale frammentario, segnalata per la Puglia in due stazioni del Tarantino fra Laterza e Castellaneta (Bianco *et al.*, 1976a); *Alkanna tinctoria* (L.) Tausch, stenomediterranea indicata per l'Italia meridionale, per le isole e la Liguria (Pignatti, 1982); *Satureja cuneifolia* Ten., specie del mediterraneo settentrionale, che ha una lacuna piuttosto evidente in Italia, dove si ritrova solo in Puglia, dal Gargano fino a Santa Maria di Leuca, ed in Calabria presso Laino Borgo (Francini Corti, 1967; Pignatti, 1982); *Salvia virgata* Jacq., sudeuropea orientale, che presenta in Italia una distribuzione meridionale. Infine tra le specie a distribuzione illirica sono da rilevare: *Linum tommasinii* Rchb. (Fig.13), specie sud-illirica presente nel Carso nordadriatico, Abruzzo, Molise, Puglia e Basilicata; *Euphorbia wulfenii* Hoppe molto rara in Italia, rinvenuta in alcune stazioni delle Murge pugliesi fra cui la gravina di Laterza (Bianco *et al.*, 1988).



Fig. 12 - *Dictamnus albus* L.

Materiali e metodi

Per l'analisi, l'interpretazione e la classificazione delle comunità vegetali presenti nel territorio indagato, sono stati eseguiti rilievi fitosociologici secondo la metodologia della scuola sigmatista di Zurigo-Montpellier (Braun-Blanquet, 1931), sviluppata ed integrata in base alle più recenti acquisizioni (Géhu & Rivas-Martinez, 1981; Theurillat, 1992; Biondi 1994; Biondi 1996; Biondi *et al.*, 2004).

I rilevamenti sono stati eseguiti in aree omogenee facendo particolare attenzione alle variazioni delle caratteristiche geomorfologiche e pedologiche.

Per la determinazione delle specie e la loro caratterizzazione corologica e biologica sono state utilizzate le seguenti opere: Flora d'Italia (Pignatti 1982), Flora Europea (Tutin *et al.*, 1964-80; 1993), Nuova flora analitica d'Italia (Fiori, 1923-29), Med-Checklist (Greuter *et al.*, 1984-89), Atlas Florae Europaeae (Jalas & Suominen, 1976), An Annotated checklist of Italian Vascular Flora (Conti *et al.*, 2005).

I rilievi sono stati sottoposti ad analisi multivariata con



Fig. 13 - *Linum tommasinii* Rchb.

il programma dedicato MATEDIT (Burba *et al.*, 1992) impiegando alla matrice di somiglianza l'algoritmo del legame medio e del legame completo per la classificazione gerarchica dei tipi (Andemberger, 1973).

La nomenclatura fitosociologica segue l'International Code of Phytosociological Nomenclature (ICPN) (Weber *et al.*, 2000).

Per l'inquadramento sintassonomico delle unità vegetazionali si è fatto riferimento, per quanto corrispondente, allo schema gerarchico pubblicato per la Spagna ed il Portogallo (Rivas-Martinez *et al.*, 2001; 2002).

Vegetazione

Le comunità vegetali che concorrono a formare il paesaggio vegetale delle gravine dell'arco jonico, sono fortemente influenzate dalle forme del rilievo, in particolare dalla esposizione e dalla conformazione dei versanti. Si assiste, infatti, ad una grande diversità di ambienti, dovuti alle condizioni microgeomorfologiche

e microclimatiche, alternantisi in breve spazio, che determinano lo sviluppo di differenti fitocenosi.

Pochi ricercatori si sono dedicati allo studio della vegetazione delle gravine dell'arco jonico pubblicando studi, peraltro, non esaustivi.

Meritano di essere ricordati i lavori di Agostini (1967) sulla fitosociologia delle pinete di Pino d'Aleppo del tarantino e quelli successivi di De Marco e Caneva, (1984), i quali hanno proposto una revisione sintassonomica e fitogeografica di alcune significative cenosi a Pino d'Aleppo in Italia. Si menzionano, inoltre, i contributi fitosociologici di Bianco *et al.* (1984) sulle macchie ad *Euphorbia dendroides*, sulla vegetazione delle rupi calcaree (Bianco *et al.*, 1988), sui boschi di fragno (Bianco *et al.*, 1998) delle Murge. Le conoscenze sulla vegetazione del territorio in termini fitosociologici vengono riprese alcuni anni più tardi con i lavori prodotti da Biondi *et al.*, (2003; 2004), sulle formazioni boschive sempreverdi e caducifoglie della Puglia.

VEGETAZIONE FORESTALE

Il territorio indagato è interessato da modeste superfici boscate, sia per le caratteristiche morfologiche e per l'azione millenaria dell'uomo che ha determinato la progressiva rarefazione delle formazioni boschive dando spazio ad una vegetazione semi-naturale per lo più costituita da boscaglie e macchie. Nelle gravine però si sono potute talora conservare, data l'impermeabilità dei luoghi, anche formazioni arboree più evolute che, molto spesso, assumono il ruolo di veri e propri "accantonamenti relittuali".

La maggior parte delle tipologie forestali rinvenute sono state già inquadrate in un precedente lavoro fitosociologico, utilizzando i rilievi provenienti dall'area in oggetto, per cui nella trattazione che segue viene fatto esplicito riferimento alle tabelle pubblicate in tale opera (Biondi *et al.*, 2004).

Aggr. a *ULMUS MINOR* (Tab. 3)

La vegetazione ad *Ulmus minor* si rinviene in maniera molto frammentaria nei tratti più profondi della gravine, in corrispondenza della zona di esondazione del terrazzo fluviale più basso del corso d'acqua, dove si accumulano spesse coltri di sedimenti alluvionali che danno luogo ad un substrato ciottoloso e a tratti sabbioso-limoso.

Questa fitocenosi, è dominata dall'olmo minore e dall'acer campestre costituenti una struttura largamente

diffusa in Europa che è stata riferita ad associazioni diverse. Le analoghe formazioni submediterranee e mediterranee del versante adriatico italiano sono state rispettivamente attribuite alle associazioni *Sympyto bulbosi-Ulmetum minoris* Biondi & Allegrezza 1996 e *Rubio peregrinae-Aceretum campestris* Allegrezza *et al.*, 2006. La seconda recentemente descritta per il medio versante adriatico, presenta alcune analogie con quella in studio dalla quale però si distacca per la composizione floristica complessiva che testimonia l'instabilità della fitocenosi, rilevabile per l'elevato contingente di specie della classe *Ramno-Prunetea* e la mancanza di alcune specie differenziali importanti come *Laurus nobilis*. Per tali motivi si ritiene di non poter inquadrare la vegetazione in oggetto a livello di associazione.

TEUCRIO SICULI-QUERCETUM TROJANAЕ Biondi, Casavecchia, Guerra, Medagli, Beccaris & Zuccarello 2004

(Tab. 6, rill. 9-13 in Biondi *et al.* 2004)

variante a *Festuca exaltata*

(Tab. 6, rill. 1-8 in Biondi *et al.* 2004)

Tale associazione è stata descritta per i boschi mesoxerofili subacidofili puri o misti a *Quercus trojana* e *Quercus virgiliiana* con elevata presenza di *Carpinus orientalis* (Biondi *et al.*, 2004), che si sviluppano sui ripiani della Murgia materana e laertina, nel piano bioclimatico mesomediterraneo superiore secco superiore, a quote comprese tra 300 e 500 m. Nella gravina Laterza tali cenosi sono state rinvenute sui settori sommitali orientali, debolmente inclinati, a quote comprese fra 300 e 400 m, su suoli del tipo delle terre rosse mediterranee.

Nello strato arbustivo oltre al contingente di specie tipicamente mediterranee, quali: *Rubia peregrina* var. *longifolia*, *Ruscus aculeatus*, *Asparagus acutifolius*, *Rosa sempervirens*, *Phillyrea latifolia*, *Smilax aspera*, *Pistacia lentiscus*, *Clematis flammula* si rivengono alcune specie di mantello della classe *Rhamno prunetea*, con le quali l'associazione è in collegamento sindinamico, quali: *Crataegus monogyna*, *Cornus mas*, *Ligustrum vulgare*, *Rubus ulmifolius*, *Prunus spinosa*. Nello strato erbaceo sono presenti, oltre alle specie caratteristiche di associazione, quali: *Cyclamen hederifolium*, *Teucrium siculum*, *Iris collina* diverse specie della classe *Querco-Fagetea*, come: *Viola alba* ssp. *dehnhardtii*, *Stachys officinalis*, *Buglossoides purpureocaeerulea*.

La variante a *Festuca exaltata*, si differenzia per la

Tab. 3 - Aggruppamento a *Ulmus minor*

		Numero del rilievo	1	2	3
		Località	L	L	Am
		Altitudine (m s.m.)	220	280	109
		Esposizione	-	S	ENE
		Inclinazione (°)	-	-	5
		Ricoprimento (%)	100	100	r
		Superficie (m ²)	50	150	100
		H str. arboreo (m)	8-10	8	s.
		Aggr. a <i>Ulmus minor</i>			
P caesp	EUROP.-CAUCAS.	<i>Ulmus minor</i> Miller	5.5	5.5	5.5
P scap	EUROP.-CAUC.	<i>Acer campestre</i> L.	3.3	1.1	.
P scap	EURASIAT.	<i>Salix purpurea</i> L.	.	+	.
		Sp. caratt. e diff. della classe <i>Rhamno-Prunetea</i>			
NP	EURIMEDIT.	<i>Rubus ulmifolius</i> Schott	1.2	1.2	2.3
P lian	EUROP.-CAUCAS.	<i>Clematis vitalba</i> L.	1.2	1.2	.
NP	EUROP.-CAUCAS.	<i>Ligustrum vulgare</i> L.	.	1.1	.
P caesp	EUROP.-CAUCAS.	<i>Prunus spinosa</i> L.	3.4	.	.
P caesp	STENOMEDIT.	<i>Pyrus amygdaliformis</i> Vill.	.	.	1
P caesp	S-EUROP.-SUDSIB.	<i>Prunus mahaleb</i> L.	.	2.3	.
P scap	EURASIAT.	<i>Prunus domestica</i> L. ssp. <i>insititia</i> (L.) C. K. Schneider	.	+	.
NP	C e S-EUROP.	<i>Coronilla emerus</i> L. ssp. <i>emeroides</i> (Boiss. et Spruner) Hayek	.	.	2.2
		Compagne			
H caesp	PALEOTEMP.	<i>Brachypodium sylvaticum</i> (Hudson) Beauv.	.	+	2.2
P caesp	S-STENOMEDIT.	<i>Pistacia lentiscus</i> L.	+	.	1.2
P lian	EURIMEDIT.	<i>Hedera helix</i> L.	.	3.3	.
P scap	S-EUROP.-SUDSIB.	<i>Fraxinus ornus</i> L.	.	+	.
P lian	EURIMEDIT.	<i>Clematis flammula</i> L.	.	.	1.1
P lian	STENOMEDIT.	<i>Rubia peregrina</i> L. var. <i>longifolia</i> Poiret	.	.	+.2
P scap	STENOMEDIT.	<i>Quercus ilex</i> L.	+	.	.
H caesp	STENOMEDIT.	<i>Oryzopsis milacea</i> (L.) Asch et Schweinf.	+.2	.	.
H scap	EURIMEDIT.-MACARON.	<i>Parietaria diffusa</i> M. et K.	+	.	.
P scap	MEDIT.-TURAN.	<i>Ficus carica</i> L.	+	.	.
H bienn	MEDIT.ATL.(EURI)	<i>Smyrnium olusatrum</i> L.	+	.	.
H scap	SUBCOSMOP.	<i>Urtica dioica</i> L.	+	.	.
H caesp	SUBATLANT.	<i>Brachypodium rupestre</i> (Host) R. et S.	.	.	+.2

presenza nello strato erbaceo di *Festuca exaltata*, graminacea endemica dell'Italia meridionale, e di *Acer monspessulanum*; presente all'imboccatura della gravina, in località Selva San Vito.

La composizione floristica di queste fitocenosi indica la presenza di un contesto più mesofilo che differenzia questi aspetti da quelli dell'*Euphorbia apii-Quercetum trojanae* (Bianco *et al.*, 1998) presenti sui restanti settori delle Murge sud-orientali (Biondi *et al.*, 2004).

L'associazione *Teucrio siculi-Quercetum trojanae* è stata riferita all'alleanza *Carpinion orientalis* e alla suballeanza *Lauro nobilis-Quercenion pubescens* (Biondi *et al.*, 2004) che, sulla base di una recente revisione sintassonomica dell'ordine *Quercetalia pubescenti-petraeae* (Blasi *et al.*, 2004), raggruppa alcune associazioni termofile del suddetto ordine, caratterizzate quasi sempre dalla presenza, nello strato arboreo, di *Carpinus orientalis* o di *Ostrya carpinifolia* e dall'ingressione di un congruo numero di specie sempreverdi mediterranee della classe *Quercetea ilicis*.

IRIDO COLLINAE-QUERCETUM VIRGILIANAE Biondi, Casavecchia, Guerra, Medagli, Beccarisi & Zuccarello 2004

(Tab. 4)

I rilievi di Tab. 4 vengono attribuiti all'associazione descritta da Biondi *et al.* (2004) per i querceti caducifogli a dominanza di *Quercus virgiliiana*, presenti al "Bosco dell'Incoronata" nel Tavoliere di Foggia. Il querceto in oggetto si rinviene nella zona in lembi di limitata estensione lungo i fianchi della *lama* del fiume Lato, che dai rilievi murgiani porta sino al mare, sviluppandosi su substrati argillosi o argillo-limosi provenienti da depositi lacustri caratterizzati da una falda idrica piuttosto elevata.

Tali boschi rappresentano un aspetto residuale della vegetazione forestale originaria che si sviluppava sulla pianura subcostiera dell'arco jonico, prima che gli intensi interventi disboscamento e di bonifica ne determinassero la quasi totale scomparsa. Fra le specie caratteristiche e differenziali dell'associazione si

rinvengono: *Quercus amplifolia*, *Quercus dalechampii*, *Iris collina*, *Clematis flammula*, *Stipa bromoides*. In accordo con l'ultima revisione sintassonomica dell'ordine *Quercetalia pubescenti-petraeae* (Blasi *et al.*, 2004), l'associazione viene inquadrata nell'alleanza *Pino calabricae-Quercion congestae* e nella suballeanza *Quercenion virginiana* dell'ordine dei *Quercetalia pubescenti-petraeae*.

FESTUCO EXALTATAE-QUERCETUM ILICIS

Biondi, Casavecchia & Gigante 2003

festucetosum exaltatae Biondi, Casavecchia & Gigante 2003

(Tab. 5, ril. 3 in Biondi *et al.* 2004)

carpinetosum orientalis Biondi, Casavecchia, Guerra, Medagli, Beccarisi & Zuccarello 2004

(Tab. 5, ril. 11-12 in Biondi *et al.* 2004)

L'associazione inquadra, nell'area di studio, le formazioni boschive che si sviluppano lungo i solchi erosivi di modeste profondità che corrono parallelamente alle gravine di maggiori dimensioni, su cui si sviluppano suoli umidi e profondi.

Nella subassociazione *festucetosum exaltatae*, corrispondente alla tipica, tale vegetazione risulta caratterizzata, dalla presenza nello strato arboreo di *Quercus ilex*, che può essere più o meno dominante, in associazione con *Fraxinus ornus*. Nello strato arbustivo sono quasi sempre presenti: *Rubia peregrina* var. *longifolia*, *Ruscus aculeatus*, *Asparagus acutifolius*, *Phillyrea latifolia*, *Arbutus unedo*, *Viburnum tinus*, *Smilax aspera*. Nello strato erbaceo si rinvengono, oltre a *Festuca exaltata*, *Cyclamen hederifolium*, *Carex hallerana*, *Allium subhirsutum*.

La subassociazione *carpinetosum orientalis* si rinviene, nell'area di studio, in corrispondenza dei paleoterrazzi fluviali più elevati rispetto al fondo dell'ampio alveo della gravina di Laterza ed è caratterizzata dall'abbondante presenza di *Carpinus orientalis*, che forma una boscaglia rupeste molto densa. In queste aree la vegetazione si viene a trovare in condizioni geomorfologiche che favoriscono l'instaurarsi di un microclima assai più fresco ed umido rispetto alle condizioni del macroclima. Sporadicamente si rinvegono nello strato erbaceo: *Scutellaria columnae* ed *Orobanche hederae* che sono differenziali di subassociazione, insieme ad alcune pteridofite come, *Ceterach officinarum*, *Polypodium cambricum*, *Asplenium trichomanes*. ssp. *quadrivalens* che si rinvengono sul substrato roccioso affiorante e sono indicative di una marcata umidità ambientale o edafica.

Questa associazione è stata descritta nell'aspetto tipico per il "Bosco delle Pianelle", sulle Murge sud-orientali (Biondi *et al.*, 2003) dove raggiunge la massima potenzialità andando ad occupare le vallecole dove si accumula un consistente spessore di suolo.

CYCLAMINO HEDERIFOLII-QUERCETUM ILICIS

Biondi, Casavecchia & Gigante 2003

cyclaminetosum hederifolii Biondi Casavecchia & Gigante 2003

(Tab. 4, ril. 6-7-9 in Biondi *et al.* 2004)

carpinetosum orientalis Biondi, Casavecchia & Gigante 2003

(Tab. 4, ril. 12-19 in Biondi *et al.* 2004)

L'associazione *Cyclamino hederifolii-Quercetum ilicis* sostituisce sul versante Adriatico italiano l'associazione *Orno-Quercetum ilicis*, propria dell'Adriatico orientale, alla quale era stata in precedenza attribuita (Biondi *et al.*, 2003).

Fra le specie caratteristiche e differenziali dell'associazione si rinvengono: *Allium subhirsutum*, *Cyclamen hederifolium*, *Viburnum tinus*, *Arbutus unedo*, *Viola alba* ssp. *dehnhardtii*, *Phillyrea latifolia*.

Queste leccete occupano, nell'area indagata, in accordo con le condizioni macrobioclimatiche generali, i primi gradini della zona murgiana a quote comprese fra 100 e i 300 m, dove rappresentano la vegetazione climatica. La stessa si insinua all'interno delle gravine, espandendosi fino al limite delle coltivazioni. Nelle gravine più elevate, come in quella di Laterza, tali leccete spesso assumono il significato di comunità edafo-xerofile, andando ad occupare i versanti ombreggiati e fortemente acclivi, a quote comprese fra 150 e 250 m. Sempre nella gravina di Laterza, nell'area di raccordo tra la parete e il fondo della stessa, interessato dalla presenza di materiale colluviale, in aluni casi è stato possibile rinvenire piccoli nuclei di macchia a Carpino orientale che vengono riferiti alla subassociazione *Carpinetosum orientalis*. Sono specie differenziali della stessa: *Pistacia terebinthus*, *Acer monspessulanum* e *Osyris alba*.

L'associazione *Cyclamino hederifolii-Quercetum ilicis* viene riferita all'alleanza *Fraxino ornis-Quercion ilicis*, e alla suballeanza tipica *Fraxino ornis-Quercenion ilicis*.

CYCLAMINO HEDERIFOLII-PINETUM HALE-PENSIS

Biondi, Casavecchia, Guerra, Medagli,

Beccarisi & Zuccarello 2004

(Tab. 1, ril. 4-12 in Biondi *et al.* 2004)

L'associazione inquadra i popolamenti spontanei a

Tab. 4 - *Irido collinae-Quercetum virgilianae* Biondi, Casavecchia, Guerra, Medagli, Beccarisi, Zuccarello 2004

		Numero del rilievo	1	2
		Località	C	C
		Altitudine (m s.m.)	118	135
		Esposizione	ENE	NNE
		Inclinazione (°)	15	45
		Ricoprimento (%)	100	100
		Superficie (mq.)	300	200
		H str. arboreo (m)	10-12	6-8
				s.
P scap	SE-EUROP.	Sp. caratt. e diff. dell' ass. <i>Irido collinae-Quercetum virgilianae</i>	5.5	4.3
G rhiz	NE-MEDIT.-MONT.	<i>Quercus virgiliana</i> (Ten.) Ten.	1.2	+
P lian	EURIMEDIT.	<i>Iris collina</i> Terr.	1.2	.
P scap	SE-EUROP.	<i>Clematis flammula</i> L.	.	+
P scap	SE-EUROP.	<i>Quercus amplifolia</i> Guss.	.	1
H caesp	STENOMEDIT.	<i>Quercus dalechampii</i> Ten.	.	+
		<i>Stipa bromoides</i> (L.) Doerfl.	1.2	.
P caesp	S-STENOMEDIT.	Sp. caratt. e diff. delle unità sup.	3.3	4.3
H caesp	PALEOTEMP.	<i>Pistacia lentiscus</i> L.	1.2	+
G bulb	N-STENOMEDIT.	<i>Brachypodium sylvaticum</i> (Hudson) Beauv.	2.2	2.2
H ros	EURIMEDIT.	<i>Cyclamen hederifolium</i> Aiton	+	2
H caesp	SUBATLANT.	<i>Viola alba</i> Besser ssp. <i>dehnhardtii</i> (Ten.) W. Becker	+.2	1
H scap	W-STENOMEDIT.	<i>Brachypodium rupestre</i> (Host) R. et S.	+	.
P caesp	EURIMEDIT.	<i>Acanthus mollis</i> L.	+	1
P caesp	STENOMEDIT.	<i>Rhamnus alaternus</i> L.	+	.
P lian	EURIMEDIT.	<i>Olea europaea</i> L. var. <i>sylvestris</i> Brot.	+	1
H scap	PONTICA	<i>Hedera helix</i> L.	1.2	.
P caesp	PONTICA	<i>Buglossoides purpureocerulea</i> (L.) Johnston	1.2	.
H ros	EURIMEDIT.	<i>Carpinus orientalis</i> Miller	.	+
G rhiz	STENOMEDIT.	<i>Silene italica</i> (L.) Pers. ssp. <i>italica</i>	+	1
G rhiz	EURIMEDIT.	<i>Aruncus italicum</i> Miller	+	.
P lian	EUROP.-CAUCAS.	<i>Ruscus aculeatus</i> L.	1.2	.
		<i>Clematis vitalba</i> L.	+	.
P caesp	PALEOTEMP.	Sp. caratt. della classe <i>Rhamno-Prunetea</i>	1.1	2.2
NP	EURIMEDIT.	<i>Crataegus monogyna</i> Jacq.	1.2	1.2
NP	EUROP.-CAUCAS.	<i>Rubus ulmifolius</i> Schott	1.2	1.2
P caesp	STENOMEDIT.	<i>Ligustrum vulgare</i> L.	1.2	2
P caesp	EURASIAT.	<i>Pyrus amygdaliformis</i> Vill.	2.2	1.1
P scap	EURASIAT.	<i>Euonymus europaeus</i> L.	+	1.1
P caesp	EUROP.-CAUCAS.	<i>Pyrus pyraster</i> Burgsd.	+	2
P caesp	SE-EUROP.	<i>Prunus spinosa</i> L.	1.2	.
		<i>Paliurus spina christi</i> Miller	+	.
		Compagne		
NP	C e S-EUROP.	<i>Coronilla emerus</i> L. ssp. <i>emeroides</i> (Boiss. et Spruner) Hayek	.2	+
P caesp	STENOMEDIT.	<i>Phillyrea media</i> L.	1.1	1.2
G rhiz	STENOMEDIT.	<i>Asparagus acutifolius</i> L.	1.2	+
P scap	STENOMEDIT.	<i>Quercus ilex</i> L.	+	1.2
NP	SUBTROP.	<i>Smilax aspera</i> L.	3.2	1.2
NP	STENOMEDIT.	<i>Rosa sempervirens</i> L.	2.2	1.2
H ros	STENOMEDIT.	<i>Bellis sylvestris</i> Cyr.	+	+
		Sporadiche	6	6

Pinus halepensis, che si rinvengono sui versanti più bassi e più caldi delle gravine, a quote comprese fra 80 e 250 m. Queste formazioni sono state rinvenute in corrispondenza di anse profonde ed aperte del sistema di gravine del comune di Statte e Crispiano, sviluppandosi sia sui substrati calcarei del Cretaceo che su calcareniti del Pliocene. Questa vegetazione di tipo extrazonale differenzia un aspetto mesofilo (Biondi *et al.*, 2004) rispetto alle pinete spontanee che si sviluppano sui plateau sommitali, per la significativa presenza di specie nemorali, quali: *Cyclamen hederifolium*, *Coronilla emerus* ssp. *emeroides*, *Pistacia terebinthus*, *Crataegus monogyna*. Si deve precisare che i suoli presenti sui versanti delle gravine risultano più

profondi e freschi rispetto a quelli dei settori sommitali in quanto caratterizzati da un maggiore contenuto di argilla e di sostanza organica.

THYMO CAPITATI-PINETUM HALEPENSIS De Marco & Caneva 1984

(Tab. 1, ril. 1-3 in Biondi *et al.* 2004)

thymetosum striati Bartolo, Brullo, Minissale & Spanpinato 1985

(Tab. 1, ril. 2-3 in Biondi *et al.* 2004)

A questa associazione, descritta per le pinete dell'entroterra jonico tarantino e quelle siciliane di Vittoria (De Marco *et al.*, 1984) vengono attribuite le formazioni dei settori sommitali e meridionali

delle gravine. Dell'associazione nella zona si rinvengono alcune specie differenziali a netta gravitazione orientale, quali: *Thymus capitatus* e *Tremastelma palaestinum*.

La subassociazione *thymetosum striati* (Bartolo *et al.*, 1985), differenziata da *Thymus striatus* ed *Hippocrepis glauca*, inquadra le formazioni degradatrici da tagli, incendi e pascolo. Lo strato arboreo in questi casi presenta un valore di ricoprimento tale da conferire alla pineta una struttura aperta che favorisce la penetrazione di un ricco contingente di specie camefite e nanofanerofite della classe *Cisto-Micromerietea*.

MANTELLI DI VEGETAZIONE

Sono state individuate alcune associazioni di mantello, caratterizzate da comunità arbustive dominate fanerofite e nanofanerofite, che si sviluppano ai margini del bosco (Biondi *et al.*, 1988), occupando gli spazi ecotonalni, di transizione fra la vegetazione forestale e quella erbacea. Queste formazioni sono diffuse nelle gravine là dove si realizzano condizioni di maggior umidità edafica, vale a dire a contatto con le formazioni forestali che si rinvengono sul fondo della gravine, oppure sui pianori, in successione dinamica con le formazioni più mesofile.

ROSO SEMPERVIRENTIS-RUBETUM ULMIFOLII Blasi, Di Pietro & Fortini 2000 (Tab. 5)

L'associazione si riferisce alle formazioni arbustive di sostituzione che sono state rinvenute alla base dei versanti delle gravine di Laterza e di Alezza (Crispiano), in condizioni edafico-mesofile, in collegamento dinamico con le formazioni forestali del piano mesomediterraneo delle alleanze: *Fraxino ornata-Quercion ilicis* e *Carpinion orientalis*.

Tale vegetazione è caratterizzata dalla dominanza di *Crataegus monogyna* e *Rubus ulmifolius* a cui si associano costantemente *Rosa sempervirens* e *Asparagus acutifolius*.

L'associazione si rinvie in Italia nei settori costieri e subcostieri del Lazio centro-meridionale, e nell'area nord-adriatica del Friuli Venezia Giulia in una stretta fascia della zona costiera e dei laghi carsici, prevalentemente su litologie calcaree (Blasi *et al.*, 2000; Blasi *et al.*, 2002; Poldini *et al.*, 2002).

Della combinazione specifica caratteristica del *Roso sempervirentis-Rubetum ulmifolii* sono presenti nell'area in studio: *Rosa sempervirens*, *Crataegus monogyna*, *Asparagus acutifolius*, *Hedera helix* e *Brachypodium rupestre* mentre risulta assente *Spartium*

juncicum, specie molto diffusa nell'Appennino centro-settentrionale e presente anche in Puglia, però a quote più elevate (Biondi *et al.*, 1988).

Nella recente revisione sintassonomica della classe *Rhamno-Prunetea* (Poldini *et al.*, 2002) il sintaxon viene compreso nel gruppo di associazioni edafomesofile ascritte alla suballeanza *Pruno-Rubenion ulmifolii*, che nell'ambito dell'alleanza *Pruno-Rubion ulmifolii*, raggruppa le associazioni submediterranee e subigrofile caratterizzate da una forte interazione tra la componente arbustiva della *Rhamno-Prunetea* e quella sempreverde mediterranea della classe *Quercetea ilicis*.

Di questa associazione viene individuata nel territorio indagato la variante a *Carpinus orientalis* (Blasi *et al.*, 2000) nelle esposizioni più fresche della gravina di Laterza in contatto sindinamico con la subassociazione *carpinetosum orientalis* del *Cyclamino hederifolii-Quercetum ilicis* e con l'associazione del *Teucrio siculi-Quercetum trojanae*. La variante a *Pistacia terebinthus x saportae* occupa le esposizioni più calde dove si localizza su substrati rocciosi ricchi di detrito.

ASPARAGO ACUTIFOLII-OSYRIDETUM ALBAE Allegrezza, Biondi, Formica & Ballelli 1997 (Tab. 6)

A questa associazione viene riferita la vegetazione termoxerofila di mantello basso e molto densa a dominanza di *Osyris alba* ed *Asparagus acutifolius*, rilevata nelle gravine a contatto con le formazioni forestali climatiche delle associazioni: *Teucrio siculi-Quercetum trojanae* e *Cyclamino hederifolii-Quercetum ilicis*, nelle esposizioni più assolate.

L'associazione descritta da Allegrezza *et al.* (1997) per i settori calcarei e calcareo-marnosi del piano collinare dell'Appennino centrale viene inquadrata nell'alleanza *Cytision sessilifolii* (Biondi, 1988) che riunisce le associazioni di mantello edafico-xerofile diffuse nell'Appennino centrale dal piano mesomediterraneo al mesotemperato (Poldini *et al.*, 2002).

VEGETAZIONE DI MACCHIA

In ambiente mediterraneo col termine di "macchia" si vuole indicare una vegetazione fitta ed intricata, costituita, prevalentemente, da un insieme di elementi arborecenti e arbustivi, sempreverdi e sclerofilli.

Questo tipo di vegetazione può essere primaria, per la particolare ecologia delle stazioni in cui si rinviene o, più spesso, secondaria per azione antropica e può

Tab. 5 - *Roso sempervirentis-Rubetum ulmifolii* Blasi, Di Pietro, Fortini 2000 (rill. 1-5)
variante a *Carpinus orientalis* (rill. 6-7)
variante a *Pistacia terebinthus L. x saportae* (ril. 8)

		Rilievo n.	1	2	3	4	5	6	7	8
		Località	L	A	A	L	A	L	L	L
		Altitudine (m s.m.)	297	100	100	345	100	320	283	345
		Esposizione	SW	WNW	-	-	-	NNW	NNW	NE
		Inclinazione in °	5	30	-	-	-	5	15	5
		Ricoprimento in %	100	100	100	90	100		100	100
		Superficie in m²	100	40	40	8	250	50	150	15
		H veg. in m		2	3	3	3	3	2	3
										s.
		Sp. caratt. e diff. dell' ass. <i>Roso sempervirentis-Rubetum ulmifolii</i>								
P caesp	PALEOTEMP.	<i>Crataegus monogyna</i> Jacq.	2.2	5.5	5.5	4.3	1.2	2.2	2.2	4.4
G rhiz	STENOMEDIT.	<i>Asparagus acutifolius</i> L.	1.2	2.2	.	1.2	+.2	+.2	1.1	+
NP	STENOMEDIT.	<i>Rosa sempervirens</i> L.	.	1.2	3.2	3.2	2.2	3.2	.	+
P lian	EURIMEDIT.	<i>Hedera helix</i> L.	1.2	.	2.2	.
		variante a <i>Carpinus orientalis</i>								
P caesp	PONTICA	<i>Carpinus orientalis</i> Miller	4.3	2.2	.+2
		variante a <i>Pistacia terebinthus x saportae</i>								
P caesp	EURIMEDIT.	<i>Pistacia terebinthus</i> L. x <i>saportae</i> Burnat						5.4		1
		Sp. caratt. e diff. suball. <i>Pruno-Rubenion ulmifolii</i> e dell'all. <i>Pruno-Rubion ulmifolii</i>								
P caesp	S-STENOMEDIT.	<i>Pistacia lentiscus</i> L.	.	1.2	2.2	3.2	+.2	1.2	1.2	2.3
NP	EURIMEDIT.	<i>Rubus ulmifolius</i> Schott	3.3	.	2.2	.	4.4	1.2	2.2	2.3
P lian	STENOMEDIT.	<i>Rubia peregrina</i> L. var. <i>longifolia</i> Poiret	.	3.2	.	2.2	1.2	.	1.2	.
P caesp	STENOMEDIT.	<i>Pyrus amygdaliformis</i> Vill.	.	.	.	1.1	2.2	.	1.1	.
P caesp	EURIMEDIT.	<i>Rhamnus alaternus</i> L.	.	.	1.2	.	2.2	.	.	2
NP	SUBTROP.	<i>Smilax aspera</i> L.	.	2.2	1.2	2
P caesp	STENOMEDIT.	<i>Myrtus communis</i> L.	.	1.2	2.2	2
P caesp	STENOMEDIT.	<i>Viburnum tinus</i> L.	.	1.2	+.2	2
P lian	EURIMEDIT.	<i>Clematis flammula</i> L.	.	.	.	1.2	.	.	.	1
P caesp	STENOMEDIT.	<i>Phillyrea latifolia</i> L.	+.2	.	.	1
H scap	MEDIT.ATL.(EURI)	<i>Oenanthe pimpinelloides</i> L.	+	.
		Sp. caratt. dell'ord. <i>Prunetalia spinosae</i> della classe <i>Rhamno-Prunetea</i>								
P caesp	EUROP.-CAUCAS.	<i>Prunus spinosa</i> L.	5.5	2.2	3.3	.	.	3.3	3.3	3.3
P lian	EUROP.-CAUC.	<i>Clematis vitalba</i> L.	.	1.2	1.2	.	4.3	.	4.3	1.2
P caesp	S-EUROP.-SUDSIB.	<i>Prunus mahaleb</i> L.	.	.	3.3	.	.	2.2	+.2	+.2
P caesp	EURASIAT.	<i>Cornus sanguinea</i> L.	.	3.3	1.2	3
NP	C e S-EUROP.	<i>Coronilla emerus</i> L. ssp. <i>emeroides</i> (Boiss. et Spruner) Hayek	.	3.3	.	.	+	.	.	2
P caesp	EURASIAT.	<i>Euonymus europaeus</i> L.	.	.	.	1.1	.	1.2	.	2
NP	EURIMEDIT.	<i>Osyris alba</i> L.	1.2	.
P lian	S-EUROP.-SUDSIB.	<i>Lonicera caprifolium</i> L.	.	.	+.2	1
P caesp	S-EUROP.-SUDSIB.	<i>Mespilus germanica</i> L.	+.2
P caesp	W-STENOMEDIT.	<i>Cytisus villosus</i> Pourret	1.2	.
P lian	EURIMEDIT.	<i>Lonicera etrusca</i> Santi	.	.	1.2	1
NP	EUROP.-CAUC.	<i>Ligustrum vulgare</i> L.	2.2	.	1
P caesp	SE-EUROP.	<i>Paliurus spina christi</i> Miller	.	.	2.2	1
Ch suffr	ENDEM.	<i>Chamaecytisus spinescens</i> (Presl) Rothm.	+.2	.	1
P caesp	SE-EUROP.	<i>Rhamnus saxatilis</i> Jacq. ssp. <i>infectorius</i> (L.) P. Fourn.	1.2	.	1
		Compagne								
H caesp	PALEOTEMP.	<i>Brachypodium sylvaticum</i> (Hudson) Beauv.	+	1.2	.	+.2	.	.	+.2	.
H ros	EURIMEDIT.	<i>Viola alba</i> Besser ssp. <i>dehnhardtii</i> (Ten.) W. Becker	.	+.2	.	1.2	.	.	+	.
P scap	STENOMEDIT.	<i>Quercus ilex</i> L.	.	1.2	1.2	2
H scand	EUROP.-CAUC.	<i>Lathyrus sylvestris</i> L.	1.2	1.2	.
G bulb	STENOMEDIT.	<i>Allium subhirsutum</i> L.	.	.	.	+.2	.	.	+	.
P caesp	STENOMEDIT.	<i>Daphne gnidium</i> L.	+.2	+.2	.	2
G bulb	N-STENOMEDIT.	<i>Cyclamen hederifolium</i> Aiton	.	+.2	3.2	2
P caesp	STENOMEDIT.	<i>Olea europaea</i> L. var. <i>sylvestris</i> Brot.	.	.	+	1
NP	NE-MEDIT.-MONT.	<i>Euphorbia wulfenii</i> Hoppe	+	1
H scap	SE-EUROP.	<i>Salvia virgata</i> Jacq.	+	.	1
		Sporadiche	1	2	2	8	4	12	6	2

Tab. 6 - *Asparago acutifolii-Osyridetum albae* Allegrezza, Biondi, Formica, Ballelli, 1997

		Rilievo n.	1	2	3	4	5	6	7
		Località	L	T	A	L	L	L	L
		Altitudine (m s.m.)	350	144	100	300	350	283	300
		Esposizione	SSW	ENE	ESE	ESE	-	NW	-
		Inclinazione in °	20	30	-	20	-	10	-
		Ricoprimento in %	95	50	90	100	100	90	95
		Superficie in m²	50	10	8	80	10	30	20
		H veg. in m	1,20	0,50	0,7	0,50	0,4	0,50	0,50
									s.
NP	EURIMEDIT.	Sp. caratt. e diff. dell'ass. <i>Asparago acutifolii-Osyridetum albae</i>							
G rhiz	STENOMEDIT.	Osyris alba L.	4,4	5,3	5,5	5,5	4,3	5,3	5,5
		Asparagus acutifolius L.	2,3	2,2	1,2	+2	2,2	1,1	1,1
P lian	EURIMEDIT.	Sp. caratt. dell'all. <i>Cytision sessilifolii</i> , dell'ord. <i>Prunetalia spinosae</i>							
NP	C e S-EUROP.	e della classe <i>Rhamno-Prunetea</i>							
P caesp	EUROP.-CAUCAS.	Clematis flammula L.	.	1,2	.	.	.	1,2	+
P lian	EUROP.-CAUC.	Coronilla emerus L. ssp. emerooides (Boiss. et Spruner) Hayek	+
NP	STENOMEDIT.	Prunus spinosa L.	+	.
P lian	EURIMEDIT.	Clematis vitalba L.	.	.	+2	.	.	.	1
NP	STENOMEDIT.	Rosa sempervirens L.	.	+2	1
		Compagne							
H scap	PONTICA	Buglossoides purpurocaerulea (L.) Johnston	+	2,3	+2
P lian	EURIMEDIT.	Hedera helix L.	.	+2	2,2	+2	.	.	.
P lian	STENOMEDIT.	Rubia peregrina L. var. longifolia Poiret	.	1,2	1,2	.	.	+2	.
H scap	SE-EUROP.	Salvia virgata Jacq.	1,2	+	+
P caesp	STENOMEDIT.	Phillyrea media L.	.	+	1,2	.	.	.	2
H caesp	STENOMEDIT.	Stipa bromoides (L.) Dorfl.	1,2	2,2
H caesp	S-EUROP.-SUDSIB.	Melica transylvanica Schur	+	+
H scap	EURIMEDIT.	Pulicaria odora (L.) Rchb. cfr.	.	.	+	.	.	.	+
T scap	EURASIAT.	Galium aparine L.	.	+2	+2	.	.	.	2
H caesp	EURIMEDIT.	Petrorhagia saxifraga (L.) Link	+	+
H scap	EURIMEDIT.	Psoralea bituminosa L.	+2	+2	.
		Sporadiche							
			8	4	2	0	5	8	13

assumere diversi aspetti, a seconda delle caratteristiche geomorfologiche e pedoclimatiche della zona e dello stato di conservazione delle fitocenosi.

CORONILLO VALENTINAE-JUNIPERETUM TURBINATAE ass. nova

(Tab. 7, holotypus ril. n.4)

L'associazione inquadra la vegetazione rupeste, a ginepro fenicio mediterraneo, che si localizza nella gravina di Laterza in località La Guardiola, su microterrazzi alla sommità delle falesiae in cui dominano oltre a *Juniperus phoenicea* ssp. *turbinata*, *Juniperus oxycedrus* ssp. *macrocarpa* ed *Coronilla valentina* ssp. *glauca*. E' quest'ultimo un elemento stenomediterraneo occidentale che ha poche presenze sul litorale adriatico italiano ed è raro nel territorio pugliese. Oltre alle specie sopracitate, che si considerano caratteristiche della nuova associazione si evidenziano come differenziali geografiche della stessa: *Aurinia saxatilis* ssp. *megalocarpa*, *Asyneuma limonifolium* entrambe a distribuzione mediterranea a gravitazione

orientale e *Pistacia terebinthus* L. x *saportae*.

La nuova associazione si inquadra nell'alleanza *Oleo-Ceratonion*, dell'ordine *Pistacio-Rhamnetalia alaterni*.

CORONILLO EMEROIDIS-PISTACIETUM LENTISCI ass. nova

(Tab. 8, holotypus ril. n.2)

La vegetazione a *Pistacia lentiscus* e *Olea europaea* var. *sylvestris* (Fig. 14) è stata descritta originariamente per le regioni costiere dell'Africa settentrionale con l'epiteto di *Oleo-Lentisetum* (Braun-Blanquet & Maire, 1924). In questa oltre alle due specie dominanti e costituenti la struttura della macchia, si rinvengono: *Ceratonia siliqua*, *Phillyrea media*, *Arbutus unedo*, *Cistus monspeliensis*, *Polygala balanzae* e *Cuscute monogyna*.

Essendo tale fitocenosi per i caratteri fisionomici ampiamente distribuita nel bacino del Mediterraneo, diversi Autori hanno ripreso l'associazione indicata per l'Africa settentrionale aggiungendovi un'aggettivazione geografica. Così in Provenza l'associazione è stata

Tab. 7 - *Coronillo valentinae-Juniperetum turbinatae* ass. nova

Rilievo n.		1	2	3	4*	5	6		
Località		L	L	L	L	L	L		
Altitudine (m s.m.)		240	225	140	110	145	70		
Esposizione		WSW	S	WSW	WSW	SSE	WSW		
Inclinazione in °		5	20	30	15	35	5		
Ricoprimento in %		100	100	100	100	85	90		
Superficie in m ²		100	50	80	100	80	120		
H veg. in m		2	1,5	5	2	3	2		
							s.		
<hr/>									
Sp. caratt. e diff. dell' ass. <i>Coronillo valentinae-Juniperetum turbinatae</i>									
P caesp	EURIMEDIT.	Juniperus phoenicea L. ssp. turbinata Guss. (Nyman)	4.4	2.2	3.2	3.3	4.4	4.5	6
P caesp	STENOMEDIT.	Juniperus oxycedrus L. ssp. macrocarpa (S. et S.) Ball	2.2	3.2	3.2	2.2	2.2	1.2	6
NP	SW-STENOMEDIT.	Coronilla valentina L. ssp. glauca (L.) Batt.	1.2	1.2	1.2	1.2	.	.	4
Ch suffr	NE-MEDIT.-MONT.	Aurinia saxatilis (L.) Desv. ssp. megalocarpa (Hausskn.) Dundley	.	.	.	1.2	+.2	+	3
P caesp	EURIMEDIT.	Pistacia terebinthus L. x saportae Burnat	1.2	.	.	.	1.1	.	2
H scap	NE-EURIMEDIT.	Asyneuma limonifolium (L.) Janchen	.	.	.	1.2	.	.	1
<hr/>									
Sp. caratt. dell'all. <i>Oleo-Ceratonion</i> dell'ord. <i>Pistacio-Rhamnetalia alaterni</i> e della cl. <i>Quercetea ilicis</i>									
Ch frut	STENOMEDIT.	Prasium majus L.	+.2	+.2	+.2	1.2	1.2	1.2	6
P caesp	STENOMEDIT.	Phillyrea media L.	2.3	2.2	1.2	2.2	2.2	3.3	6
P caesp	S-STENOMEDIT.	Pistacia lentiscus L.	1.2	1.2	1.2	3.2	1.2	2.3	6
P caesp	STENOMEDIT.	Olea europaea L. var. sylvestris Brot.	1.2	.	2.2	1.2	1.2	2.3	5
G bulb	STENOMEDIT.	Allium subhirsutum L.	+	.	2.2	1.2	1.2	+	5
NP	C e S-EUROP.	Coronilla emerus L. ssp. emerooides (Boiss. et Spruner) Hayek	1.2	.	.	+	+	+.2	4
P caesp	EURIMEDIT.	Rhamnus alaternus L.	2.3	2.2	.	.	1.1	1.2	4
P caesp	STENOMEDIT.	Myrtus communis L.	.	.	.	+	+.2	+	3
P scap	STENOMEDIT.	Quercus ilex L.	1.2	+	2
G rhiz	STENOMEDIT.	Asparagus acutifolius L.	.	.	.	+	.	+	2
H caesp	STENOMEDIT.	Melica arrecta O.Kuntze	1.2	+	2
H caesp	STENOMEDIT.	Carex distachya Desf.	+.2	1
P lian	STENOMEDIT.	Lonicera implexa Aiton	1.2	1
P caesp	STENOMEDIT.	Phillyrea latifolia L.	.	.	1.2	.	.	.	1
G rhiz	EURIMEDIT.	Ruscus aculeatus L.	+	1
<hr/>									
Compagne									
Ch suffr	S-STENOMEDIT.	Ruta chalepensis L.	.	.	+.2	1.2	1.2	1.1	4
G bulb	STENOMEDIT.	Urginea maritima (L.) Baker	+	.	.	+.2	+.2	+	4
T scap	STENOMEDIT.	Brachypodium distachyrum (L.) Beauv.	.	.	+.2	+.2	1.2	.	3
NP	STENOMEDIT.	Cistus monspeliensis L.	+	.	.	1.2	.	.	2
Ch frut	E-STENOMEDIT.	Thymus capitatus (L.) Hofmgg. et Lk.	+	.	.	.	1.1	.	2
Ch suffr	SE-EURO.	Onosma echiooides L.	.	+	+.2	.	.	.	2
Ch suffr	W-STENOMEDIT.	Phagnalon saxatile (L.) Cass.	.	.	.	1.2	+.2	.	2
Ch succ	W- E C-EUROP.	Sedum rupestre L.	+	.	.	+.2	.	.	2
T scap	STENOMEDIT.	Sonchus tenerimus L.	.	.	+	+.2	.	.	2
<hr/>									
Sporadiche									
		6	3	1	4	1	3		

indicata come *Oleo-Lentisetum provincialis* (Molinier, 1954; Lavagne, 1972), per la presenza di *Myrtus communis* indicante un aspetto edafico più umido mentre, per alcune parti della Grecia è stata indicata l'associazione *Oleo-Lentisetum aegeicum* (Krause *et al.*, 1963; Horvat *et al.*, 1974) e per il litorale adriatico orientale l'*Oleo-Lentisetum adriaticum* (Trinajstic, 1977; 1984).

In base all'art. 34 del Codice internazionale di nomenclatura fitosociologica (Weber *et al.*, 2002), tali nomi sono tutti illegittimi, in quanto si tratta di epitetti geografici non derivanti dal nome di una specie e privi pertanto di informazioni floristiche supplementari.

In Puglia le formazioni a *Pistacia lentiscus* ed *Olea europaea* var. *sylvestris* sono state segnalate sul promontorio del Gargano (Biondi, 1985) e alle isole

Tremiti (De Marco *et al.*, 1984), dove sono state inquadrati tutte nell'associazione *Oleo-Lentisetum* Braun-Blanquet et Maire 1924 della quale sono state anche individuate due subassociazioni: *myrtetosum* Caneva, De Marco e Mossa 1981 ed *euphorbietosum* Molinier 1954.

In Tab. 8 sono stati riuniti i rilievi effettuati nelle gravine con altri già editi delle Puglie, derivanti dalle pubblicazioni citate, e quelli del litorale adriatico orientale pubblicati in Trinajstic 1984.

L'elaborazione di Tab. 8 permette di riconoscere tre associazioni e precisamente:

- *Coronillo emeroidis-Pistacietum lentisci* ass. nova, a cui si riferiscono i rilievi inediti effettuati nelle gravine;
- *Junipero turbinatae-Pistacetum lentisci* ass. nova, che inquadra i rilievi presentati in Trinajstic (1984), effettuati

in località diverse del litorale croato;

- *Euphorbia dendroidis-Pistacetum lentisci* ass. nova, che inquadra i rilievi pubblicati in De Marco *et al.* (1984) ed effettuati sulle diverse isole dell'Arcipelago delle Isole Tremiti.

L'associazione *Coronillo emeroidis-Pistacietum lentisci* inquadra la vegetazione a lentisco e olivastro che occupa i pianori e i versanti più caldi delle gravine, costituiti da substrati calcarei o calcarenitici, con tasche di terra (Fig. 17). Sono specie caratteristiche dell'associazione: *Coronilla emerus* ssp. *emeroides*, *Osyris alba*, *Pistacia terebinthus* x *saportae* mentre sono differenziali della stessa rispetto al litorale croato: *Festuca esaltata*, *Euphorbia wulfenii* e *Calicotome infesta*. Inoltre non sono presenti nella vegetazione in oggetto molte specie rinvenibili nelle analoghe formazioni del litorale adriatico orientale: *Juniperus phoenicea* ssp. *turbinata*, *Ephedra fragilis*, *Erica arborea*, *E. manipuliflora*, *Ceratonia siliqua*, *Calicotome spinosa*, ecc.

Dal punto di vista dinamico, questa vegetazione rappresenta uno stadio di degradazione delle formazioni forestali a leccio, ascrivibili all'alleanza *Fraxino ornitho-Quercion ilicis*.

All'associazione *Junipero turbinatae-Pistacetum lentisci* ass. nova, corrispondono invece i rilievi indicati in precedenza nell'associazione *Oleo-Lentiscetum adriaticum* (Trinajstic, 1977; 1984) diffusa nel litorale croato e in quello del promontorio del Gargano (Biondi, 1985). Si tratta di una vegetazione maggiormente

termofila rispetto a quella rilevata nelle gravine joniche della quale si ritengono specie caratteristiche: *Juniperus phoenicea* ssp. *turbinata*, *Ceratonia siliqua* e *Cyclamen repandum*. Della stessa si riconoscono due subassociazioni: *juniperetosum turbinatae*, corrispondente all'aspetto tipo dell'associazione (ril. tipo 15 di Tab. 1 in Trinajstic 1984 = ril. n. 20 di Tab. 8) e *ericetosum arboree*, dei terreni acidi o subacidi per decalcificazione, differenziata da: *Erica arborea*, *E. manipuliflora*, *Arbutus unedo* (ril. tipo 11 di Tab. 1 in Trinajstic 1984 = ril. n. 28 di Tab. 8).

L'associazione *Euphorbia dendroidis-Pistacetum lentisci* ass. nova, inquadra per contro i rilievi pubblicati in De Marco *et al.* (1984), effettuati in diverse isole dell'Arcipelago delle Tremiti. Si ritiene che l'attribuzione di questa vegetazione all'*Oleo-Lentiscetum* non è adeguata né in termini strutturali né floristici in quanto si tratta di formazioni dominate dal lentisco ma con una consistente perdita di diversità floristica, dovuta alla scomparsa di buona parte delle specie dell'alleanza *Oleo-Ceratonion*, della quale si rinvie tuttavia abbondantemente *Euphorbia dendroides*, e del *Fraxino ornitho-Quercion ilicis* mentre si evidenzia la penetrazione di specie più spiccatamente aridofile e per buona parte alofile. Sono specie caratteristiche dell'associazione: *Euphorbia dendroides*, *Rosmarinus officinalis*, *Urginea maritima* e *Artemisia arborescens*. Anche di questa si riconoscono due subassociazioni: *euphorbietosum dendroidis*



Fig. 14 - Macchia a *Pistacia lentiscus* sul versante occidentale della gravina del Triglio riferita all'associazione del *Coronillo emeroidis-Pistacietum lentisci*

Arisaema vulgare Targ.-Tozz.	7	6	4	3
Carex balleriana Aso	-	-	-	-
Carex disticha Desf.	-	-	-	-
Rosa sempervirens L.	-	-	-	-
Fraxinus ornus L.	-	-	-	-
Daphne gnidium L.	+2	1.2	-	-
Laurus nobilis L.	-	-	-	-
Quercus trojana Webb	-	-	-	-
Cyclamen hederifolium Atton	-	-	-	-
	-	-	-	-
Compositae	-	-	-	-
Allium subinflatum L.	-	-	-	-
Braeckelmannia ramosa (L.) R. et S.	-	-	-	-
Dactylis hispanica Roth	-	-	-	-
Oryzopsis militacea (L.) Asch. et Schweinf.	-	-	-	-
Cistus creticus L. ssp. ericeophilus	-	-	-	-
Cistus monspeliacus L.	-	-	-	-
Asphodelus microcarpus Salzm. et V.W.	-	-	-	-
Teucrium flavum L. ssp. flavum	-	-	-	-
Capnodis rigidum (L.) Hubbard	-	-	-	-
Helichrysum italicum (Roth) Don	-	-	-	-
Geranium purpureum Vill.	-	-	-	-
Asphodelus fistulosus L.	-	-	-	-
Polygonum spinosum Mill.	-	-	-	-
Carina vulgaris L.	-	-	-	-
Ruta chalepensis L.	-	-	-	-
Trifolium scabrum L.	-	-	-	-
Lolium perenne L.	-	-	-	-
Acerops geniculata Roth	-	-	-	-
Polygonum spississimum (L.) Cass.	-	-	-	-
Cistus salviifolius L.	-	-	-	-
Melastomataceae	-	-	-	-
Anemone hortensis L.	-	-	-	-
Opunitia fea-indica (L.) Miller	-	-	-	-
Lagurus ovatus L.	-	-	-	-
Saxifraga virginia Jacq.	-	-	-	-
Funaria capricornata L.	-	-	-	-
Brachythecium distachyrum (L.) Beauv.	-	-	-	-
Hedera helix L.	-	-	-	-
Vulpia myuros (L.) Cernohl.	-	-	-	-
Ononis ornithopodioides L.	-	-	-	-
Gladiolus indicae Miller	-	-	-	-
Hypochoeris achyrophorus L.	-	-	-	-
Lophiolepis cristata (L.) Hyl.	-	-	-	-
Ficus carica L.	-	-	-	-
Fenella communis L.	-	-	-	-
Linnaria stricta L. ssp. strictum	-	-	-	-
Convolvulus cantabrica L.	-	-	-	-
Geranium rotundifolium L.	-	-	-	-
Pseuderanthemum bipinnatum L.	-	-	-	-
Funaria caproidea L.	-	-	-	-
Celtis austriaca L.	-	-	-	-
Convolvulus elegantissimus Miller	-	-	-	-
Dasypteron villosum (L.) Barbas	+2	-	-	-
Sedum acre L.	-	-	-	-
Asphodeline lutea (Scop.) Rebb.	-	-	-	-
Stipa bimaculoides (L.) Drfl.	-	-	-	-
Acer monspessulanum L.	-	-	-	-
Rhamnus saxatilis Jacq. ssp. infectoria	-	-	-	-
Cistus creticus L. ssp. creticus	-	-	-	-
Elaeocarpus asclepiadifolius (L.) Bentol.	+2	-	-	-
Prunus spinosa L.	-	-	-	-
Microseris graeca (L.) Bentham	-	-	-	-
Teucrium chamaedrys L.	-	-	-	-
Sanguisorba minor Scop.	-	-	-	-
Vicia sativa L.	-	-	-	-
Silene italica (L.) Pers.	-	-	-	-
Thymus capitatus (L.) Holmg. et Lk.	-	-	-	-
Sonchus tenerrimus L.	-	-	-	-
Silene vulgaris (Moench) Greene	-	-	-	-
Bizia maxima L.	-	-	-	-
Musca neglectum Guss.	-	-	-	-
Avena barbata Poir.	-	-	-	-

Ritrov. 1-6, medit. Gravine - vedi addenda, 7-15, da Biondi (1985), Gangano, 16-34, da Imaistic (1984), Isola D'Elba, 35-43, da De Marco G., Ven L., Caneva G. (1989), Isola Trenitti

corrispondente all'aspetto tipico (ril. tipo n. 6 di Tab. 5 in De Marco *et al.*, 1984 = ril. n. 37 di Tab. 8) e *atriplicetosum halimi*, differenziata da: *Atriplex halimus*, *Suaeda fruticosa*, *Limonium diomedaeum* e *Daucus gingidium* (ril. tipo n. 16 di Tab. 5 in De Marco *et al.*, 1984 = ril. n. 42 di Tab. 8), delle aree più prossime alla battigia rappresentante il contatto con l'associazione nitrofila *Atriplici halimi-Artemisietum arborescentis* (Biondi, 1988) e *Crithmo-Limonietum diomedaei* (Bartolo *et al.*, 1989).

OLEO SYLVESTRIS-CALICOTOMETUM INFESTAE

ass. nova

(Tab. 9, holotypus ril. n.3)

La vegetazione arbustiva a dominanza di *Calicotome infesta* si sviluppa in condizioni di post-incendio ed è stata rinvenuta su ampi tratti della gravina di Laterza, in zona Lamia Renzullo, e nella gravina di Montecamplo.

Specie caratteristiche e differenziali della nuova

Tab. 9 - *Oleo sylvestris-Calicotometum infestae* ass. nova

Rilievo n.		1	2	3*	4	5	6
Località		C	L	L	L	L	L
Altitudine (m s.m.)		200	210	215	188	188	80
Esposizione		NNE	ENE	E	E	E	WSW
Inclinazione in °		10	5	15	5	5	r
Ricoprimento in %		100	100	100	100	100	e
Superficie in m2		100	150	150	200	200	s.
<hr/>							
P caesp	STENOMEDIT.	Sp. caratt. e diff. dell'ass. <i>Oleo sylvestris-Calicotometum infestae</i>					
P caesp	STENOMEDIT.	Calicotome infesta (Presl.)Guss.	5.5	5.5	5.5	5.5	6
P caesp	STENOMEDIT.	Olea europaea L. var. sylvestris Brot.	1.2	3.2	1.2	2.2	3.2
P caesp	STENOMEDIT.	Phillyrea media L.	+	2.2	1.2	.	+.2
<hr/>							
P caesp	S-STENOMEDIT.	Sp. caratt. e diff. dell'all. <i>Oleo-Ceratonion</i> e dell'ord. <i>Pistacio-Rhamnetalia alaterni</i>					
Ch frut	STENOMEDIT.	Pistacia lentiscus L.	1.2	2.2	2.2	3.3	2.2
P caesp	EURIMEDIT.	Prasium majus L.	2.2	+.2	+.2	1.2	1.2
P caesp	EURIMEDIT.	Rhamnus alaternus L.	2.2	.	1.2	.	.
NP	SW-STENOMEDIT.	Coronilla valentina L. ssp. glauca (L.) Batt.	.	.	.	+.2	+.2
P lian	EURIMEDIT.	Clematis flammula L.	1.2
P scap	STENOMEDIT.	Pinus halepensis Miller pl.	+
<hr/>							
G rhiz	STENOMEDIT.	Specie caratt. della classe <i>Quercetea ilicis</i>					
NP	SUBTROP.	Asparagus acutifolius L.	1.2	+	1.2	1.2	2.2
H scap	EURIMEDIT.	Smilax aspera L.	+.2	.	+	+.2	.
H caesp	EURIMEDIT.	Pulicaria odora (L.) Rchb. cfr.	.	.	.	+	+
P caesp	EURIMEDIT.	Carex hallerana Asso	.	.	.	+	.
P caesp	STENOMEDIT.	Daphne gnidium L.	1.2
P lian	STENOMEDIT.	Daphne gnidium L.	1
Ch suffr	EURIMEDIT.	Rubia peregrina L. var. longifolia Poiret	+.2
P caesp	STENOMEDIT.	Teucrium chamaedrys L.	.	.	+.2	.	.
NP	EURIMEDIT.	Arbutus unedo L.	.	.	.	2.2	.
H caesp	STENOMEDIT.	Osyris alba L.	+
G bulb	STENOMEDIT.	Melica arrecta O. Kuntze	+.2	.	.	.	1
<hr/>							
Compagne							
G bulb	STENOMEDIT.	Allium subhirsutum L.	+	1.2	1.2	+.2	1.2
NP	STENOMEDIT.	Cistus monspeliensis L.	.	2.2	2.2	2.2	3.3
H bienn	PALEOTEMP.	Daucus carota L.	.	.	+	+	+
T scap	STENOMEDIT.	Linum strictum L. ssp. strictum	.	.	+	.	+
Ch suffr	STENOMEDIT.	Convolvulus elegantissimus Miller	.	.	+	.	+
H caesp	STENOMEDIT.	Oryzopsis miliacea (L.) Asch. et Schweinf.	.	.	+.2	.	1.2
H scap	EURIMEDIT.	Stipa bromoides (L.) Dorfl.	.	.	.	1.2	1.2
T scap	STENOMEDIT.	Brachypodium distachyrum (L.) Beauv.	.	.	1.2	1.2	.
H Scand	E-STENOMEDIT.	Teucrium chamaedrys L.	.	.	+	.	+
H caesp	STENOMEDIT.	Psoralea bituminosa L.	.	.	+	.	+
T scap	EURIMEDIT.	Odontites lutea (L.) Clairv.	.	.	+.2	.	+
T scap	STENOMEDIT.	Delphinium heterophyllum S. et S.	.	.	+	.	+
P caesp	STENOMEDIT.	Pyrus amygdaliformis Vill.	+	.	.	2.2	.
T scap	EURIMEDIT.	Avena barbata Potter	.	.	+	+	.
H bienn	ENDEM.	Centaurea apula Bianco & Brullo	.	.	+	+	.
G bulb	PALEOTEMP.	Allium sphaerocephalon L.	.	.	+	.	+
<hr/>							
Sporadiche							
		4	1	5	3	1	2

associazione sono *Calicotome infesta*, *Olea europaea* var. *sylvestris* e *Phillyrea media*.

L'associazione rappresenta uno stadio dinamico di recupero alla garighe a cisti nell'area di potenzialità per la lecceta. La Calicotome, come i Cisti si rigenera da seme dopo l'incendio (pirofita attiva generativa), per cui nella prima fase post-incendio forma delle garighe insieme a quest'ultime. Nella successiva fase evolutiva per il maggior accrescimento della Calicotome si formano delle macchie con l'olivastro e la fillirea.

Dal punto di vista fisionomico e strutturale, questa vegetazione presenta analogia con le formazioni arbustive silicicole descritte per il versante tirrenico dell'Aspromonte riferite all'associazione *Calicotomo infestae-Ericetum arboreae* Brullo, Scelsi e Spanpinato (2001), caratterizzata dalla presenza di *Calicotome infesta* ed *Erica arborea* specie acidofila, con quelle indicate per la Croazia e riferite all'associazione *Erico-Calycotometum infestae* Horvatic 1958 con *Erica manipuliflora* e *Calicotome infesta*, e con l'associazione *Calicotomo-Myrtetum* Guinochet in Guinochet & Drouineau 1944 distribuita lungo l'arco tirrenico settentrionale caratterizzata dalla presenza di *Calicotome spinosa* e *Myrtus communis*, dalle quali la nuova associazione si differenzia sia per la composizione floristica che per l'ecologia.

CORONILLO EMEROIDES-EUPHORBIETUM DENDROIDIS Géhu & Biondi 1997

juniperetosum turbinatae subass. nova

(Tab. 10, holotypus ril.n.1)

coronilletosum valentinae subass. nova

(Tab. 10, holotypus ril.n.3)

L'associazione individua la vegetazione discontinua, dominata da *Euphorbia dendroides* e *Olea europea* var. *sylvestris*, che si sviluppa in stazioni rupestri a forte acclività ed esposte prevalentemente a Sud, dove il suolo è in generale ridotto a tasche di terra tra i massi e le fessure della roccia. Nell'area in studio questa si rinviene nei settori più elevati della gravina di Leucaspide, in quelli meridionali della gravina di Laterza, dove questa digrada verso la costa (Fig. 15), nella gravina del Varco, nella gravina di Castellaneta e in quella di Palagianello. Tale tipo di vegetazione va interpretato come uno stadio durevole, a dinamismo boccato, legato alle particolari condizioni edafiche che ne impediscono la naturale evoluzione.

La vegetazione strutturalmente legata alla dominanza di *Euphorbia dendroides* e *Olea europea* var. *sylvestris*, venne per la prima volta inquadrata da Trinajstic (1973) con l'epiteto di *Oleo-Euphorbiatum dendroidis*. Questa

è stata rinvenuta su buona parte del bacino del Mediterraneo: dalla Spagna alla Turchia meridionale, su substrati calcarei nel piano bioclimatico mesomediterraneo inferiore o termomediterraneo. La combinazione floristica fondamentale dell'associazione è caratterizzata da *Euphorbia dendroides* ed *Olea europaea* var. *sylvestris* a cui si accompagnano numerose specie dell'alleanza *Oleo Ceratonion* e dell'ordine *Pistacio-Rhamnetalia alterni*.

Di questa associazione, Trinajstic (1973) ha successivamente individuato per le coste dalmate la subassociazione *coronilletosum emeroidis* (aspetto più mesofilo), per le isole Baleari la subassociazione *clematidetosum cirrhosae* (aspetto più termofilo) e per il versante tirrenico italiano e per la Provenza la subassociazione *euphorbiatum dendroidis* (= *typicum*).

A questo modello interpretativo hanno fatto riferimento successivamente alcuni Autori che hanno descritto le fitocenosi ad *Euphorbia dendroides* presenti in diversi tratti costieri ed interni della Puglia: Biondi (1985) per il Gargano e Bianco *et al.* (1984) ancora per il Gargano e alcune stazioni delle gravine del tarantino (Gravina di Laterza, Castellaneta, Palagianello).

Data l'enorme variabilità floristico-corologica dell'associazione *Oleo-Euphorbiatum dendroidis* nelle diverse parti del bacino del Mediterraneo, Géhu & Biondi (1997) hanno proposto di differenziarla in gruppi di associazioni territoriali, caratterizzate da diverse combinazioni di specie tra loro geosinvicarianti. Per le coste anfiadriatiche, hanno descritto l'associazione *Coronillo emeroides-Euphorbiatum dendroidis* Géhu & Biondi 1997 [= *Oleo - Euphorbiatum dendroidis* subass. *coronilletosum emeroidis* Trinajstic (1973) 1984], che è stata successivamente individuata nei settori più caldi del versante meridionale del M. Conero (Valle delle Vellare) e per il quale è stata descritta la subass. *ampelodesmetosum mauritanici* Biondi, Bagella, Casavecchia & Pinzi 2002 che individua condizioni più settentrionali dell'associazione, in cui si perdono numerose specie termofile quali ad esempio: *Olea europaea* var. *sylvestris*, *Prasium majus*, *Arisarum vulgaris*, *Ceratonia siliqua*, ecc.

I rilievi realizzati nella zona di studio e che vengono qui presentati (Tab. 10) consentono di proporre due nuove subassociazioni dell'associazione *Coronillo emeroides-Euphorbiatum dendroidis*, entrambe più termofile, di cui una molto diffusa nelle gravine per la quale viene proposto il nome di *coronilletosum valentinae* subass. nova (ril. 2-7 di Tab. 10 – ril. tipo n. 3) della quale sono considerate specie differenziali: *Coronilla valentina* ssp. *glauca*, *Aurinia saxatilis* ssp.

Tab.10 - *Coronillo emerooides-Euphorbietum dendroidis* Géhu & Biondi 1997
juniperetosum turbinatae subass. nova (ril. tipo n.1)
coronilletosum valentinae subass. nova (ril. 2-7; ril. tipo n. 3)

		Rilievo n.	1*	2	3**	4	5	6	7	
		Località	L	L	T	L	T	Am	Am	
		Altitudine (m s.m.)	200	200	195	180	160	160	160	
		Esposizione	NNW	WSW	SE	S	S	SSW	WSW	
		Inclinazione in °	55	25	30	45	30	70	40	
		Ricoprimento in %	80	100	90	80	85	95	90	
		Superficie in m²	50	30	250	150	150	150	200	
		Sp. caratt. e diff. dell'ass. <i>Coronillo valentinae-Euphorbietum dendroidis</i>								
NP	STENOMEDIT.	Euphorbia dendroides L.	3.3	3.2	4.3	4.4	3.3	3.3	3.3	
P caesp	STENOMEDIT.	Juniperus oxycedrus L. ssp. macrocarpa (S. et S.) Ball	1.2	.	1.1	1.1	+	1.1	1.1	
Ch suffr	S-STENOMEDIT.	Ruta chalepensis L.	.	1.2	2.2	.	+.2	1.2	+.2	
		Sp. diff. della subass. <i>juniperetosum turbinatae</i>								
P caesp	EURIMEDIT.	Juniperus phoenicea L. ssp. turbinata Guss. (Nyman)		1.1	
		Sp. diff. della subass. <i>coronilletosum valentinae</i>								
Ch suffr	SE-MEDIT.-MONT.	Aurinia saxatilis (L.) Desv. ssp. megalocarpa (Hausskn.) Dundley	+.2	+.2	+.2	+.2	+.2	+.2	+.2	
NP	SW-STENOMEDIT.	Coronilla valentina L. ssp. glauca (L.) Batt.	1.2	1.2	1.2	1.2	.	.	.	
P caesp	EURIMEDIT.	Pistacia terebinthus L. x saportae Burnat	1.1	.	1.2	.	.	1.1	.	
P caesp	E-STENOMEDIT.	Salvia triloba L. fil.	.	.	1.2	.	1.2	.	+	
H scap	OROF. NE-MEDIT.	Campanula versicolor Hawkins	+	+.2	1.2	
		Sp. caratt. e diff. dell'all. <i>Oleo-Ceratonion</i>								
Ch frut	STENOMEDIT.	Prasium majus L.	2.2	1.2	1.2	1.2	1.2	2.3	2.2	
P caesp	STENOMEDIT.	Olea europaea L. var. sylvestris Brot.	2.2	3.3	3.2	3.3	4.3	3.3	4.4	
P caesp	S-STENOMEDIT.	Pistacia lentiscus L.	2.2	2.2	+.2	3.3	1.2	+.2	.	
P caesp	S-STENOMEDIT.	Ceratonia siliqua L.	2.2	.	
		Sp. caratt. e diff. dell'ord. <i>Pistacio-Rhamnetalia alaterni</i> e della classe <i>Quercetea ilicis</i>								
G rhiz	STENOMEDIT.	Asparagus acutifolius L.	+	+.2	+.2	.	.	1.2	+.2	
P caesp	EURIMEDIT.	Rhamnus alaternus L.	.	1.2	1.1	3.2	+	2.2	.	
P caesp	STENOMEDIT.	Phillyrea media L.	2.2	2.2	1.2	.	.	+.2	.	
P lian	STENOMEDIT.	Rubia peregrina L. var. longifolia Poiret	1.1	+.2	.	
NP	EURIMEDIT.	Osyris alba L.	+.2	.	.	
P scap	STENOMEDIT.	Quercus ilex L.	2.2	
P caesp	STENOMEDIT.	Daphne gnidium L.	.	.	.	1.2	.	.	.	
		Compagne								
T scap	STENOMEDIT.	Brachypodium distachyrum (L.) Beauv.	+.2	+.2	.	1.2	+.2	+.2	+.2	
H scap	S-EUROMEDIT.	Ferula communis L.	1.1	.	1.2	1.2	2.2	1.2	1.2	
G bulb	STENOMEDIT.	Urginea maritima (L.) Baker	.	1.2	+.2	+	1.2	.	+	
Ch suffr	W-STENOMEDIT.	Phagnalon saxatile (L.) Cass.	.	+.2	.	+.2	+.2	+.2	+.2	
G bulb	STENOMEDIT.	Allium subhirsutum L.	+.2	+.2	.	.	1.2	.	+.2	
H caesp	PALEOTROP.	Hyparrhenia hirta (L.) Stapf	+.2	+.2	+.2	
Ch frut	N-STENOMEDIT.	Satureja cuneifolia Ten.	+.2	+.2	.	.	.	+	.	
T scap	EURIMEDIT.	Avena barbata Potter	.	.	+	.	.	+	+.2	
T scap	SUBTROP.	Briza maxima L.	.	+.2	.	.	+.2	.	+.2	
G bulb	EURIMEDIT.	Leopoldia comosa (L.) Parl.	.	.	+	.	+.2	.	.	
H caesp	STENOMEDIT.	Oryzopsis miliacea (L.) Asch. et Schweinf.	+.2	+.2	.	
T scap	EURIMEDIT.-TURAN.	Dasypyrum villosum (L.) Borbas	+.2	+	.	
Ch frut	STENOMEDIT.	Teucrium flavum L. ssp. flavum	.	.	+.2	.	1.2	.	.	
H caesp	S-EUROP.-SUDESIB.	Melica transylvanica Schur	+	+.2	.	
Ch suffr	STENOMEDIT.	Micromeria juliana (L.) Bentham	.	.	.	+.2	+	.	.	
Ch frut	W-STENOMEDIT.	Antirrhinum majus L.	.	.	.	+.2	.	+	.	
Ch suffr	W-MEDIT.-MONT.	Satureja montana L.	.	1.2	.	1.2	.	.	.	
T scap	EURIMEDIT.	Lagurus ovatus L.	+.2	+.2	
H scap	E-MEDIT.	Carum multiflorum (S. et S.) Boiss.	+	.	+	
		Sporadiche				0	3	6	2	0



Fig. 15 - Macchia rupestrre ad *Euphorbia dendroides* dell'associazione *Coronillo emeroides-Euphorbietum dendroidis* sui settori meridionali della gravina di Laterza

megalocarpa, *Pistacia terebinthus* x *saportae*, *Salvia triloba* e *Campanula versicolor*. L'altra subassociazione, più rupeste e termofila, individuata per le formazioni rocciose della gravina di Laterza, rilevata anche da Bianco *et al.*, (1984) (ril. 11-13 di Tab. 1), viene indicata come *juniperetosum turbinatae* subass. nova, correggendo la determinazione dell'entità *Juniperus phoenicea* f. *mollis* in Bianco *et al.*, (1984) e della quale è specie differenziale: *Juniperus phoenicia* subsp. *turbinata* (ril. 1 di Tab. 10 – ril. tipo n. 1).

Viene noltre descritta la nuova subass. *coronilletosum emeroidis*, corrispondente al tipo dell'ass. *Coronillo emeroides-Euphorbietum dendroidis* Gèhu & Biondi 1997 (ril. tipo n. 4 di Tab. 2 in Trinajstic 1984).

CYCLAMINO REPANDI-PALIURETUM SPINAE-CHRISTI Biondi 1999 (Tab. 11)

La vegetazione arbustiva dominata da *Paliurus spina-christi* si rinviene nelle gravine del Triglio, Miola, Alezza, Giacoia, e sporadicamente anche in quella di Laterza, in ambiti stazionali di basso versante, caratterizzati da suoli profondi e da un elevato tasso di umidità edafica, od anche sui versanti in corrispondenza di conoidi detritiche parzialmente consolidate.

La Marruca è una specie a distribuzione sudeuropea, presente in tutta l'Italia con esclusione delle isole maggiori. Fenaroli (1966) indica in termini fisionomici le fitocenosi arbustive a *Paliurus*

spina-christi del Gargano come “pseudomacchia caducifoglia” di tipo illirico, affine alle formazioni balcaniche denominate “Sibljack”. Biondi (1985), pur attribuendo al paliureto un ruolo essenzialmente fisionomico, ne sottolinea l’importanza costruttiva nelle fasi dinamiche legate alla ricostituzione sia della macchia mediterranea che dei boschi caducifogli termofili.

I rilievi presentati in Tab. 8 permettono di riferire questa vegetazione all'associazione termofila *Cyclamino repandi-Paliuretum spinae-christi* descritta per il versante settentrionale del Gargano, della quale si rinvengono nell'area in oggetto le specie caratteristiche e differenziali quali: *Paliurus spina-christi*, *Pyrus amygdaliformis* e *Phillyrea media* mentre *Cyclamen repandum* viene sostituito da *C. hederifolium*, in quanto la prima è specie rara nella Puglia meridionale.

L'associazione viene inquadrata nell'alleanza *Oleo-Ceratonion* e nell'ordine *Pistacio-Rhamnetalia alterni*, in quanto rappresenta uno stadio di recupero verso le formazioni forestali dell'alleanza *Fraxino ornitho-Quercion ilicis*, mentre nelle aree di potenzialità per il bosco misto di caducifoglie a dominanza di *Ostrya carpinifolia*, l'associazione viene vicariata dal *Rhamno saxatilis-Paliuretum spinae-christi* (Biondi, 1999), dell'alleanza *Cytision sessilifolii*, la quale però non è stata rinvenuta nell'area in studio.

Tab. 11 - *Cyclamino repandi-Paliuretum spinae-christi* Biondi 1999

		Rilievo n.	1	2	3	4	5	6	7	8	9	10
		Località	Gia	Gia	L	T	T	T	T	L	M	M
		Altitudine in m	135	135	80	128	128	150	166	100	172	183
		Esposizione	S	-	SSW	NE	WNW	NE	NE	WSW	N	SSW
		Inclinazione in °	5	-	15	35	30	40	20	10	5	5
		Ricoprimento in %	90	95	80	70	95	100	90	100	100	100
		Superficie in m ²	100	150	20	100	80	200	150	100	150	100
			s.									
		Sp. caratt. e diff. dell'ass. <i>Cyclamino repandi-Paliuretum spinae-christi</i>										
P caesp	SE-EUROP.	Paliurus spina-christi Miller	4.3	4.3	5.5	5.5	5.5	5.5	4.4	5.5	4.3	4.4
P caesp	STENOMEDIT.	Pyrus amygdaliformis Vill.	1.1	1.1	.	1.2	1.2	1.1	.	.	1.1	2.2
G bulb	N-STENOMEDIT.	Cyclamen hederifolium Aiton	.	.	.	+2	1.2	.	2.2	1.2	+2	.
P caesp	STENOMEDIT.	Phillyrea media L.	2.2	1.1	.	.	2.2	2.2	.	.	.	4
		Sp. caratt. e diff. dell'all. <i>Oleo-Ceratonion</i> dell'ord. <i>Pistacio-Rhamnetalia alaterni</i>										
P caesp	S-STENOMEDIT.	Pistacia lentiscus L.	2.2	2.2	.	2.2	3.3	4.3	2.2	3.3	1.2	1.2
P caesp	STENOMEDIT.	Olea europaea L. var. sylvestris Brot.	1.1	2.2	.	1.2	+	1.2	.	.	1.1	6
P caesp	EURIMEDIT.	Rhamnus alaternus L.	1.1	1.1	.	.	.	2.2	.	.	1.1	.
P lian	EURIMEDIT.	Clematis flammula L.	+2	.	.	.	2.2	2.2	.	2.2	.	4
Ch frut	STENOMEDIT.	Prasium majus L.	+	+	.	1.2	3
P caesp	EURIMEDIT.	Pistacia terebinthus L. x sportae	+	1.1	1.1	.	.	3
P scap	STENOMEDIT.	Pinus halepensis Miller	1.1	.	.	.	1
P caesp	W-STENOMEDIT.	Phillyrea angustifolia L.	+	1
P caesp	STENOMEDIT.	Myrtus communis L.	2.2	1
		Sp. caratt. e diff. della cl. <i>Quercetea ilicis</i>										
G rhiz	STENOMEDIT.	Asparagus acutifolius L.	+2	1.2	1.2	1.2	1.2	+2	1.2	2.2	1.2	+2
P lian	STENOMEDIT.	Rubia peregrina L. var. longifolia Poiret	1.2	1.2	1.2	.	1.2	+2	2.2	1.2	.	+
G bulb	STENOMEDIT.	Allium subhirsutum L.	+	+	2.2	2.2	1.1	1.2	1.2	1.2	.	8
NP	SUBTROP.	Smilax aspera L.	1.2	1.2	2.2	.	+2	2.2	.	1.2	.	6
NP	C e S-EUROP.	Coronilla emerus L. ssp. emerooides (Boiss. et Spruner) Hayek	1.2	.	.	.	2.3	2.2	3.2	.	.	4
NP	STENOMEDIT.	Rosa sempervirens L.	1.2	.	2.2	.	+2	3
H caesp	STENOMEDIT.	Melica arrecta O.Kuntze	+2	.	.	2
Ch suffr	EURIMEDIT.	Teucrium chamaedrys L.	.	.	.	+2	.	+	.	.	.	2
P caesp	STENOMEDIT.	Daphne gnidium L.	+	+	.	.	.	2
G rhiz	EURIMEDIT.	Ruscus aculeatus L.	.	2.2	1.2	.	.	2
NP	EURIMEDIT.	Osyris alba L.	+2	1
P scap	STENOMEDIT.	Quercus ilex L.	1.1	.	.	.	1
		Sp. caratt. e diff. dell'ord. <i>Prunetalia spinosae</i> della classe <i>Rhamno-Prunetea</i>										
P caesp	PALEOTEMP.	Crataegus monogyna Jacq.	3.3	+	1.1	.	2.2	1.2
NP	EURIMEDIT.	Rubus ulmifolius Schott	.	.	1.2	2.2	+	.	.	1.2	.	4
P scap	EURASIAT.	Pyrus pyraster Burgsd.	+	1
P caesp	SE-EUROP.	Rhamnus saxatilis Jacq. ssp. infectorius (L.) P. Fourn.	1.1	.	1
P caesp	EUROP.-CAUC.	Prunus spinosa L.	+	1
		Compagne										
H caesp	S-EUROP.-SUDSIB.	Melica transsylvanica Schur	+2	+2	+2	+	+	5
P lian	EURIMEDIT.	Hedera helix L.	.	.	.	1.2	.	.	.	1.2	1.2	3
H caesp	STENOMEDIT.	Oryzopsis miliacea (L.) Asch. et Sch. ssp. thomasii (Duby) Pign.	+2	.	2.2	.	.	.	+	.	.	3
G rhiz	STENOMEDIT.	Arum italicum Miller	.	.	.	+	.	.	2.2	.	+	.
H scap	W-STENOMEDIT.	Acanthus mollis L.	.	.	1.1	.	+	.	.	1.2	.	3
H scap	EURIMEDIT.-MACAJI	Parietaria diffusa M. et K.	+2	.	+2	+2	3
H caesp	STENOMEDIT.	Stipa bromoides (L.) Dorfl.	.	+	.	+2	2
H Scand	E-STENOMEDIT.	Convolvulus elegantissimus Miller	.	+	+2	.	.	2
H ros	EURIMEDIT.	Silene italica (L.) Pers.	.	.	+2	+2	.	2
T scap	EURASIAT.	Galium aparine L.	.	.	.	+	.	+2	.	.	.	2
T scap	MEDIT.ATL.(EURI)	Crepis vesicularia L.	.	.	1.2	.	+	2
H scap	EURIMEDIT.	Ranunculus bulbosus L. ssp. aleae (Willk.) Rouy et Fouc.	.	.	.	+	+	2
		Sporadiche		1	0	7	4	0	1	4	5	4
												2

RUBO ULMIFOLII-MYRTETUM COMMUNIS Biondi & Bagella 2005 (Tab. 12)

Nella parte bassa dei versanti della gravina di Leucaspide, su substrato calcareo umido, si rinviene una macchia molto densa a *Myrtus communis* che beneficia del maggior tasso di umidità edafica dovuta alla vicinanza del corso d'acqua, e a cui si associa sempre *Rubus ulmifolius*.

Questa fitocenosi è già stata rilevata per alcune aree

costiere della Sardegna (Biondi & Bagella, 2005) e del Salento (Biondi *et al.*, 2006). L'associazione viene riferita all'alleanza *Oleo-Ceratonion* dell'ordine *Pistacio-Rhamnetalia alaterni*.

PRATERIE PERENNII

Queste cenosi sono largamente rappresentate nel territorio delle gravine, ed assumono, in genere un ruolo

Tab. 12 - Rubo ulmifolii-Myrtetum communis Biondi & Bagella 2005

Rilievo n.		1	2	
Località		Le	Le	
Altitudine (m s.m.)		120	195	
Esposizione		W	WSW	P
Inclinazione in °		40	10	r
Ricoprimento in %		100	100	e
Superficie in m²		120	150	s.
<hr/>				
P caesp	STENOMEDIT.	Sp. caratt. dell'ass.		
NP	EURIMEDIT.	Myrtus communis L.	5.5	4.3
		Rubus ulmifolius Schott	3.4	3.3
P caesp	EURIMEDIT.	Sp. caratt. e diff. delle unità sup.		
P lian	STENOMEDIT.	Rhamnus alaternus L.	+	.
P caesp	STENOMEDIT.	Rubia peregrina L. var. longifolia Poiret	.	1.2
P caesp	S-STENOMEDIT.	Phillyrea media L.	.	+
G rhiz	STENOMEDIT.	Pistacia lentiscus L.	.	1.2
		Asparagus acutifolius L.	.	+
<hr/>				
H scap	EURIMEDIT.	Compagne		
P lian	EURIMEDIT.	Ballota nigra L.	+	1.2
H caesp	PALEOTEMP.	Hedera helix L.	2.2	.
P caesp	PALEOTEMP.	Brachypodium sylvaticum (Hudson) Beauv.	1.2	.
T scap	EURIMEDIT.	Crataegus monogyna Jacq.	2.2	.
P scap	EURIMEDIT.-TURAN.	Geranium purpureum Vill.	+	.
T scap	EURASIAS.	Ficus carica L.	1.2	.
H scap	EUROP.-CAUC.	Galium aparine L.	+2	.
H scap	STENOMEDIT.	Parietaria officinalis L.	1.2	.
P caesp	STENOMEDIT.	Melissa romana Miller	1.2	.
H caesp	STENOMEDIT.	Pyrus amygdaliformis Vill.	.	1.1
H caesp	S-EUROP.-SUDSIB.	Oryzopsis miliacea (L.) Asch. et Sch. ssp. thomasi (Duby) Pign.	.	1.2
T scap	EURIMEDIT.	Melica transylvanica Schur	.	+2
H scap	EURIMEDIT.	Avena barbata Potter	.	+
H scap	EURIMEDIT.-MACARON.	Stachys germanica s.l.	.	+
		Parietaria diffusa M. et K.	.	1.2

di vegetazione secondaria legata ai processi di degradazione delle formazioni forestali, per effetto delle attività di disboscamento, incendio e pascolo. Talvolta possono rivestire un ruolo primario di tipo pedoclimatico in corrispondenza di affioramenti rocciosi nei settori rupestri.

CONVOLVULO ELEGANTISSIMAE-STIPETUM

AUSTROITALICAE ass. nova

(Tab. 13, holotypus ril. n. 6)

Vegetazione di rilevante interesse fitogeografico, caratterizzata fisionomicamente dalla dominanza di *Stipa austroitalica*, specie endemica descritta da Martinovski (1965) che nella sottospecie tipica, in base alla più recente monografia del genere (Moraldo 1986), presenta un areale compreso nei settori floristici apulo-salentino, garganico e campano-calabro.

Queste praterie sono state rilevate sui pianori e sui settori sommitali della gravina di Leucaspide, presso Statte, e in quelle di Triglio e Miola, presso Crispiano e nella parte meridionale della gravina di Laterza, a quote comprese fra 150 e 300 m, nei piani bioclimatici

termomediterraneo e mesomediterraneo (Fig.16).

La composizione floristica è caratterizzata dalla prevalenza di entità emicriptofitiche, oltre ad un certo numero di geofite e terofite.

Dal punto di vista dinamico la vegetazione inquadrabile in questa associazione si collega all'associazione del *Cyclamino hedryfolii-Querbetum ilicis*.

Specie caratteristiche e differenziali della nuova associazione sono: *Stipa austroitalica*, *Convolvulus elegantissimus*, *Elaeoselinum asclepium*, *Thymus spinulosus*, *Ornithogalum gussonei*.

Per due settori del versante adriatico (Gargano e Molise), in cui *Stipa austroitalica* si trova verso il limite settentrionale di distribuzione, Fanelli *et al.* (2001), hanno descritto l'associazione *Siderito syriacae-Stipetum austroitalicæ* che è stata inquadrata nell'alleanza *Crysopogoni-Saturejon* Horvat & Horvatic 1934 e nell'ordine *Scorzonero-Crysopogonetalia* Horvatic & Horvat (1956) 1958 sintaxa inquadrante gli aspetti termofili dei *Festuco-Brometea*, presenti in Dalmazia. Successivamente Forte *et al.* (2005), per le



Fig. 16 - Vegetazione a *Stipa austroitalica* ssp. *austroitalica* dell'associazione *Convolvulo elegantissimae-Stipetum austroitalicae*.

zone delle Murge pugliesi nord-occidentali e materane, descrivono le associazioni *Chamaecytiso spinescentis-Stipetum austroitalicae* e *Acino suaveolentis-Stipetum austroitalicae* che inquadra nell'alleanza endemica dell'Italia meridionale-orientale *Hippocrepido glaucae-Stipion austroitalicae*, nella quale sono state inquadrata le associazioni descritte da Fanelli *et al.* (2001) e in cui viene anche inquadrata l'associazione in oggetto.

CARDOPATIO CORYMBOSI-BROMETUM ERECTI
ass. nova
(Tab. 14, holotypus ril.n.3)

Si tratta di un pascolo mesoxerofilo a dominanza di *Bromus erectus* che si sviluppa in corrispondenza delle radure subpianeggianti, in località Selva San Vito, a Laterza. I substrati su cui si insediano sono del tipo delle terre rosse mediterranee originatesi dai calcari del cretaceo, che si presentano lisciviati e leggermente acidificati per l'intensa attività pedogenetica; lo spessore del suolo e le sue notevoli capacità di ritenzione idrica garantiscono una certa persistenza di acqua negli strati superiori. Dal punto di vista dinamico questa fitocenosi costituisce la prateria di sostituzione del bosco di Fragno dell'associazione *Teucrio siculi-Quercetum trojanae*. Vengono considerate come specie caratteristiche e differenziali dell'associazione: *Bromus erectus*,

Cardopatum corymbosum, *Salvia virgata*, *Stipa bromoides*.

La nuova associazione viene riferita all'alleanza endemica *Hippocrepido glaucae-Stipion austroitalicae* che riunisce le praterie perenni su substrati calcarei dell'Italia meridionale-orientale, afferenti all'ordine *Scorzonero-Crysopogonetalia* e alla classe *Festuco-Brometea* (Forte *et al.* 2005).

CENTAUREO APULAE-ANDROPOGONETUM DISTACHYI ass. nova
(Tab. 15, holotypus ril. n. 2)

Praterie secondarie a dominanza di *Andropogon distachyus* sono state rilevate lungo tutto il settore sommitale orientale della gravina di Laterza fin dove iniziano i rimboschimenti a Pino d'Aleppo, in contrada Gaudella.

Queste cenosi si sviluppano in corrispondenza di terrazzi leggermente inclinati con accumulo di terra rossa, e sono in collegamento dinamico con la vegetazione di macchia dell'associazione *Coronillo emeroidis-Pistacietum lentisci*.

Caratteristiche e differenziali della nuova associazione, oltre ad *Andropogon distachyus*, sono: *Centaurea apula*, endemica dell'area murgiana, *Iris pseudopumila*, geofita endemica dell'Italia meridionale,

Tab. 13 - *Convolvulo elegantissimae-Stipetum austroitalicae* ass. nova

Rilievo n.		1	2	3	4	5	6*	7	8	9		
Località		T	Le	Le	T	T	T	T	L	L		
Altitudine in m		170	220	213	223	180	170	115	340	343		
Esposizione		NE	-	-	E	ESE	NNW	NW	E	NE		
Inclinazione in °		5	-	-	25	15	5	3	20	10		
Ricoprimento in %		90	85	90	90	80	90	95	80	95		
Superficie in m²		80	200	80	60	70	200	100	60	100		
<hr/>												
Sp. caratt. e diff. dell'ass. <i>Convolvulo elegantissimae-Stipetum austroitalicae</i>												
H caesp	ENDEM.	<i>Stipa austroitalica</i> Martinovsky ssp. austroitalica	5.5	5.5	5.4	5.5	4.4	5.5	5.3	4.5	5.5	9
H scap	STENOMEDIT.	<i>Elaeoselinum asclepium</i> (L.) Bertol.	1.1	1.2	.	+	+	+	+.2	.	1.1	7
H scand	E-STENOMEDIT.	<i>Convolvulus elegantissimus</i> Miller	.	1.2	2.2	1.2	2.2	+.2	+	.	.	6
Ch rept	ENDEM.	<i>Thymus spinulosus</i> Ten.	.	.	.	1.2	.	1.2	+.2	+	+	5
G bulb	STENOMEDIT.	<i>Ornithogalum gussonei</i> Ten.	.	.	+	+	.	.	+	1.2	4	
<hr/>												
Sp. caratt. e diff. dell'all. <i>Hippocrepido glaucae-Stipion austroitalicae</i>												
H scap	SE-EUROP.	<i>Linum tommasinii</i> Rchb.	1.2	+.2	.	+	.	1.2	3.3	+	.	6
G rhiz	ENDEM.	<i>Iris pseudopumila</i> Tineo	+	.	1.2	+.2	3
H caesp	S-EUROP.-SUDSIB.	<i>Hippocrepis glauca</i> Ten.	.	+	.	+.2	2
H caesp	S-EUROP.-SUDSIB.	<i>Melica transylvanica</i> Schur	.	+	.	.	.	1.2	.	.	.	2
<hr/>												
Sp. caratt. e diff. dell'ord. <i>Scorzonero-Crysopogonetalia</i> e della cl. <i>Festuco-Brometea</i>												
G rhiz	SUBENDEM.	<i>Scorzonera villosa</i> Scop. ssp. <i>columnae</i> (Guss.) Nyman	.	1.2	+	1.2	2.2	2.2	1.2	2.2	2.2	8
H scap	EURIMEDIT.	<i>Eryngium campestre</i> L.	1.2	+	+	1.2	.	1.1	.	+.2	.	6
H scap	EURIMEDIT.	<i>Anthyllis vulneraria</i> L. ssp. <i>praepropria</i> (Kerner) Bornm.	.	.	+.2	.	+	+	1.2	1.2	1.2	6
H scap	EURIMEDIT.	<i>Convolvulus cantabrica</i> L.	.	+	.	.	+	.	.	3.2	1.2	4
G bulb	EURIMEDIT.	<i>Leopoldia comosa</i> (L.) Parl.	.	.	+	+.2	.	.	+	.	.	3
H bienn	ENDEM.	<i>Centaurea apula</i> Bianco & Brullo	1.2	+	.	+	.	3
H caesp	PALEOTROP.	<i>Andropogon distachyus</i> L.	1.2	.	.	+	+	3
H caesp	PALEOTEMP.	<i>Bromus erectus</i> Hudson	+	+	2
H caesp	STENOMEDIT.	<i>Stipa bromoides</i> (L.) Dorfl.	+	2.2	.	.	2
G bulb	PALEOTEMP.	<i>Allium sphaerocephalon</i> L.	+	+	+	2
H scap	W-EURIMEDIT.	<i>Potentilla hirta</i> L.	+	.	1
H scap	STENOMEDIT.	<i>Sanguisorba minor</i> Scop. ssp. <i>muricata</i> (Greml.) Briq.	.	.	.	+.2	1
G rhiz	EUROP.	<i>Carex flacca</i> Schreber	.	.	.	+.2	1
H scap	EURIMEDIT.	<i>Asperula aristata</i> L. fil. ssp. <i>scabra</i> (Presl) Nym.	+	1
H caesp	OROF. NE-MEDIT.	<i>Helictotrichon convolutum</i> (Presl) Henrard	+	.	1
H caesp	STENOMEDIT.	<i>Petrohragia saxifraga</i> (L.) Link ssp. <i>gasparrinii</i> (Guss.) Pign.	+	1
G bulb	EURIMEDIT.	<i>Anacamptis pyramidalis</i> (L.) C.Rich.	+	.	.	1
H ros	EURASIAIT.	<i>Silene otites</i> (L.) Wibel	+	1
<hr/>												
Sp. caratt. dell'ord. <i>Cisto cretici-Ericetalia manipuliflorae</i> e della classe <i>Cisto cretici-Micromerietea julianae</i>												
Ch suffr	STENOMEDIT.	<i>Micromeria graeca</i> (L.) Bentham	.	+	+.2	+	+	+	+	.	.	6
Ch succ	W- E C-EUROP.	<i>Sedum rupestre</i> L.	.	.	+	.	.	+	.	+	+	4
Ch suffr	STENOMEDIT.	<i>Teucrium polium</i> L.	+	.	+	.	2
NP	STENOMEDIT.	<i>Cistus monspeliensis</i> L.	+.2	.	.	1
Ch suffr	W-STENOMEDIT.	<i>Phagnalon rupestre</i> (L.) DC.	.	.	+	1
<hr/>												
Compagne												
G bulb	STENOMEDIT.	<i>Urginea maritima</i> (L.) Baker	2.2	3.3	2.2	1.1	1.2	1.2	1.2	1.1	1.2	9
T scap	STENOMEDIT.	<i>Crupina crupinastrum</i> (Moris) Vis.	.	+.2	+.2	+	+	+	.	+	+	7
T scap	EURIMEDIT.-TURAN.	<i>Dasyphyrum villosum</i> (L.) Borbas	1.2	1.2	+	+	.	+	+.2	+	.	7
T scap	EURIMEDIT.	<i>Avena barbata</i> Poter	2.2	1.2	.	.	+	+	+	.	+	6
H caesp	PALEOTEMP.	<i>Dactylis glomerata</i> L.	2.2	+	.	1.2	+.2	+.2	.	1.2	.	6
T scap	EURIMEDIT.	<i>Lagurus ovatus</i> L.	1.2	+	+	1.2	.	+.2	.	.	.	5
T scap	EURIMEDIT.	<i>Bellardia trixago</i> (L.) All.	1.2	+.2	1.2	.	+	.	.	1.2	.	5
H scap	STENOMEDIT.	<i>Reichardia picroides</i> (L.) Roth	1.2	.	.	+	+	+	+	.	.	5
T scap	EURIMEDIT.	<i>Pallenis spinosa</i> (L.) Cass.	.	+	.	+.2	+	+	+.2	.	.	5
H bienn	PALEOTEMP.	<i>Daucus carota</i> L.	.	+	+	+	.	+	+	.	.	5
T scap	EURIMEDIT.	<i>Helianthemum salicifolium</i> (L.) Miller	+	+.2	+	.	+	+.2	.	.	.	4
T scap	SUBTROP.	<i>Briza maxima</i> L.	+	.	.	1.2	+.2	.	+.2	.	.	4
H scap	STENOMEDIT.	<i>Carlina corymbosa</i> L.	.	.	.	+	+	+	+.2	.	.	4
H caesp	STENOMEDIT.	<i>Dactylis hispanica</i> Roth	1.2	1.2	.	+.2	+.2	4
H caesp	PALEOTROP.	<i>Hyparrhenia hirta</i> (L.) Stapf	.	+	+	.	+	+	.	+	+	4
G bulb	STENOMEDIT.	<i>Allium subhirsutum</i> L.	+.2	.	.	.	1.2	.	.	+	+	4
T scap	MEDIT.ATL.(STENO)	<i>Gastridium ventricosum</i> (Gouan) Sch. et Th.	.	+	+	+	3
H bienn	STENOMEDIT.	<i>Scabiosa maritima</i> L.	.	.	+	.	.	+.2	.	+	.	3
<hr/>												
Sporadiche												
		8	6	2	4	4	3	4	6	3		

Tab. 14 -*Cardopatio corymbosi -Brometum erecti* ass. nova

		Rilievo n.	1	2	3*	4	5	6	
		Località	L	L	L	L	L	L	P
		Altitudine in m	348	350	346	362	380	350	
		Eposizione	-	-	-	-	-	-	r
		Inclinazione in °	-	-	-	-	-	-	r
		Ricoprimento in %	100	100	100	90	80	95	e
		Superficie in m²	80	60	100	150	50	60	s.
		Sp. caratt. e diff. dell'ass. <i>Cardopatio corymbosi -Brometum erecti</i>							
H caesp	PALEOTEMP.	Bromus erectus Hudson	5.5	5.5	5.5	4.4	5.4	5.4	6
H scap	NE-MEDIT.-MONT.	Cardopatium corymbosum (L.) Pers.	1.2	+	1.2	1.2	1.1	1.1	6
H scap	SE-EUROP.	Salvia virgata Jacq.	1.1	1.1	1.1	1.1	+	1.2	6
H caesp	STENOMEDIT.	Stipa bromoides (L.) Dorfl.	1.2	+	1.2	+	.	.	4
		Sp. caratt. e diff. dell'all. <i>Hippocrepido glaucae-Stipion austroitalicae</i>							
H caesp	S-EUROP.-SUDSIB.	Melica transsilvanica Schur	+	+	1.1	+.2	+	+	6
H scap	SE-EUROP.	Linum tommasinii Rchb.	.	.	+	+	.	.	2
H bienn	ENDEM.	Carduus micropterus (Borb.) Teyber ssp. perspinosus (Lacaita) Ka.	+	+	2
Ch rept	ENDEM.	Thymus spinulosus Ten.	.	.	.	+	.	.	1
		Sp. caratt. e diff. dell'ord. <i>Scorzonero-Crysopogonetalia</i>							
H scap	EURIMEDIT.	Convolvulus cantabrica L.	+	1.1	1.1	1.2	1.1	1.2	5
G rhiz	NE-EURIMEDIT.	Scorzonera villosa Scop. ssp. columnae (Guss.) Nyman	.	.	.	+	+	1.1	3
G rhiz	EUROP.	Carex flacca Schreber	+	1.1	+	.	.	.	3
H scap	NE-MEDIT.	Eryngium amethystinum L.	+	+	1.2	.	.	.	3
H scap	EURIMEDIT.	Anthyllis vulneraria L. ssp. praeproperea (Kerner) Bornm.	.	.	.	+	1.2	.	2
H caesp	STENOMEDIT.	Petrorhagia saxifraga (L.) Link ssp. gasparrini (Guss.) Pign.	+	.	1.2	.	.	.	2
H scap	ENDEM.	Asperula aristata L. fil. ssp. scabra (Presl) Nym.	.	.	+	.	.	.	1
Ch suffr	W-MEDIT.-MONT.	Satureja montana L. ssp. montana	.	.	+	.	.	.	1
		Sp. caratt. e diff. della cl. <i>Festuco-Brometea</i>							
H scap	W-EURIMEDIT.	Potentilla hirta L.	1.2	+	1.2	+	1.2	2.2	6
H scap	EURIMEDIT.	Eryngium campestre L.	+.2	+	1.1	1.1	1.2	+	6
H scap	STENOMEDIT.	Sanguisorba minor Scop. ssp. muricata (Greml.) Briq.	+.2	1.1	+	1.2	1.2	+	6
H caesp	EURASIAS.	Anthoxanthum odoratum L.	4.3	2.2	1.2	1.1	+	1.2	6
H caesp	EURIMEDIT.	Phleum bertolonii DC.	+	1.2	2.2	+	+	+.2	6
H ros	EURIMEDIT.	Silene italica (L.) Pers.	+	+	.	+	+.2	.	4
H bienn	ENDEM.	Centaurea apula Bianco & Brullo	1.1	.	1.2	.	+	+	4
Ch suffr	EURIMEDIT.	Teucrium chamaedrys L.	2.2	1.2	+.2	1.2	.	.	4
H scap	EUROP.-CAUC.	Stachys officinalis (L.) Trevisan	+	+.2	+.2	+	.	.	4
T scap	PALEOTEMP.	Trifolium campestre Schreber	+	+	1.2	.	+.2	.	4
H scap	PALEOTEMP.	Hypericum perforatum L.	+	+	.	+	.	.	3
H scap	EUROP.-CAUC.	Galium verum L.	+	+	.	+	+	.	3
Ch suffr	SE-CENTROEUROP.	Helianthemum nummularium (L.) Miller ssp. obscurum (Cekal.) Holub	+	2.2	.	.	+	.	3
G bulb	EUROP.-CAUC.	Orchis morio L.	+	.	.	+	+	+	3
H bienn	EURIMEDIT.	Linum bienne Miller	..	+	+	.	+	.	3
G bulb	ENDEM.	Allium lehmannii Lojac.	+	.	+	+	.	.	3
H caesp	S-EUROP.-SUDSIB.	Trifolium ochroleucum Hudson	+	+	.	.	.	1.2	3
H caesp	SUBATL.	Brachypodium rupestre (Host) R. et S.	.	.	+.2	1.2	.	.	2
G bulb	EURIMEDIT.	Leopoldia comosa (L.) Parl.	+	+.2	2
H caesp	OROF. NE-MEDIT.	Helictotrichon convolutum (Presl) Hemard	1.2	.	+	2
H caesp	EURIMEDIT.	Poa sylvestris Guss.	+.2	+	2
G bulb	W-STENOMEDIT.	Ophrys bertolonii Mor.	+	.	1
H scap	EURASIAS.	Bupleurum falcatum L.	..	.	+	.	.	.	1
H scap	EURIMEDIT.	Prunella laciniata (L.) L.	1.1	1
G bulb	EURIMEDIT.	Orchis papilionacea L.	+	.	1
G bulb	EURIMEDIT.	Orchis tridentata Scop.	+	.	1
H scap	EUROSIB.	Trifolium pratense L.	..	.	+	.	.	.	1
		Compagne							
T scap	EURIMEDIT.	Cynosurus echinatus L.	1.2	1.1	1.2	+	+	+	6
H caesp	PALEOTEMP.	Dactylis glomerata L.	3.3	1.2	2.2	1.1	1.2	1.2	6
Ch suffr	STENOMEDIT.	Teucrium polium L.	1.1	+	+	+	.	+	5
T scap	EURIMEDIT.-TURAN.	Dasyphyllum villosum (L.) Borbas	..	+	+	+	.	+.2	5
G rhiz	STENOMEDIT.	Asphodelus microcarpus Salzm. et Viv.	1.2	+	+	2.2	1.2	.	5
NP	W-STENOMEDIT.	Cistus creticus L. ssp. eriocephalus	..	+	1.2	+	1.1	.	5
T scap	EURIMEDIT.	Avena barbata Poter	..	+	1.1	+	+.2	+.2	5
H ros	EURASIAS.	Plantago lanceolata L. var. sphærostachya Mert. et Koch	..	1.1	+	.	+	1.2	5
T scap	EURIMEDIT.	Trifolium angustifolium L.	..	+	1.2	.	+	+	5
H scap	STENOMEDIT.	Carlina corymbosa L.	..	+	1.2	1.2	+	.	4
G rhiz	NE-MEDIT.-MONT.	Iris collina Terr.	..	+	.	+	.	+	4
H scap	EURIMEDIT.	Urospermum dalechampii (L.) Schmidt	+.2	+	+	.	+	.	4
H caesp	EURIMEDIT.	Carex hallerana Asso	1.1	+	.	.	+	+	3
H scap	S-MEDIT.	Thapsia garganica L.	..	+	+	.	.	.	3
H scap	PALEOTEMP.	Silene vulgaris (Moench) Garcke	+.2	+	.	+	.	.	3
T scap	MEDIT. ATL.(STENO)	Gastridium ventricosum (Gouan) Sch. et Th.	+.2	.	+.2	.	.	.	2
T scap	STENOMEDIT.-TURAN.	Aegilops geniculata Roth	+.2	.	.	.	+	.	2
H bienn	STENOMEDIT.	Scabiosa maritima L.	..	+	+	.	.	.	2
H bienn	PALEOTEMP.	Daucus carota L.	..	.	+	1.1	.	.	2
T scap	EURIMEDIT.	Lathyrus aphaca L.	..	+	2
T scap	S-EUROP.-SUDSIB.	Geranium columbinum L.	..	+	2
P lian	EURIMEDIT.	Clematis flammula L.	..	+	2
H scap	EURASIAS.	Ranunculus bulbosus L.	..	+	2
Ch suffr	EURIMEDIT.	Dorycnium hirsutum (L.) Ser.	..	.	1.1	+	.	.	2
H scap	STENOMEDIT.	Reichardia picroides (L.) Roth	..	+	2
P scap	NE-STENOMEDIT.	Quercus trojana Webb	..	+	2
		Sporadiche	5	2	6	0	3	1	

Stachys salviifolia, emicriptofita a distribuzione mediterraneo-orientale, *Diplachne serotina*, *Urginea maritima*, geofita bulbosa, che in questi ambienti assume un ruolo fisionomicamente rilevante in situazioni post incendio.

STIPO AUSTROITALICAE-HYPARRHENIETUM HIRTAE ass. nova

(Tab. 16, holotypus ril. n. 5)

Stipa austroitalica, oltre a colonizzare terreni che rientrano nella serie di vegetazione della lecceta, si spinge anche su substrati più primitivi, nei quali si associa con *Hyparrhenia hirta*, grossa graminacea cespitosa a distribuzione mediterraneo-tropicale. Tale combinazione permette di individuare una fitocenosi morfologicamente dominata da queste due graminacee che viene inquadrata nella nuova associazione *Stipo austroitalicae-Hyparrhenietum hirtae* (Tab. 16).

Sono specie caratteristiche della nuova associazione: *Stipa austroitalica* e *Hyparrhenia hirta* mentre sono differenziali di associazione: *Centaurea apula*, che funge da specie territoriale essendo endemica dei luoghi, *Urginea maritima*, *Dasyperymum villosum* e *Melica transylvanica*. L'associazione in oggetto si inquadra nell'alleanza *Hyparrhenion hirtae*, nell'ordine *Hyparrhenietalia hirtae* e nella classe *Lygeo-Stipetea*.

GARIGHE

Negli stadi progressivamente più degradati la vegetazione di macchia assume un portamento arbustivo e cespuglioso che prelude, nelle situazioni di avanzata degradazione, alle forme aperte e discontinue della gariga. Sono queste formazioni aperte, dominate da specie in grado di resistere maggiormente all'aridità tipica degli ambienti rocciosi, con poco suolo.

Nel Mediterraneo orientale e centrale queste formazioni vengono incluse nella classe *Cisto cretici-Micromerietea julianae* Oberdorfer 1954 che riunisce la vegetazione camefitica e nanofanerofitica, ad habitus pulvinato-spinescente, che si sviluppa su substrati di diversa natura (Oberdorfer 1954, Barbero e Quezel, 1989).

Nel territorio delle gravine sono estesamente diffuse e derivano principalmente dall'uso tradizionale del fuoco nelle pratiche agricole e pastorali, ed in parte, sono legate alle condizioni edafiche limitanti proprie di un ambiente roccioso e rupestre.

HELIANTHEMO JONII-THYMETUM CAPITATI ass. nova

(Tab. 17, holotypus ril. n. 4)

La vegetazione a bassi cespugli, spesso pulvinati, a forte adattamento termoxerofilo in cui domina il *Thymus capitatus*, viene attribuita alla nuova associazione *Helianthemo jonii-Thymentum capitati*.

Nel complesso specifico caratteristico sono presenti: *Helianthemum jonium*, specie endemica dell'Italia meridionale, *Teucrium polium* ssp. *capitatum*, *Micromeria greca*, *Fumana ericoides*, *Micromeria canescens*, *Micromeria juliana*, che differenziano questa associazione da quella del *Rosmarino Thymetum capitati* descritta da Furnari (1965) per la Sicilia sud-orientale e per le isole Eolie.

Queste garighe costituiscono degli aspetti di degradazione della vegetazione di macchia del *Coronillo emeroidis-Pistacietum lentisci*, soprattutto in seguito al verificarsi degli incendi (Fig. 17). Il Timo capitato è specie altamente infiammabile ed è una pirofita attiva generativa che dopo il passaggio del fuoco si rinnova in massa per seme.

Viene individuata una variante a *Rosmarinus officinalis* dominante che si rinviene nelle zone meno degradate e in cui vi è maggior accumulo di suolo. Il Rosmarino è poco infiammabile e poco appetito dal pascolo e con la sua copertura favorisce l'insediamento e lo sviluppo di specie diverse nel processo di recupero verso le formazioni forestali.

RUTO CHALEPENSIS-SALVIETUM TRILOBAE ass. nova

(Tab. 18, holotypus ril. n. 5)

Sui settori sommitali della gravina di Leucaspide, in aree con accumulo di detriti calcarei e sui versanti in erosione si sviluppa una gariga suffruticosa costituita da erbe aromatiche quali, *Ruta chalepensis* e *Salvia triloba*. Quest'ultima è specie mediterranea a gravitazione orientale, la cui distribuzione in Puglia è limitata alle gravine dell'arco jonico, mentre in Palestina e nell'isola di Cefalonia risulta molto più diffusa cosituendo delle garighe in associazione con la *Phlomis fruticosa* note come *Phlomidofruticosae-Salviuetum trilobate* (De Bòlos et al., 1996). Alle specie *Salvia triloba* e *Ruta chalepensis* viene riconosciuto il ruolo di caratteristiche mentre sonodifferenziali di associazione: *Phagnalon saxatile* ssp. *annoticum* entità W. Mediterranea e *Aurinia saxatilis* ssp. *megalocarpa*, largamente diffusa nell'area.

La presenza in Tab. 18 di specie dei *Pistacio-Rhamnetalia alterni*, come *Olea europaea* var. *sylvestris* e *Coronilla valentina* indicano il contatto di queste cenosi con la macchia ad *Euphorbia dendroides* dell'associazione *Coronillo emeroides-Euphorbiatum dendroidis* nella subass. *coronilletosum valentinae*.

Tab. 15 - *Centaureo apulae-Andropogonetum distachyi* ass. nova

Rilievo n.		1	2*	3	4	5		
Località		L	L	L	L	L		
Altitudine in m	280	350	355	350	320			
Esposizione	W	WSW	SW	NNW	SSW	P		
Inclinazione in °	5	5	10	5	5	r		
Ricoprimento in %	90	65	75	80	75	e		
Superficie in m ²	50	50	250	50	80	s.		
<hr/>								
Sp. caratt. e diff. dell'ass. <i>Centaureo apulae-Andropogonetum distachyi</i>								
H caesp	PALEOTROP.	Andropogon distachyus L.	4.4	4.3	5.3	5.3	4.5	5
H bienn	ENDEM.	Centaurea apula Bianco & Brullo	1.2	1.1	1.1	+	1.2	5
G bulb	STENOMEDIT.	Urginea maritima (L.) Baker	1.1	1.2	2.2	.	1.1	4
G rhiz	ENDEM.	Iris pseudopumila Tineo	2.2	1.2	1.2	.	.	3
H caesp	S-EUROP.-SUDSIB.	Diplachne serotina (L.) Link	+	.	.	3.3	2.2	3
H scap	NE-STENOMEDIT.	Stachys salviifolia Ten.	.	+	+	.	.	2
Sp. caratt. e diff. di ordine superiore								
G rhiz	SUBENDEM.	Scorzonera villosa Scop. ssp. columnae (Guss.) Nyman	.	1.2	1.2	.	1.2	3
H caesp	ENDEM.	Stipa austroitalica Martinovsky ssp. austroitalica	.	+	.	.	+	2
H scand	E-STENOMEDIT.	Convolvulus elegantissimus Miller	.	+	+	.	.	2
H scap	EURIMEDIT.	Eryngium campestre L.	1.1	+	.	.	.	2
H scap	EURIMEDIT.	Asperula aristata L. fil. ssp. scabra (Presl) Nym.	.	.	+	+	.	2
H caesp	S-EUROP.-SUDSIB.	Melica transylvanica Schur	.	.	+	.	.	1
Ch rept	ENDEM.	Thymus spinulosus Ten.	.	+	.	.	.	1
H caesp	PALEOTEMP.	Bromus erectus Hudson	.	.	.	1.2	.	1
H caesp	STENOMEDIT.	Stipa bromoides (L.) Dorfl.	2.2	1
H scap	NE-MEDIT.-MONT.	Cardopatium corymbosum (L.) Pers.	+2	1
H scap	W-EUROMEDIT.	Potentilla hirta L.	.	.	+	.	.	1
G rhiz	EUROP.	Carex flacca Schreber	.	.	+	.	.	1
H scap	NE-MEDIT.	Eryngium amethystinum L.	.	.	1.1	.	.	1
H caesp	OROF. NE-MEDIT.	Helictotrichon convolutum (Presl) Henrard	.	.	1.1	.	.	1
Compagne								
T scap	EURIMEDIT.-TURAN.	Dasyptorum villosum (L.) Borbas	2.2	+	1.2	+	.	4
H caesp	PALEOTEMP.	Dactylis glomerata L.	2.2	+	+2	.	+	4
T scap	EURIMEDIT.	Avena barbata Potter	2.2	+	+	.	.	3
H scap	STENOMEDIT.	Galium corrudifolium Vill.	+	1.2	1.2	.	.	3
Ch succ	W-E C-EUROP.	Sedum rupestre L.	.	+2	.	.	+2	2
T scap	STENOMEDIT.	Sideritis romana L.	.	+	+	.	.	2
T scap	STENOMEDIT.	Stipa capensis Thunb.	.	+	1.2	.	.	2
H bienn	STENOMEDIT.	Scabiosa maritima L.	.	.	.	+	+	2
H ros	STENOMEDIT.	Bellis sylvestris Cyr.	.	.	.	1.2	+	2
Sporadiche								
			1	7	2	5	6	

**CHAMAECYTISO SPINESCENTIS-CISTETUM
ERIOCEPHALI** ass. nova
(Tab. 19, holotypus ril. n. 4)

Le garighe nano-fanerofitiche a dominanza di Cisti (*Cistus creticus* ssp. *eriocephalus* *Cistus monspeliensis* e *Cistus creticus* ssp. *creticus*) si rinvengono sui settori sommitali delle gravine o in posizione di conoide di deiezione con massi stabilizzati in aree dove c'è accumulo di suolo.

Costituiscono quasi sempre degli aspetti di degradazione della macchia mediterranea legate all'azione distruttiva del fuoco. Queste entità sono

infatti delle tipiche pirofite attive generative che vengono completamente infiammate dagli incendi e si affidano alla sola propagazione per seme (Trabaud, 1987). Il calore del fuoco provoca la spaccatura dei tegumenti seminali consentendo l'assorbimento d'acqua e indirettamente la loro germinazione (Aronne & Mazzoleni 1989).

La nuova associazione *Chamaecytiso spinescentis-Cistetum eriocephali* si rinviene, prevalentemente sulla sommità del versante orientale della gravina di Laterza e rappresenta una fase successionale regressiva del bosco di Fragno che in queste stazioni si presenta

Tab. 16 - *Stipo austroitalicae-Hyparrhenietum hirtae* ass. nova

Rilievo n.		1	2	3	4	5*	6	7	8		
Località		L	T	L	Le	Le	T	L	T		
Altitudine in m		288	170	200	245	220	138	145	198		
Esposizione		S	NNW	SE	-	-	-	SSE	-		
Inclinazione in °		5	10	3	-	-	-	5	-		
Ricoprimento in %		60	75	70	95	90	80	95	100		
Superficie in m²		50	150	300	50	150	50	300	200		
									s.		
Sp. caratt. e diff. dell'ass. <i>Stipo austroitalicae-Hyparrhenietum hirtae</i>											
H caesp	PALEOTROP.	Hyparrhenia hirta (L.) Stapf	5.4	5.4	4.3	5.5	5.5	5.5	4.3	3.3	8
G bulb	STENOMEDIT.	Urginea maritima (L.) Baker	2.2	3.3	1.1	1.2	2.3	1.2	+	2.2	8
H caesp	ENDEM.	<i>Stipa austroitalica</i> Martinovsky ssp. austroitalica	1.1	+	.2	+	+	.	+	1.2	7
H bienn	ENDEM.	Centaurea apula Bianco & Brullo	3.2	1.1	1.1	.	.	.	1.2	.	4
T scap	EURIMEDIT.-TURAN.	Dasypyrum villosum (L.) Borbas	+	.	.	.	1.2	.2	.	.	3
H caesp	S-EUROP.-SUDSIB.	Melica transylvanica Schur	1.1	.	+	.	.2	.	.	.	3
Sp. caratt. e diff. dell'all. <i>Hyparrhenion hirtae</i> e dell'ord. <i>Hyparrhenietalia hirtae</i> e della cl. <i>Lygeo-Stipetea</i>											
H scap	STENOMEDIT.	Carlina corymbosa L.	1.1	1.2	1.1	.	1.1	+	1.2	.	6
H bienn	STENOMEDIT.	Scabiosa maritima L.	.	1.2	+	.	+	1.2	+	+	6
G rhiz	STENOMEDIT.	Asphodelus microcarpus Salzm. et Viv.	.	+	.	.	+	+	2.2	1.1	5
H scand	E-STENOMEDIT.	Convolvulus elegantissimus Miller	.	.	.	+	+	+	+	.	4
H scap	STENOMEDIT.	Reichardia picroides (L.) Roth	.	+	+	+	1.2	.	.	.	4
T scap	EURIMEDIT.	Pallenis spinosa (L.) Cass.	1.1	.	+	.	+	.	.	.	3
H caesp	STENOMEDIT.	Oryzopsis miliiacea (L.) Asch. et Schweinf.	.	.	.	+	.	.	+	.	2
H scap	EURIMEDIT.	Asperula aristata L. fil. ssp. scabra (Presl) Nym.	.	.	+	.	.	.	+	.	2
H scap	STENOMEDIT.	Elaeoselinum asclepium (L.) Bertol.	.	.	+	.	+	.	.	.	2
H caesp	STENOMEDIT.	Dactylis hispanica Roth	1.2	.	.	.	1
H scap	S-EUROMEDIT.	Ferula communis L.	2.2	1
H scap	EURIMEDIT.	Convolvulus cantabrica L.	.	.	+	1
G bulb	EURIMEDIT.	Leopoldia comosa (L.) Parl.	1.2	1
H scap	NE-STENOMEDIT.	Stachys salvifolia Ten.	.	+	1
G rhiz	E-MEDIT.	Asphodeline lutea (L.) Rchb.	+	.	1
Sp. caratt. dell'ord. <i>Cisto cretici-Ericetalia manipuliflorae</i> e della classe <i>Cisto cretici-Micromerietea julianae</i>											
Ch suffr	STENOMEDIT.	Micromeria graeca (L.) Bentham	.	+	+	1.1	+	+	+	+	7
Ch suffr	STENOMEDIT.	Teucrium polium L.	.	+	+	.	.	.2	.2	.	3
Ch suffr	STENOMEDIT.	Fumana thymifolia (L.) Spach	.	+	1.2	.	2
H scap	STENOMEDIT.	Galium corrudifolium Vill.	1.1	.	.2	2
Ch suffr	S-EUROP.	Helicrysum italicum (Roth) Don ssp. italicum	.	+2	.	2
NP	W-STENOMEDIT.	Cistus creticus L. ssp. eriocephalus	+	.	1
Ch frut	N-STENOMEDIT.	Satureja cuneifolia Ten.	.	.	+	1
NP	STENOMEDIT.	Cistus monspeliensis L.	+	.	1
Ch suffr	W-STENOMEDIT.	Phagnalon rupestre (L.) DC.	1.2	.	1
Ch suffr	N-STENOMEDIT.	Euphorbia spinosa L.	.	.	1.1	1
Ch frut	E-STENOMEDIT.	Coridotherium capitatus (L.) Hofmgg. et Lk.	1.2	.	1
H caesp	S-EUROP.-SUDSIB.	Hippocratea glauca Ten.2	.	.	.	1
Compagne											
H bienn	PALEOTEMP.	Daucus carota L.	.	1.1	+	+	+	1.2	1.2	.	6
G rhiz	SUBENDEM.	Scorzonera villosa Scop. ssp. columnae (Guss.) Nyman	1.2	1.2	2.2	.2	.	.	.	3.2	5
H scap	EURIMEDIT.	Eryngium campestre L.	+	1.1	.	.	1.1	1.2	.	.	4
T scap	EURIMEDIT.	Avena barbata Potter	+	.	.	+	.2	.2	.	.	4
T scap	EURIMEDIT.	Helianthemum salicifolium (L.) Miller	.	.2	.2	.	.	2.2	+	.	4
G bulb	STENOMEDIT.	Allium subhirsutum L.	1.1	.	+	.	1.2	.	.	3.3	4
H scap	EURIMEDIT.	Anthyllis vulneraria L. ssp. praeproperta (Kerner) Bornm.	.	.	.2	+	.2	.	.	.	3
T scap	EURIMEDIT.	Bellardia trixago (L.) All.	.	+	+	.	+	.	.	.	3
T scap	EURIMEDIT.	Lagurus ovatus L.2	2.2	.	1.2	3
T scap	STENOMEDIT.	Stipa capensis Thunb.	+	.	.	+	.2	.	.	.	3
T scap	STENOMEDIT.	Crupina crupinastrum (Moris) Vis.	.	.2	.	.	1.2	2.2	.	.	3
H caesp	PALEOTEMP.	Dactylis glomerata L.	.	+	.	1.2	.	.	.	+	3
G bulb	PALEOTEMP.	Allium sphaerocephalon L.	+	.	+	2
T scap	SUBTROP.	Briza maxima L.	+	.2	.	.	2
T scap	STENOMEDIT.	Brachypodium distachyrum (L.) Beauv.	+	3.2	2
H caesp	STENOMEDIT.	Stipa bromoides (L.) Dorfl.	1.2	+	2
Ch succ	W- E C-EUROP.	Sedum rupestre L.	1.2	.2	2
T scap	STENOMEDIT.	Delphinium halteratum S. et S.	.	.	+	.	.	+	.	.	2
G rhiz	STENOMEDIT.	Asparagus acutifolius L.	+	.	.	1.1	2
Sporadiche											
		0	0	1	2	4	3	4	9		



Fig. 17 - Un'aspetto della gariga pulvinata a Timo capitato dell'associazione *Helianthemo jonii-Thymetum capitati*

piuttosto degradato. Sono specie caratteristiche e differenziali: *Cistus creticus* ssp. *eriocephalus* e *Chamaecytisus spinescens*.

ASYNEUMO LIMONIFOLII-SATUREJETUM MONTANAЕ ass. nova
(Tab. 20, holotypus ril. n. 1)

Gariga bassa a *Satureja montana* ssp. *montana* ed *Asyneuma limonifolium* che si rinviene nei settori rupestri della gravina di Laterza su lastroni di roccia del Calcare di Altamura a quote comprese fra i 340 e i 280 m nel piano bioclimatico mesomediterraneo superiore secco superiore.

Questa vegetazione assume un ruolo di formazione pioniera in quanto rientra nella serie evolutiva primaria di colonizzazione della roccia.

La nuova associazione, proposta con l'epiteto *Asyneumo limonifolii-Saturejetum montanae*, presenta un elevato valore biogeografico in quanto nella combinazione specifica caratteristica è presente *Satureja montana* ssp. *montana* che è specie mediterranea a gravitazione occidentale a cui si associa *Asyneuma limonifolium* elemento eurimediterraneo a gravitazione orientale.

Questa associazione dimostra, quindi, come il territorio della gravina di Laterza rappresenti l'estremo limite occidentale di diffusione del contingente floristico mediterraneo orientale, costituendo una stazione di particolare interesse.

PHAGNALO SAXATILII-SATUREJETUM CUNEIFO-LIAE ass. nova
(Tab. 21, holotypus ril. n. 1)

La gariga a *Satureja cuneifolia* è stata rilevata sui settori meridionali e più caldi del territorio indagato a quote comprese fra i 100 e 150 m, nel piano mesomediterraneo inferiore e si localizza in corrispondenza dei lastroni di roccia quasi piatta del Calcare di Altamura. Nella combinazione specifica caratteristica si associa *Phagnalon saxatile*, una camefita suffruticosa a distribuzione stenomediterranea occidentale.

L'associazione occupa superfici di limitata estensione e si presenta spesso a mosaico con le garighe a *Thymus capitatus* nelle zone in cui il substrato pedogenetico risulta più evoluto. Nei settori più elevati in quota della murgia la gariga a *Satureja cuneifolia* viene ad essere sostituita da quella a *Satureja montana* ssp. *montana* che occupa tutto il settore occidentale delle gravine dell'arco jonico, contribuendo a definire la distribuzione sinarealica di queste due tipologie di vegetazione.

PHAGNALO ANNOTICI-FUMANETUM THYMI-FOLIAE Biondi 1997
(Tab. 22 ril. 1-5)
thymetosum capitati subass. nova
(Tab. 22 ril. 2-5, holotypus, ril n. 3)

Gariga discontinua, costituita da basse camefite che si rinviene su alcuni versanti della gravina di Laterza,

in corrispondenza di ghiaioni semifissati con suoli costituiti per lo più da materiale alloctono frammisto a terra rossa, caratterizzati da una granulometria media e fine.

L'associazione descritta da Biondi (1997) per il Gargano, presenta come specie caratteristiche e differenziali: *Fumana thymifolia*, *Phagnalon rupestre* ssp. *annoticum*, *Micromeria greca*, che sono presenti anche nell'area indagata. Viene individuata la nuova subassociazione *coridothymetosum capitati* differenziata da: *Coridothymus capitatus*, *Asyneuma limonifolium*, *Helianthemum jonium* e *Satureja montana* ssp. *montana*. Questa vegetazione può presentare contatti con le garighe a *Thymus capitatus* nelle aree non soggette ad erosione.

Aggruppamento a *CISTUS MONSPELIENSIS* (Tab. 23)

Le garighe a dominanza di *Cistus monspeliensis* sono ampiamente diffuse su substrati subpianeggianti dei settori sommitali delle gravine, nelle stazioni in cui la vegetazione potenziale climatofila risulta distrutta da incendi ripetuti. Specie guida dell'aggruppamento, oltre a *Cistus monspeliensis*, è *Cistus creticus* ssp. *eriocephalus*, limitatamente ai rilievi effettuati nelle stazioni di Laterza, dove la vegetazione in oggetto si collega dinamicamente all'associazione del *Chamaecytiso spinescens-Cistetum eriocephali* nelle successive fasi di recupero della componente arbustiva.

Aggruppamento a *CISTUS RETICULUS* ssp. *CRETICUS* (Tab. 24)

Nei settori più caldi e meridionali delle gravine, scompare il *Cistus creticus* ssp. *eriocephalus* e si sviluppa il *Cistus creticus* ssp. *creticus*, specie con areale a gravitazione orientale, che forma delle garighe spesso in compenetrazione con gli aggruppamenti a *Cistus monspeliensis*. Non essendo, tuttavia, queste cenosì caratterizzate da alcuna combinazione specifica caratteristica vengono presentate come aggruppamento (Tab. 24).

PRATELLI ANNUALI

La vegetazione xerofila effimera annuale è costituita da prati a ciclo invernale-primaverile caratterizzati fisionomicamente dalla dominanza di un ricco contingente di terofite fra le quali si rinvengono alcune specie perenni. Questo tipo di vegetazione, particolarmente frequente nel bacino Mediterraneo, colonizza i suoli superficiali o comunque poco evoluti

negli stadi finali dei processi di degradazione della vegetazione forestale ed arbustiva o le superfici rocciose di ambienti semiruperti dove assume un ruolo primario di tipo edafofilo. Nel territorio indagato sono state rinvenute due tipologie di pratelli terofitici che si differenziano in rapporto alla loro nitrofilia. Il primo colonizza i substrati non particolarmente ricchi in sostanza organica e sono dominati da *Brachypodium distachy whole* mentre l'altro, dei substrati ricchi in sostanza organica, è dominato da *Stipa capensis*.

MEDICAGO DISCIFORMIS-BRACHYPODIETUM DISTACHYI ass. nova

(Tab. 25, holotypus ril. n. 4)

L'associazione inquadra la vegetazione pioniera terofitica, caratterizzata dalla dominanza di *Brachypodium distachy whole* che si localizza su suoli molto superficiali in corrispondenza di affioramenti rocciosi calcarei, spesso in mosaico con la vegetazione di gariga. Tale vegetazione rappresenta quindi l'ultimo stadio nel processo di degradazione della prateria perenni a *Stipa austroitalica* e ad *Hyparrhenia hirta*.

In Tab 25 vengono riportati i rilievi eseguiti nell'area di studio, nei quali si evidenzia la presenza di quasi tutte le specie caratteristiche e differenziali dell'associazione *Trifolio scabri-Hypochoeridetum achyrophori*, individuata per i settori rupestri della dorsale calcarea dell'Appennino centrale (Biondi *et al.*, 1997) e successivamente rinvenuta anche in alcune zone del Lazio (Scoppola, 1999): *Hypochoeris achyrophorus*, *Linum strictum* ssp. *strictum*, *Trifolium scabrum*, *Linum strictum* ssp. *corymbulosum*, *Lotus ornithopodioides*, *Coronilla scorpioides*, *Medicago truncatula*. Nonostante tali presenze i rilievi in Tab. 25 sono notevolmente più ricchi in specie stenomediterranee, mentre risultano assenti alcune specie individuate nell'Appennino umbro-marchigiano: *Trifolium scabrum*, *Securigera securidaca*, *Xeranthemum inapertum*, *Bupleurum baldense*, *Arenaria leptoclados*, ecc. Tra le entità più significative indicate in Tab. 25 si evidenziano le seguenti che vengono considerate come caratteristiche della nuova associazione *Medicago disciformis-Brachydieta distachyi*: *Trifolium lucanicum*, *Medicago disciformis*, *Medicago truncatula* mentre le seguenti specie sono ritenute differenziali di contesto decisamente più meridionale, quali: *Bromus alopecuroides*, *Urginea maritima*, *Allium lemannii*, *Elaeoselinum asclepium*, etc. La nuova associazione è, pertanto, da ritenersi vicariante, nei territori meridionale della penisola italiana dell'associazione *Trifolio scabri-Hypochoeridetum achyrophori*.

Tab. 17 - *Helianthemum Jonii-Thymetum capitati* ass. nova
variante a *Rosmarinus officinalis* (ml. 11-17)

	1	2	3	4*	5	6	7	8	9	10	11	12	13	14	15	16	17
Rilievo n.	L	L	Le	Le	Le	T	T	L	T	A	A	Le	T	T	T	T	T
Località	L	L	Le	Le	Le	T	T	224	255	200	105	227	160	216	180	160	
Altitudine in m	340	300	229	120	227	227	216	216	216	200	105	227	160	216	180	160	
Esposizione	-	SW	-	-	-	-	WSW	-	W	SSE	S	S	-	NNW	-	NW	P
Inclinazione in °	-	-	-	-	-	5	-	2	5	5	10	-	10	-	3	-	r
Ricoprimento in %	80	80	95	90	100	95	30	20	70	90	70	95	100	100	100	70	e
Superficie in m²	12	4	50	100	100	150	150	160	100	50	20	80	300	150	200	100	s.
<hr/>																	
Ch frut	E-STENOMEDIT.	Thymus capitatus (L.) Hoffmg. et Lk.	4.4	5.4	5.3	5.5	5.4	4.3	3.2	4.3	1.1	1.2	2.2	1.2	3.2	3.3	17
Ch suffr	ENDEM.	Helianthemum Jonium Lacaita	+	.	1.2	1.2	1.2	1.2	1.2	1.1	1.2	1.2	.	+2	1.2	1.1	14
Ch frut	E-STENOMEDIT.	Satureja cuneifolia Ten.	2.2	2.2	1.1	.	.	.	1.2	1.2	8
Ch suffr	STENOMEDIT.	Fumana ericoides (Cav.) Gandog.	+2	2.2	2.2	3
Ch suffr	ENDEM.	Micromeria canescens (Guss.) Bentham	2	.
Ch suffr	STENOMEDIT.	Micromeria juliana (L.) Bentham	+	1
<hr/>																	
variente a <i>Rosmarinus officinalis</i>	Rosmarinus officinalis L.	.	.	1.2	.	+	+	1.2	1.2	4.3	4.3	4.4	5.5
NP	STENOMEDIT.	4.3	4.3	4.4	5.5
<hr/>																	
Sp. caratt. e diff. dell'ass. <i>Helianthemo Jonii-Cordiothymetum capitati</i>																	
Fumana thymifolia (L.) Spach	1.1	3.3	3.2	2.2	2.2	3.3	2.2	2.2	3.2	+	+	+	.
Teucrium polium L. ssp. capitatum (L.) Arcang.	1.2	+	1.2	+2	1.2	+2	.	.	1.2	1.2	10
Cistus monspeliensis L.	.	.	1.2	+	+	+	2.1	2.3	4.3	2.3	9
Cistus salviifolius L.	.	.	.	+	.	+	.	+	1.1	1.2	.	5
Phagnalon rupreste (L.) DC. ssp. annoticum (Jordan) Pign.	1.1	.	.	.	+2	+2	.	+2
Micromeria graeca (L.) Bentham ssp. graeca	.	.	.	1.2	1.2	4
Asyneuma limonifolium (L.) Janchen	+2	1.2	+	.	.	4
Chamaesyce spinescens (Presl) Rothm.	.	1.2	1.2	+	3
Sedum sediforme (Jacq.) Pau	.	+2	2
Elaeoselinum asclepium (L.) Bertol.	.	.	+	2
Alyssum montanum L.	+2
Dorycnium hirsutum (L.) Ser.	1
Ononis pusilla L.	+	1
Ruta chalepensis L.	1
Cistus creticus L. ssp. creticus	3.3	1
<hr/>																	
Compagine																	
Linum strictum L. ssp. strictum	+	1.2	+	.	.	1.1	+	.	1.2	1.2	+2	.	.	.	+	.	8
Anthyllis vulneraria L. ssp. maura (Beck) Linbd.	.	.	+	+2	1.1	+	.	+	2	7	
Pistacia lentiscus L.	1.1	3.2	+	1.2	6

Ch succ	W-E-C-EUROP.	Sedum rupestre L.	1.2	6
H caesp	CENTRO-E-S-EUROP.	Hippocrepis comosa L.	.+2	.
P scap	STENOMEDIT.	Pinus halepensis Miller	+2.2	22
G bulb	STENOMEDIT.	Urginea maritima (L.) Baker	1.1	4
T scap	STENOMEDIT.	Crupina crupinastrum (Moris) Vis.	+	.
T scap	E-MEDIT.-TURAN.	Ononis reclinata L.	1.1	4
H caesp	ENDDEM.	Stipa austroitalica Martinovský cf.	+	.
T scap	EURIMEDIT.	Odonites lutea (L.) Clavir. (cf)	1.2	4
H caesp	EURIMEDIT.	Petrohragia saxifraga (L.) Link	+2	.
G bulb	STENOMEDIT.	Allium subhirsutum L.	+	.
T Par	EURASIA-T.	Cuscutha epithymum (L.) L. (cfr.)	1.2	3
H scap	EURIMEDIT.	Thesium divaricatum Jan	1.2	3
T scap	EURIMEDIT.	Lagurus ovatus L.	+2	3
T rept	EURIMEDIT.	Anagallis arvensis L.	+	.
T scap	STENOMEDIT.	Hypochoeris achyrophorus L.	+	.
P caesp	STENOMEDIT.	Olea europaea L. var. sylvestris	1.1	2
P caesp	STENOMEDIT.	Daphne gnidium L.	1.2	2
H scap	PALEOTEMP.	Sanguisorba minor Scop.	+	.
H scap	EURIMEDIT.	Dianthus sylvestris Wulfen ssp. garganicus (Grande) Pign.	+2	1.2
H scap	STENOMEDIT.	Reichardia picroides (L.) Roth	+	.
T scap	EURIMEDIT.	Avena barbata Potter	+	2
T scap	NE-EURIMEDIT.	Crepis neglecta L.	+	2
H bienne	PALEOTEMP.	Daucus carota L.	+	2
Ch suffr	SE-EUROP.	Onosma echiodoides L.	1.2	2
H caesp	S-EUROP.-SUDSIB.	Hippocrepis glauca Ten.	+2	2
H scap	EURIMEDIT.	Asperula cynanchica L.	+2	3
H scap	EURIMEDIT.	Psoralea bituminosa L.	+	2
H scap	STENOMEDIT.	Carlina corymbosa L.	1.2	+
T scap	STENOMEDIT.	Sideritis romana L.	+	2
T scap	NW-MEDIT.-MONT.	Minuartia mediterranea (Link) Malý	+	+2
T scap	STENOMEDIT.	Hippocrepis ciliata Willd.	1.2	2
T scap	EURIMEDIT.	Linum trigynum L.	+	2
H scap	EURASIA-T.	Vicia cracca L.	+2	2
T scap	W-MEDIT.	Ononis viscosa L.	1.1	2
H scap	EURIMEDIT.	Eryngium campestre L.	+	2
P caesp	STENOMEDIT.	Pyrus amygdaliformis Vill.	+	2
H caesp	PALEOTEMP.	Poa bulbosa L.	+	2
G bulb	STENOMEDIT.	Ornithogalum gussonei Ten.	+	2
		Sporadiche	5	1
			7	2
			0	0
			2	2
			3	0
			0	4
			1	2

Tab. 18 - *Ruto chalepensis-Salvietum trilobae* ass. nova

		Rilievo n.	1	2	3	4	5*
		Località	T	T	T	T	Le
		Altitudine in m	150	196	198	235	200
		Esposizione	SE	-	-	-	E P
		Inclinazione in °	40	-	-	-	30 r
		Ricoprimento in %	90	100	100	90	90 e
		Superficie in m²	80	100	400	100	100 s.
<hr/>							
		Sp. caratt. e diff. dell'ass. <i>Ruto chalepensis-Salvietum trilobae</i>					
P caesp	E-STENOMEDIT.	Salvia triloba L. fil.	4.4	4.3	5.3	5.5	5.5 5
Ch suffr	S-STENOMEDIT.	Ruta chalepensis L.	3.3	3.2	2.2	2.2	3.3 5
Ch suffr	W-STENOMEDIT.	Phagnalon rupestre (L.) DC. ssp. annoticum (Jordan) Pign.	1.2	1.2	1.2	+	+
Ch suffr	NE-MEDIT.-MONT.	Aurinia saxatilis (L.) Desv. ssp. megalocarpa (Hausskn.) Dundley	+	+.2	.	.	.
<hr/>							
		Sp. caratt. e diff. dell'all. <i>Cisto -ericion</i> dell'ord. <i>Cisto cretici-Ericetalia manipuliflorae</i> e della classe <i>Cisto cretici-Micromerietea julianae</i>					
Ch suffr	STENOMEDIT.	Micromeria graeca (L.) Bentham ssp. graeca	1.2	+.2	.	1.2	+
NP	E-MEDIT.	Cistus creticus L. ssp. creticus	1.2	.	.	.	1.2 2
NP	STENOMEDIT.	Rosmarinus officinalis L.	.	.	.	+	.
<hr/>							
		Specie caratt. dell'ord. <i>Pistacio-Rhamnetalia alaterni</i> e della cl. <i>Quercetea ilicis</i>					
P caesp	STENOMEDIT.	Olea europaea L. var. sylvestris	2.3	2.2	2.2	2.2	+
NP	SW-STENOMEDIT.	Coronilla valentina L.	.	+	1.2	1.2	.
P caesp	S-STENOMEDIT.	Pistacia lentiscus L.	+	+.2	.	.	2.2 3
Ch frut	STENOMEDIT.	Prasium majus L.	1.2	1.2	.	1.1	.
P scap	STENOMEDIT.	Pinus halepensis Miller	.	.	1.1	+	.
P caesp	STENOMEDIT.	Phillyrea media L.	+.2	.	.	+	.
NP	STENOMEDIT.	Asparagus acutifolius L.	+
P caesp	EURIMEDIT.	Rhamnus alaternus L.	+
NP	STENOMEDIT.	Euphorbia dendroides L.	.	1.2	.	.	.
P caesp	EURIMEDIT.	Pistacia terebinthus L.	+
P caesp	EURIMEDIT.	Juniperus oxycedrus L. ssp. macrocarpa (S. et S.) Ball	.	1.1	.	.	1
<hr/>							
		Compagne					
G bulb	STENOMEDIT.	Urginea maritima (L.) Baker	+	.	2.2	1.2	1.2 4
H scap	S-EURIMEDIT.	Ferula communis L.	.	.	1.1	+	+.2 3
T scap	STENOMEDIT.	Sonchus tenerimus L.	.	+	+	.	+
T scap	STENOMEDIT.	Brachypodium distachyrum (L.) Beauv.	+	+.2	+.2	.	.
T scap	EURIMEDIT.-TURAN.	Dasypyrum villosum (L.) Borbas	.	+	.	.	+
H caesp	STENOMEDIT.	Oryzopsis milacea (L.) Asch. et Schweinf.	+	.	.	.	1.2 2
G bulb	EURIMEDIT.	Leopoldia comosa (L.) Parl.	+	.	1.1	.	.
H caesp	EURIMEDIT.	Petrohragia saxifraga (L.) Link	+	.	.	+	.
<hr/>							
		Sporadiche	4	1	1	6	7

ONOBRYCHIDO AEQUIDENTATAE- STIPETUM CAPENSIS ass. nova

(Tab. 25, holotypus ril. n. 10)

Associazione subnitrofila costituita per lo più da terofite a fioritura primaverile che si rinviene diffusamente sui pianori più assoltati, su litotipi calcarei e calcarenitici erosi.

Costituisce una tappa di sostituzione della vegetazione ad *Hyparrhenia hirta* per disturbo antropico e leggera pressione del pascolo.

Sono specie caratteristiche e differenziali della nuova associazione: *Stipa capensis*, *Onobrychis aequidentata*, *Linaria reflexa*, *Carduus corymbosus*, *Calendula arvensis* L. ssp. *hydruntina*.

La vegetazione in oggetto rientra nell'ordine

Brachypodietalia distachyi, nell'ambito del quale è stata individuata per la Penisola iberica l'alleanza *Stipion capensis*, alleanza nella quale è stata inserita l'associazione *Aveno sterilis-Stipetum capensis* Biondi & Mossa 1992, descritta per i calacri di Capo S. Elia in Cagliari.

Per l'inquadramento sintassonomico delle associazioni descritte, riprendendo quanto proposto da Rivas Martinez *et al.* (2002), nell'ambito della classe *Tuberarietea guttatae* e dell'ordine *Brachypodietalia distachyi*, si propone, sulla base della tabella sinottica (Tab. 25a), l'istituzione della nuova alleanza *Hypochoerion achyrophori*, della quale l'associazione tipo è il *Trifolio scabri-Hypochoeridetum achyrophori* Lapraz ex Biondi, Izco, Balleli, & Formica 1997. Sono

Tab. 19 - *Chamaecytiso spinescens-Cistetum eriocephali* ass. nova

Rilievo n.		1	2	3	4*	5	6
Località		L	L	L	L	L	L
Altitudine in m		300	335	290	340	310	300
Esposizione		NNE	-	N	WSW	WSW	WSW
Inclinazione in °		5	-	10	10	5	3
Ricoprimento in %		100	90	100	100	80	90
Superficie in m ²		100	200	80	80	20	50
							s.
<hr/>							
NP	STENOMEDIT.	Sp. caratt. e diff. <i>Chamaecytiso spinescens-Cistetum eriocephali</i>					
Ch suffr	ANFIADRIATICA	Cistus creticus L. ssp. eriocephalus (Viv.) Greuter & Burdet	5.5	1.1	3.2	5.4	4.3
		Chamaecytisus spinescens (Presl) Rothm.	+	3.2	4.4	1.2	1.2
						2.2	6
<hr/>							
Ch suffr	STENOMEDIT.	Sp. caratt. e diff. dell'all. <i>Cisto -ericion</i> dell'ord. <i>Cisto cretici-Ericetalia manipuliflorae</i>					
		e della classe <i>Cisto cretici-Micromerietea julianae</i>					
Ch suffr	STENOMEDIT.	Micromeria graeca (L.) Bentham ssp. graeca	.	.	+	1.2	.2
NP	STENOMEDIT.	Cistus monspeliensis L.	.	.	.	1.1	1.2
Ch suffr	STENOMEDIT.	Teucrium polium L. ssp. capitatum (L.) Arcang.	.	.	.	+.2	+.2
H scap	STENOMEDIT.	Elaeoselinum asclepium (L.) Bertol.	1.2	+.2	.	+	.
Ch suffr	EURIMEDIT.	Dorycnium hirsutum (L.) Ser.	.	2.2	+	+	.
Ch suffr	ENDEM.	Helianthemum jonium Lacaita	+.2	.	.	.	+
NP	E-MEDIT.	Cistus creticus L. ssp. creticus	.	1.2	.	.	.
Ch frut	E-STENOMEDIT.	Thymus capitatus (L.) Hofmgg. et Lk.	.	.	.	+	.
P caesp	SE-EUROP.	Rhamnus saxatilis Jacq. ssp. infectorius (L.) P. Fourn.	.	1.2	.	.	.
Ch suffr	STENOMEDIT	Fumana thymifolia (L.) Spach	.	.	.	1.2	.
NP	EURIMEDIT.	Osyris alba L.	.	.	1.2	.	.
<hr/>							
Compagne							
P caesp	S-STENOMEDIT.	Pistacia lentiscus L.	1.2	.	+	1.2	.2
H caesp	OROF. NE-MEDIT.	Helictotrichon convolutum (Presl) Henrard	.	.	.	1.2	+.2
H caesp	STENOMEDIT.	Stipa bromoides (L.) Doerfl.	.	.	+	.	+
T scap	STENOMEDIT.	Linum strictum L. ssp. strictum	+.2
H caesp	PALEOTEMP.	Dactylis glomerata L.	.	.	+	.	+
T scap	MEDIT. ATL.(STENO)	Gastridium ventricosum (Gouan) Sch. et Th.	.	.	.	+	+
<hr/>							
Sporadiche							
			4	8	11	6	9
						0	

Tab. 20 - *Asyneumo limonifolii-Saturejetum montanae* ass. nova

Rilievo n.		1*	2	3	4	5
Località		L	L	L	L	L
Altitudine in m		340	330	300	435	445
Esposizione		SSE	S	SW	NNW	-
Inclinazione in °		5	20	90	20	r
Ricoprimento in %		75	80	70	70	e
Superficie in m ²		10	15	10	50	s.
<hr/>						

Ch suffr	W-MEDIT.-MONT.	Sp. caratt. e diff. dell'ass. <i>Asyneumo limonifoli-Saturejetum montanae</i>					
H scap	NE-EURIMEDIT.	Satureja montana L. ssp. montana	4.2	4.4	4.2	4.4	5.5
		Asyneuma limonifolium (L.) Janchen	1.2	1.2	.	+	1.2
						1.2	4
<hr/>							
Ch suffr	W-STENOMEDIT.	Sp. caratt. e diff. dell'all. <i>Cisto -ericion</i> dell'ord. <i>Cisto cretici-Ericetalia manipuliflorae</i>					
		e della classe <i>Cisto cretici-Micromerietea julianae</i>					
Ch suffr	STENOMEDIT.	Phagnalon rupestre (L.) DC. ssp. annoticum (Jordan) Pign.	1.2	2.2	.	2.2	1.2
Ch suffr	STENOMEDIT.	Teucrium polium L. ssp. capitatum (L.) Arcang.	+.2	.	.	1.2	1.1
Ch suffr	STENOMEDIT.	Micromeria graeca (L.) Bentham ssp. graeca	+	.	.	.	2
Ch suffr	STENOMEDIT.	Fumana thymifolia (L.) Spach	1.2	.	.	.	2
H scap	STENOMEDIT.	Elaeoselinum asclepium (L.) Bertol.	+	.	.	+	.
Ch frut	E-STENOMEDIT.	Coridothymus capitatus (L.) Hofmgg. et Lk.	.	.	3.2	.	1
Ch suffr	ENDEM.	Helianthemum jonium Lacaita	.	.	1.2	.	1
Ch rept	ENDEM.	Thymus spinulosus Ten.	.	.	.	+	.
						1	
<hr/>							
Ch succ	STENOMEDIT.	Compagne					
T scap	STENOMEDIT.	Sedum sediforme (Jacq.) Pau	+.2	1.2	.	.	1.2
H caesp	ENDEM.	Sideritis romana L.	+	+	.	+	.
Ch frut	STENOMEDIT.	Stipa austroitalica Martinovsky ssp. austroitalica	+	.	.	+	+
H scap	EURIMEDIT.	Prasium majus L.	1.2	+	.	.	2
G bulb	STENOMEDIT.	Asperula aristata L. fil. ssp. scabra (Presl) Nym.	.	1.2	.	+	.
T scap	STENOMEDIT.	Urginea maritima (L.) Baker	.	+	.	1.1	.
H caesp	STENOMEDIT.	Linum strictum L. ssp. strictum	+	.	.	.	2
		Petrorhagia saxifraga (L.) Link ssp. gasparrinii (Guss.) Pign.	.	.	.	+	+
						+	2
<hr/>							
Ch suffr	STENOMEDIT.	Sporadiche	8	4	0	1	4

Tab. 21 - *Phagnalo saxatilii-Saturejetum cuneifoliae* ass. nova

Rilievo n.	1*	2	3	4
Località	Le	T	L	L
Altitudine in m	120	160	195	145
Esposizione	ESE	SSE	WSW	NNE
Inclinazione in °	10	-	15	5
Ricoprimento in %	70	80	90	90
Superficie in m ²	100	80	150	50
				s.

Ch frut	N-STENOMEDIT.	Sp. caratt. e diff. dell'ass. <i>Phagnalo saxatilii-Saturejetum cuneifoliae</i>					4
			4.4	4.3	5.5	4.4	
Ch suffr	W-STENOMEDIT.	+	+	+.2	.	3	
Sp. caratt. e diff. dell'all. <i>Cisto -ericion</i> dell'ord. <i>Cisto cretici-Ericetalia manipuliflorae</i> e della classe <i>Cisto cretici-Micromerietea julianae</i>							
NP	STENOMEDIT.	Rosmarinus officinalis L.	+	1.2	+	.	3
Ch frut	E-STENOMEDIT.	Coridothymus capitatus (L.) Hofmgg. et Lk.	+	1.2	.	.	2
Ch suffr	ENDEM.	Helianthemum jonium Lacaita	3.3	+.2	.	.	2
Ch suffr	STENOMEDIT.	Teucrium polium L. ssp. capitatum (L.) Arcang.	1.1	.	.	+.2	2
Ch suffr	STENOMEDIT.	Micromeria graeca (L.) Bentham ssp. graeca	1.1	.	+	.	2
Ch suffr	STENOMEDIT	Fumana thymifolia (L.) Spach	1.2	+	.	.	2
NP	STENOMEDIT.	Cistus salviifolius L.	+	.	.	2.2	2
Ch suffr	STENOMEDIT.	Fumana ericooides (Cav.) Gandog.	.	.	1.2	.	1
NP	STENOMEDIT.	Cistus monspeliensis L.	+	.	.	.	1
Ch suffr	W-STENOMEDIT.	Phagnalon rupestre (L.) DC. ssp. annoticum (Jordan) Pign.	2.2	.	.	.	1
H scap	STENOMEDIT.	Elaeoselinum asclepium (L.) Bertol.	.	.	.	1.2	1
Ch suffr	EURIMEDIT.	Dorycnium hirsutum (L.) Ser.	+	.	.	.	1
H scap	EURIMEDIT.	Ononis pusilla L.	+	.	.	.	1
NP	STENOMEDIT.	Cistus creticus L. ssp. eriocephalus (Viv.) Greuter & Burdet	.	.	.	1.2	1
Ch frut	STENOMEDIT.	Teucrium flavum L.	+	.	.	.	1
Ch suffr	N-EURIMEDIT.	Helichrysum italicum (Roth) Don	+	.	.	.	1
Compagne							
P scap	STENOMEDIT.	Pinus halepensis Miller	+	.	.	+	2
H caesp	EURIMEDIT.	Petrorhagia saxifraga (L.) Link	.	+	+	.	2
G bulb	PALEOTEMP.	Allium sphaerocephalon L.	.	+	+	.	2
NP	EURASIAT.	Capparis spinosa L.	.	+	+	.	2
Sporadiche							
			9	4	7	10	

specie caratteristiche dell'alleanza: *Hypochoeris achyrophorus*, *Ononis reclinata*, *Lotus ornithopodiooides*, *Coronilla scorpioides*. La nuova alleanza vicaria, quindi, nel mediterraneo centrale europeo l'alleanza *Brachypodium distachyi* Rivas-Martinez, 1978 nom. mut. propos. Rivas Martinez *et al.* (2002), propria del mediterraneo occidentale.

In Tab. 25a sono mese in evidenza due suballeanze: *Hypochoerion achyrophori*, la tipica, dei pratelli terofitici settentrionali, differenziati soprattutto da specie eurimediterranee, e *Ononidion ornithopodiooides*, più termofila e meridionale, differenziata da alcune specie termomediterranee.

Sono specie differentiali della prima suballeanza: *Arenaria leptoclados*, *Trifolium scabrum* ssp. *scabrum*, *Cerastium semidecandrum* e *Galium parisiense* mentre sono differentiali della seconda: *Ononis ornithopodiooides*, *Trifolium lucanicum*, *Bromus fasciatus*, *Odontites lutea*, *Ammoides pusilla*, *Romulea bulbocodium* e *Convolvulus elegantissimus*.

Dell'alleanza *Hypochoerion achyrophori* si ritiene

facciano parte tutte le associazioni indicate in Tab. 25a e precisamente:

suballeanza tipica *Hypochoerion achyrophori*
Trifolio scabri-Hypochoeridetum achyrophori

Lapraz ex Biondi, Izco, Balleli, & Formica 1997

securigeretosum securidacae Biondi, Izco,

Balleli, & Formica 1997,

alysettosum simplicis Biondi, Izco, Balleli, &

Formica 1997

linarietosum simplicis Scoppola 1999

Saxifrago tridactylites-Hypochoeridetum

achyrophori Biondi, Izco, Balleli, & Formica 1997

Hypochoerido achyrophori-Stipetum capensis

Scoppola 1999

suballeanza *Ononidion ornithopodiooides*

Medicago disciformis-Brachypodietum distachyi

ass. nova hoc loco

Onobrychido aequidentatae-Stipetum capensis ass.

nova hoc loco

Le due associazioni *Hypochoerido achyrophori*-*Stipetum capensis* e *Onobrychido aequidentatae*-

Tab. 22 - *Phagnalo annotici-Fumanetum thymifoliae* Biondi 1997
coridothymetosum capitati subass. nova (rill. 2-5 holotypus, ril n. 3)

	Rilievo n.	1	2	3*	4	5
	Località	L	L	L	L	L
	Altitudine in m	325	340	343	339	342
	Esposizione	SSW	S	SSW	NE	W
	Inclinazione in °	15	10	20	30	r
	Ricoprimento in %	75	95	90	100	70
	Superficie in m²	140	80	80	40	50
						s.
<hr/>						
Sp. caratt. e diff. dell'ass. <i>Phagnalo annotici-Fumanetum thymifoliae</i>						
Ch suffr	W-STENOMEDIT.	4.3	4.4	5.4	5.5	4.4
Ch suffr	STENOMEDIT	3.2	2.2	2.2	3.3	3.3
Ch suffr	STENOMEDIT.	+	1.2	+.2	+	1.2
Sp. diff. della subass. <i>coridothymetosum capitati</i>						
Ch frut	E-STENOMEDIT.	.	1.2	+	1.2	+
H scap	NE-EURIMEDIT.	.	+	.	1.1	2
Ch suffr	ENDEM.	.	1.2	.	+.2	2
Ch suffr	W-MEDIT.	.	1.1	.	.	1
Sp. caratt. e diff. dell'all. <i>Cisto -ericion</i> dell'ord. <i>Cisto cretici-Ericetalia manipuliflorae</i> e della classe <i>Cisto cretici-Micromerietea julianae</i>						
H scap	STENOMEDIT.	1.1	+	.	+	.
NP	STENOMEDIT.	.	1.2	.	+	+
NP	E-MEDIT.	1.2	.	+	.	2
Ch suffr	STENOMEDIT.	1.2	.	1.2	.	.
NP	STENOMEDIT.	.	1.2	+	+	.
Ch suffr	ANFIADRIATICA	1.2	.	.	.	1.2
Ch rept	ENDEM.	1.2	.	.	.	2
Ch suffr	STENOMEDIT.	.	1.1	.	.	1
P caesp	SE-EUROP.	.	1.1	+	.	1
Compagne						
H caesp	ENDEM.	.	+	1.2	.	+
H bienn	ENDEM.	.	1.1	+	.	+
G rhiz	NE-EURIMEDIT.	+.2	+	.	.	2
H scap	EURIMEDIT.	.	1.2	+	+	.
H scap	STENOMEDIT.	.	1.2	+	.	2
H Scand	E-STENOMEDIT.	+.2	.	1.2	.	2
Ch succ	W-E C-EUROP.	.	1.2	+	+	.
H caesp	PALEOTROP.	.	1.2	+	.	2
T scap	EURIMEDIT.	.	1.2	+	.	2
H scap	EURIMEDIT.	.	1.2	+	.	1.2
G rhiz	NE-STENOMEDIT.	.	1.2	+	.	2
G rhiz	ENDEM.	.	1.2	+	.	2
Sporadiche						
		16	5	4	3	4

Stipetum capensis sono più nitrofile delle altre e presentano pertanto una consistente componente di specie della classe *Stellarietea mediae*. Ciò nonostante, al contrario di quanto indicato in Scoppola (1999), non si ritiene che vadano riferita a tale classe in quanto si mantiene costante la presenza di specie della classe *Tuberarietea guttatae*, dell'ordine *Brachypodietalia distachyi* e della nuova alleanza proposta. All'alleanza *Stipion capensis* Br.-Bl. & O. Bolós et Izco 1974 viene riconosciuta infatti una distribuzione

Mediterraneo occidentale, in base alle specie caratteristiche indicate in Rivas Martinez *et al.* (2002) che non risultano sostanzialmente presenti in Italia.

VEGETAZIONE RUPICOLA

La vegetazione delle rupi calcaree è rappresentata da associazioni molto specializzate cismofitiche, che colonizzano i calcari compatti e debolmente

Tab. 23 - Aggruppamento a *Cistus monspeliensis*

		Rilievo n.	1	2	3	4	5	6	
		Località	Le	Am	L	Le	L	L	
		Altitudine in m	150	107	336	227	330	340	
		Esposizione	-	NE	ENE	-	-	S	P
		Inclinazione in °	-	20	3	-	-	5	r
		Ricoprimento in %	100	100	80	100	100	90	e
		Superficie in m²	100	250	200	100	80	80	s.
<hr/>									
		Aggr. a <i>Cistus monspeliensis</i>							
NP	STENOMEDIT.	<i>Cistus monspeliensis</i> L.	4.4	5.4	5.5	5.5	5.5	4.3	6
NP	STENOMEDIT.	<i>Cistus creticus</i> L. ssp. <i>eriocephalus</i> (Viv.) Greuter & Burdet	1.2	3.2	2
<hr/>									
Sp. caratt. e diff. dell'all. <i>Cisto -ericion</i> dell'ord. <i>Cisto cretici-Ericetalia manipuliflorae</i> e della classe <i>Cisto cretici-Micromerietea julianae</i>									
Ch suffr	W-STENOMEDIT.	<i>Phagnalon rupestre</i> (L.) DC. ssp. <i>annoticum</i> (Jordan) Pign.	+.2	.	+.2	1.2	+	.	4
Ch frut	E-STENOMEDIT.	<i>Thymus capitatus</i> (L.) Hofmgg. et Lk.	1.2	.	.	+.2	1.2	1.2	4
Ch suffr	STENOMEDIT.	<i>Fumana thymifolia</i> (L.) Spach	+.2	.	.	+.2	.	.	2
NP	STENOMEDIT.	<i>Rosmarinus officinalis</i> L.	2.2	+	2
NP	STENOMEDIT.	<i>Cistus salvifolius</i> L.	+	.	.	+	.	.	2
Ch suffr	STENOMEDIT.	<i>Micromeria graeca</i> (L.) Bentham ssp. <i>graeca</i>	.	.	.	+	.	.	1
Ch suffr	STENOMEDIT.	<i>Teucrium polium</i> L. ssp. <i>capitatum</i> (L.) Arcang.	+	1
H scap	STENOMEDIT.	<i>Elaeoselinum asclepium</i> (L.) Bertol.	+	1
Ch suffr	EURIMEDIT.	<i>Dorycnium hirsutum</i> (L.) Ser.	.	1.2	1
P caesp	SE-EUROP.	<i>Rhamnus saxatilis</i> Jacq. ssp. <i>infectorius</i> (L.) P. Fourn.	+	1
Ch suffr	W-MEDIT.-MONT.	<i>Satureja montana</i> L. ssp. <i>montana</i>	.	.	+.2	.	.	.	1
Ch suffr	STENOMEDIT.	<i>Micromeria juliana</i> (L.) Bentham	.	.	+.2	.	.	.	1
Ch suffr	W-STENOMEDIT.	<i>Phagnalon saxatile</i> (L.) Cass.	+.2	1
Ch frut	N-STENOMEDIT.	<i>Satureja cuneifolia</i> Ten.	1.2	1
Ch suffr	ANFIADRIATICA	<i>Chamaecytisus spinescens</i> (Presl) Rothm.	.	.	+	.	.	.	1
<hr/>									
		Compagne							
P caesp	S-STENOMEDIT.	<i>Pistacia lentiscus</i> L.	.	2.2	1.2	+.2	+	.	4
P caesp	STENOMEDIT.	<i>Olea europaea</i> L. var. <i>sylvestris</i>	+	.	1.2	+	.	.	3
H caesp	STENOMEDIT.	<i>Stipa bromoides</i> (L.) Doerfl.	.	.	1.2	.	+	.	2
G bulb	STENOMEDIT.	<i>Allium subhirsutum</i> L.	+.2	1.2	2
H caesp	OROF. NE-MEDIT.	<i>Helictotrichon convolutum</i> (Presl) Henrard	+.2	1.2	2
P caesp	EURIMEDIT.	<i>Rhamnus alaternus</i> L.	.	+	.	.	+.2	.	2
P lian	EURIMEDIT.	<i>Clematis flammula</i> L.	.	2.2	+	.	.	.	2
H caesp	STENOMEDIT.	<i>Oryzopsis milacea</i> (L.) Asch. et Schweinf.	.	+.2	.	+	.	.	2
H bienn	ENDEM.	<i>Centaurea apula</i> Bianco & Brullo	+	1.2	2
H scap	EURIMEDIT.	<i>Anthyllis vulneraria</i> L. ssp. <i>praepropria</i> (Kerner) Bornm.	+	.	.	.	1.2	.	2
H scap	EURASIAST.	<i>Vicia cracca</i> L.	+.2	+	2
G rhiz	NE-STENOMEDIT.	<i>Asphodeline lutea</i> (Scop.) Rchb.	.	.	.	+	+	+	2
<hr/>									
		Sporadiche							
			6	13	7	1	1	2	

fessurati del Cretaceo, dove difficilmente altri tipi di vegetazione hanno la possibilità di insediarsi.

Dal punto di vista floristico essa risulta caratterizzata per lo più da camefite ed emicriptofite, raramente da nanofanerofite e geofite, le quali sono abbastanza esclusive di questi particolari habitat rupestri. Si tratta, quindi, di formazioni edafofile ricche di elementi endemici o comunque rari, talora estremamente localizzati e spesso ad affinità orientale.

AURINIO-CENTAURETUM APULAE Bianco, Brullo, Pignatti E. & Pignatti S. 1988 (Tab. 26)

Si tratta di un'associazione endemica delle gravine murgiane. Fra le specie caratteristiche di questa si rinvengono nell'area in studio: *Campanula versicolor*,

Scrophularia lucida e *Carum multiflorum* (Tab. 26). L'assenza in questa di *Centaurea apula*, emicriptofita biennale endemica, non inficia l'attribuzione all'associazione in quanto la specie è stata rinvenuta sulle pareti della gravina di Laterza da Bianco *et al.* (1988).

L'associazione *Aurinio-Centauretum apulae* si inquadra nell'alleanza *Campanulion versicoloris* e nell'ordine *Onosmetalia frutescentis*, sintaxa descritta da Quezel (1964) per la Grecia, che nella Puglia centro-meridionale raggiungono l'estremo limite occidentale del loro areale.

CYMBALARIO MURALIS-TRACHELIETUM COERULEI Rivas Martinez 1969 *adiantetosum* Caneva, De Marco, Dinelli & Vinci, 1995 (Tab. 27)

Associazione moderatamente edafa-igrofila che si localizza in stazioni umide più o meno ombreggiate,

Tab. 24 - Aggruppamento a *Cistus creticus* L. ssp. *creticus*

Rilievo n.		1	2	3	4	5
Località		L	L	L	Le	L
Altitudine in m		340	237	330	150	335
Esposizione		-	SE	SSE	E	SSW
Inclinazione in °		-	20	30	30	r
Ricoprimento in %		90	70	80	90	e
Superficie in m ²		8	50	20	100	s.
<hr/>						
Aggr. a <i>Cistus creticus</i> L. ssp. <i>creticus</i>						
NP	E-MEDIT.	Cistus creticus L. ssp. <i>creticus</i>	5.4	5.5	4.5	5
NP	STENOMEDIT.	Cistus monspeliensis L.	.	.	.	2
Sp. caratt. e diff. dell'all. <i>Cisto -ericion</i> dell'ord. <i>Cisto cretici-Ericetalia manipuliflorae</i> e della classe <i>Cisto cretici-Micromerietea julianae</i>						
Ch suffr	STENOMEDIT.	Micromeria graeca (L.) Bentham ssp. <i>graeca</i>	1.2	.	+	1.2
Ch suffr	W-STENOMEDIT.	Phagnalon rupestre (L.) DC. ssp. <i>annoticum</i> (Jordan) Pign.	.	+2	+2	.
Ch suffr	STENOMEDIT.	Teucrium polium L. ssp. <i>capitatum</i> (L.) Arcang.	+2	.	+2	.
P caesp	SE-EUROP.	Rhamnus saxatilis Jacq. ssp. <i>infectorius</i> (L.) P. Fourn.	.	.	1.2	.
Ch suffr	ENDEM.	Helianthemum joniun Lacaita	.	.	.	+
Ch suffr	W-MEDIT.-MONT.	Satureja montana L. ssp. <i>montana</i>	.	+2	+	.
H scap	NE-EURIMEDIT.	Asyneuma limonifolium (L.) Janchen	.	.	+	.
H scap	STENOMEDIT.	Elaeoselinum asclepium (L.) Bertol.	.	.	.	+
Ch suffr	STENOMEDIT	Fumana thymifolia (L.) Spach	.	.	.	+2
NP	EURIMEDIT.	Osyris alba L.	.	.	3.3	.
Ch suffr	STENOMEDIT.	Micromeria juliana (L.) Bentham	.	+2	.	.
Ch suffr	W-STENOMEDIT.	Phagnalon saxatile (L.) Cass.	.	.	.	1.1
P caesp	E-STENOMEDIT.	Salvia triloba L. fil.	.	.	.	1.2
NP	N-STENOMEDIT.	Phlomis fruticosa L.	.	+2	.	.
Compagne						
H caesp	STENOMEDIT.	Stipa bromoides (L.) Doerfl.	.	1.2	1.2	+2
G bulb	STENOMEDIT.	Allium subhirsutum L.	1.1	.	+	+2
H scap	SE-EUROP.	Jurinea mollis (L.) Rchb. ssp. <i>moschata</i>	+	.	.	+2
G bulb	STENOMEDIT.	Urginea maritima (L.) Baker	.	.	+	1.2
Ch succ	W- E C-EUROP.	Sedum rupestre L.	.	.	+	+2
H Scand	E-STENOMEDIT.	Convolvulus elegantissimus Miller	+	.	+	.
Sporadiche						
			16	2	9	16
						3

rinvenuta nella gravina di Laterza, su una parete verticale esposta a settentrione ove si verifica un certo stillicidio idrico per la presenza di una piccola sorgente che sbocca proprio sulla sommità della parete.

L'associazione, descritta per la Penisola Iberica (Rivas Martinez, 1969) è stata in seguito osservata lungo le coste tirreniche d'Italia, fino alla Calabria (Caneva *et al.*, 1995; Brullo *et al.*, 2001) ed in Sicilia (Bartolo & Brullo, 1986).

Fra le specie caratteristiche è presente *Trachelium coeruleum*, specie stenomediterranea-occidentale che trova nell'area il limite orientale di distribuzione.

Nelle condizioni più umide è possibile riconoscere la subassociazione *adiantetosum* differenziata da *Adiantum capillus-veneris*, che rappresenta l'aspetto più igrofilo e sciafilo dell'associazione. La stessa si inquadra nella classe *Parietarietea judaicae*, nell'ordine *Parietariale* e nell'alleanza *Cymbalaria asplenion*.

CAPPARIDETUM INERMIS O. Bolòs et Molinier 1958
campanuletosum versicoloris subass. nova
(Tab. 28, holotypus ril. n.3)

Associazione nitrofila e marcatamente termoxerofila, che si sviluppa sulle pareti rocciose soleggiate, esposte a meridione, influenzate dalle attività umane. Si rinviene, in genere, nella parte basale delle pareti dove vi è un maggior accumulo di nitrati, evitando i terrapieni dove il contatto con la terra determina un certo apporto idrico.

E' caratterizzata dalla presenza di *Capparis spinosa* var. *inermis* che tende a formare popolamenti molto densi, quasi monospecifici, soprattutto nelle aree più soggette a disturbo antropico. In alcune stazioni si verifica il contatto con alcune specie dell'associazione *Aurinio-Centauretum apulae*, come *Aurinia saxatilis* ssp. *megalocarpa*, *Campanula versicolor* e *Scrophularia lucida* che differenziano la nuova subassociazione *campanuletosum versicoloris*.

Tab. 25 - *Medicago disciformis*-*Brachypodium distachyon* ass. nova (ril. 1-8)
Onobrychido aequidentatae-*Stipeum capensis* ass. nova (ril. 9-21)

Rilievo n.	Sp. caratt. e diff. dell'ass. <i>Medicago disciformis</i> - <i>Brachypodium distachy</i>
Località	Trifolium lucanicum Gas.
Altitudine in m	Brachypodium distachy (L.) Beauv.
Esposizione	Medicago disciformis DC.
Inclinazione in °	Medicago truncatula Gaertner
Ricopimento in %	Bromus alopecuroides Pojet
Superficie in m ²	Urginea maritima (L.) Baker
	Alliaria lehmannii Ljpc.
	Elaeostimum asclepium (L.) Bertol.
Freqt	Sp. caratt. e diff. dell'ass. <i>Oenothera acuminatae</i> - <i>Stipetum capensis</i>
T STEKOMEDIT.	Stipa capensis Thunb.
E-STEKNOMEDIT.	Onobrychis acuminata (S. et S.) D'Uriv.
SW-STEKNOMEDIT.	Linaria reflexa (L.) Desf.
ENDEM.	Carduus corymbosus Ten.
H-Scap	Calendula arvensis L. ssp. hybrutina (Fiori) Lanza
Freqt	Sp. caratt. diff. dell'all. <i>Hypochoerion achyrophori</i>
T STEKOMEDIT.	Hypochoeris achyrophorus L.
E-STEKNOMEDIT.	Ornithopus reinfatia L.
SW-STEKNOMEDIT.	Lotus ornithopodioides L.
ENDEM.	Coronilla scorpioides (L.) Koch
H-Scap	Sp. caratt. e diff. dell'all. <i>Brachypodietalia distachyi</i>
Freqt	Linum strictum L. ssp. strictum
T STEKOMEDIT.	Euphorbia exigua L.
E-STEKNOMEDIT.	Sideritis romana L.
SW-STEKNOMEDIT.	Linum strictum L. ssp. corymbulosum (Rchb.) Rouy
ENDEM.	Catapodium rigidum (L.) Hubbard
H-Scap	Bromus fasciatus Presl
Freqt	Convolvulus cantabrica L.
T STEKOMEDIT.	Plantago psyllium L.
E-STEKNOMEDIT.	Valeriana muralis L.
SW-STEKNOMEDIT.	Campanula erinus L.
ENDEM.	Minuartia mediterranea (Link) Maly
H-Scap	Alyssum minus (L.) Rothm.
Freqt	Diplachne setosa (L.) Link
T STEKOMEDIT.	Sp. caratt. e diff. della classe <i>Thlaspietea glaucae</i>
E-STEKNOMEDIT.	Helianthemum salicifolium (L.) Miller
SW-STEKNOMEDIT.	Crepis neglecta L.
ENDEM.	Medicago rigidula (L.) All.
H-Scap	Onobrychis capri-salii (L.) Lam.
Freqt	Filago pyramidalis L.
T STEKOMEDIT.	Crupina vulgaris Cass.
E-STEKNOMEDIT.	Burza maxima L.
SW-STEKNOMEDIT.	Convolvulus elegantissimus Miller
ENDEM.	Ononis ornithopodioides L.
H-Scap	Lagurus ovatus L.
Freqt	Polygonia monspeliaca L.
T STEKOMEDIT.	Medicago minima (L.) Bartal var. recta (Willd.) Burnat
E-STEKNOMEDIT.	Linum trigynum L.
SW-STEKNOMEDIT.	Trifolium cherler L.
ENDEM.	Trigonella monspeliaca L.
H-Scap	

Tab. 25a - Tabella sinottica pratelli terofitici

- 1 - *Medicago disciformis*-*Brachypodietum distachyi* ass. nova
 - 2- *Trifolio scabri*-*Hypochoeridetum achyrophori* *securigerotum securidacae* Biondi et al., 1997 (Tab 1; ril.1-11)
 - 3 - " " " *alysetosum simplicis* Biondi et al., 1997 (Tab 1; ril.12-16)
 - 4 - " " " *linarietosum simplicis* Scoppola 1999 (Tab 2; ril.2-19)
 - 5- *Saxifrago tridactylites*-*Hypochoeridetum achyrophori* Biondi et al., 1997 (Tab 1; ril.17-21)
 - 6- *Onobrychido aequidentatae*- *Stipetum capensis* ass. nova
 - 7 - *Hypochoerido achyrophori*- *Stipetum capensis* Scoppola 1999 (Tab 3; ril.1-9)

Numero sintaxa	1	6	2	3	4	5	7
Numero di rilievi	8	13	11	5	18	5	9

T scap	STENOMEDIT.	Medicago disciformis DC.	IV	I		
T scap	STENOMEDIT.	Medicago truncatula Gaertner	IV			
T scap	STENOMEDIT.	Bromus alopecuroides Poiret	IV			
G bulb	STENOMEDIT.	Urginea maritima (L.) Baker	III			
G bulb	ENDEM.	Allium lehmannii Lojac.	II			
H scap	STENOMEDIT.	Elaeoselinum asclepium (L.) Bertol.	II			
T scap	STENOMEDIT.	Sp. caratt. e diff. dell'ass. <i>Onobrychido aequidentatae- Stipetum capensis</i>	III	V	V	
T scap	E-STENOMEDIT.	Stipa capensis Thunb.		IV		
T rept	SW-STENOMEDIT.	Onobrychis aequidentata (S. et S.) D'Urv.		IV		
T scap	ENDEM.	Linaria reflexa (L.) Desf.		IV		
T scap	ENDEM.	Carduus corymbosus Ten.		IV		
		Calendula arvensis L. ssp. hydruntina (Fiori) Lanza		II		
T scap	EURIMEDIT.	Sp. caratt. e diff. dell'ass. <i>Trifolio scabri-Hypochoeridetum achyrophori</i>		V	III	
		Coronilla scorpioides (L.) Koch				
T scap	EURIMEDIT.	Sp. diff. della subass. <i>securigeretosum securidacae</i>				
H caesp	S-EUROP.-SUDSIB.	Securigera securidaca (L.) Deg. et Dorfl.	I	IV		
		Diplachne serotina (L.) Link		IV		
T scap	?	Sp. diff. della subass. <i>alysetosum simplicis</i>				
T scap	S-EUROP.-SUDSIB.	Alyssum simplex Rudolphi		IV		
		Xeranthemum inapertum (L.) Miller		IV		
T scap	NW-MEDIT.-MONT.	Sp. diff. della subass. <i>linarietosum simplicis</i>				
T scap	EURIMEDIT.	Minuartia mediterranea (Link) Maly	II			
T scap	EURIMEDIT.	Ajuga chamaepitys (L.) Schreber	II	I		
		Linaria simplex (Willd.) DC.			III	
					III	
					II	
T scap	STENOMEDIT.	Sp. diff. della variante a <i>Sedum hispanicum</i> e <i>Plantago psyllium</i>	II		IV	IV
T scap	SE-EUROP.	Plantago psyllium L.			III	
Ch succ	CENTRO-EUROP.	Sedum hispanicum L.			II	
		Sedum sexangulare L.				
T scap	EURIMEDIT.	Sp. caratt. e diff. dell'ass. <i>Saxifrago tridactylites-Hypochoeridetum achyrophori</i>			II	
T scap	PALEOTEMP.	Saxifraga tridactylites L.			I	
T scap	EURIMEDIT.	Minuartia hybrida (Vill.) Schischkin			IV	
T scap	SUBCOSMOP.	Geranium purpureum Vill.			IV	
T scap	EURIMEDIT.	Arenaria serpyllifolia L.			IV	
		Hornungia petraea (L.) Rchb.			IV	
					III	
					III	
					II	
T scap	STENOMEDIT.-TURAN	Sp. caratt. e diff. dell'ass. <i>Hypochoerido achyrophori- Stipetum capensis</i>	IV	IV	V	
T scap	STENOMEDIT.	Aegilops geniculata Roth	I	II	IV	
T scap	EURIMEDIT.	Tordylium apulum L.			IV	
		Carthamus lanatus L.			IV	
					III	
					III	
T scap	STENOMEDIT.	Sp. caratt. e diff. dell'all. <i>Hypochoerion achyrophori</i>	V	IV	V	V
T scap	E-MEDIT.-TURAN.	Hypochoeris achyrophorus L.	V	IV	I	V
T scap	STENOMEDIT.	Ononis reclinata L.	V	IV	II	V
		Lotus ornithopodioides L.	V	III	IV	I
					III	III
T scap	PALEOTEMP.	Sp. diff. della suball. <i>Hypochoerenion achyrophori</i>	IV	V	V	II
T rept	EURIMEDIT.	Arenaria leptoclados (Rchb.) Guss.	V	III	V	II
T scap	EURASIAT.	Trifolium scabrum L. ssp. scabrum	I	II	I	III
T scap	EURIMEDIT.	Cerastium semidecandrum L.	I	II	III	IV
		Galium parisiense L.	I	II	I	III
T rept	ENDEM.	Sp. diff. della suball. <i>Ononidion ornithopodioides</i>	V	I		
T scap	S-MEDIT.	Trifolium lucanicum Guss.	II	I		
G bulb	STENOMEDIT.	Bromus fasciatus Presl	II	III		
H scand	E-STENOMEDIT.	Romulea bulbocodium (L.) Seb. et Mauri	II	II		
T scap	STENOMEDIT.	Convolvulus elegantissimus Miller	II	II		
T scap	EURIMEDIT.	Ononis ornithopodioides L.	II	II		
T scap	STENOMEDIT.	Odontites lutea (L.) Clairv.	II	I		
		Ammoides pusilla (Brot.) Breistr.	I	I		
T scap	STENOMEDIT.	Sp. caratt. e diff. dell'ord. <i>Brachypodietalia distachyi</i>				
T scap	EURIMEDIT.	Sideritis romana L.	III	II	II	IV
T scap	STENOMEDIT.	Filago pyramidata L.	IV	I	I	II
T scap	STENOMEDIT.	Asterolinon linum-stellatum (L.) Duby			V	
T scap	STENOMEDIT.	Linum strictum L. ssp. strictum			IV	
T scap	STENOMEDIT.	Linum strictum L. ssp. corymbulosum (Rchb.) Rouy			IV	
T scap	STENOMEDIT.	Brachypodium distachyum (L.) Beauv.			IV	
H scap	EURIMEDIT.	Convolvulus cantabrica L.			V	
T scap	EURIMEDIT.	Catapodium rigidum (L.) Hubbard			II	
T scap	MEDIT.-TURAN.	Allyssum minus (L.) Rothm.			V	
					V	
					IV	
					III	
					II	

T scap	EURIMEDIT.	Euphorbia falcata L.						I
T scap	EURIMEDIT.	Euphorbia exigua L.						
T scap	STENOMEDIT.	Valantia muralis L.						
T scap	STENOMEDIT.	Neatostema apulum (L.) Johnston						
T scap	STENOMEDIT.	Valerianella pumila (L.) DC.						
T scap	STENOMEDIT.	Clypeola jonthlaspi L.						
T scap	EURIMEDIT.	Chaenorhinum rubrifolium (Rob. et Cast.) Fourr.						
T scap	STENOMEDIT.	Valerianella muricata (Stev.) Baxter						
T scap	STENOMEDIT.	Echinaria capitata (L.) Desf.						
T scap	MEDIT.-TURAN.	Astragalus hamosus L.						
		Sp. caratt. e diff. della classe <i>Tuberarietea guttatae</i>						
T scap	EURIMEDIT.	Helianthemum salicifolium (L.) Miller	IV	V	II	II	IV	V
T scap	EURIMEDIT.	Medicago minima (L.) Bartal var. recta (Willd.) Burnat	III	II	IV	I	IV	IV
T scap	STENOMEDIT.	Campanula erinus L.	II	V			IV	III
T scap	STENOMEDIT.	Polygala monspeliaca L.	III	II			II	II
T scap	EURIMEDIT.	Scorpiurus muricatus L.	II	I	IV	I	II	
T scap	EURIMEDIT.	Trifolium stellatum L.	IV	II			II	
T scap	PALEOTEMP.	Trifolium campestre Schreber	II	I	V	I	III	I
T scap	STENOMEDIT.	Hippocrepis ciliata Willd.	I	I	II	I	II	
T scap	S-EUROP.-SUDSIB.	Crupina vulgaris Cass.	III	II	III	I	I	
T caesp	SUBCOSMOP.	Vulpia myuros (L.) Gmelin						I
T scap	STENOMEDIT.	Onobrychis caput-galli (L.) Lam.	IV	II			I	I
T scap	EURIMEDIT.	Trifolium cherleri L.	I	II				I
T scap	CIRCUMBOR.	Erophila verna (L.) Chevall.					I	I
T scap	EURASIAST.	Melampyrum cristatum L.						I
T scap	NE-EURIMEDIT.	Crepis neglecta L.					IV	
T scap	S-STENOMEDIT.	Plantago bellardi All.					II	
T scap	EURIMEDIT.	Psilurus incurvus (Gouan) Sch. et Th.						
T scap	SUBTROP.	Brixia maxima L.					II	
T scap	EURIMEDIT.	Linum trigynum L.					IV	
T scap	EURIMEDIT.	Cerastium pumilum Curtis						I
T scap	EURIMEDIT.	Trigonella monspeliaca L.						
T scap	EURIMEDIT.	Lagurus ovatus L.					III	
T scap	?	Hippocrepis biflora (Spreng.) Bolòs et Vigo					II	
T scap	EURIMEDIT.	Medicago orbicularis (L.) Bartal.					II	
T scap	STENOMEDIT.	Crucianella latifolia L.						II
T scap	STENOMEDIT.	Anthyllis tetraphylla L.					I	
H scap	STENOMEDIT.	Hymenocarpus circinnatus (L.) Savi					I	
		Sp. caratt. e diff. dell'ord. <i>Thero-Brometalia</i> della classe <i>Stellarietea mediae</i>						
T scap	EURIMEDIT.	Avena barbata Potter	IV	III				V
T scap	EURIMEDIT.	Nigella damascena L.	II	II				III
H scap	EURIMEDIT.	Urospurmum dalechampii (L.) Schmidt						IV
T scap	EURIMEDIT.	Urospurmum picrooides (L.) Schmidt	I	I				I
T scap	EURIMEDIT.-TURAN.	Dasyphyrum villosum (L.) Borbas	II	III				IV
T scap	STENOMEDIT.	Plantago lagopus L.	III	II				III
T scap	STENOMEDIT.	Tyrimnus leucographus (L.) Cass.						
T scap	COSMOP.	Euphorbia helioscopia L.					III	
T scap	EURIMEDIT.	Sherardia arvensis L.					IV	
T scap	STENOMEDIT.	Anthemis arvensis L. ssp. incrassata (Loisel.) Nyman					II	
T caesp	EURIMEDIT.	Vulpia ciliata (Danth.) Link	I	II				
T scap	EURIMEDIT.	Reseda phyteuma L.						
T scap	E-MEDIT.-MONT.	Papaver rhoas L.						
T scap	EURIMEDIT.	Bromus madritensis L.						
H bienn	STENOMEDIT.	Galactites tomentosa Moench						
T scap	EURIMEDIT.	Avena sterilis L.						
T rept	EURIMEDIT.	Anagallis arvensis L.						
T scap	EURIMEDIT.	Trifolium nigrescens Viv.						
T scap	STENOMEDIT.	Hedypnoi cretica (L.) Willd.						
T scap	SUBCOSMOP.	Bromus hordeaceus L.						
T caesp	STENOMEDIT.	Vulpia ligistica (All.) Link						
T scap	MEDIT.-TURAN.	Aegilops neglecta Req.						
T rept	STENOMEDIT.	Anagallis foemina Miller						
T scap	EURIMEDIT.	Blackstonia perfoliata (L.) Hudson	II	III				
T caesp	W-STENOMEDIT.	Vulpia geniculata (L.) Link cfr.						
G bulb	STENOMEDIT.	Ornithogalum gussonei Ten.						
T scap	PALEOSUBTROP.	Phalaris minor Retz.						
T scap	MEDIT. ATL.(STENO)	Gastridium ventricosum (Gouan) Sch. et Th.						
T caesp	SUBCOSMOP.	Lophochloa cristata (L.) Hyl.						
T scap	EURIMEDIT.	Rhagadiolus stellatus (L.) Willd.						
T scap	EURIMEDIT.	Bellardia trixago (L.) All.						
T scap	EURIMEDIT.	Knaufia integrifolia (L.) Bertol.						
T scap	N-STENOMEDIT.	Trigonella corniculata (L.) L.						
T scap	S-MEDIT.	Ononis breviflora DC.						
T scap	EURIMEDIT.	Cynosurus echinatus L.						
T scap	EURIMEDIT.	Trigonella monspeliaca L.						
T scap	EURIMEDIT.	Trifolium angustifolium L.						
T scap	W-STENOMEDIT.	Trisetaria panicea (Lam.) Maire						
T scap	EURIMEDIT.	Calendula arvensis L. ssp. arvensis						
		Compagne						
Ch succ	EURIMEDIT.	Sedum album L.	I		II	I		III
T scap	S-MEDIT.	Silene nocturna L.					I	
T scap	EURIMEDIT.	Silene gallica L.					I	
T scap	EURIMEDIT.	Silene conica L. ssp. subconica (Friv.) Gavoli					I	
T scap	SUBCOSMOP.	Erodium cicutarium (L.) L'Hér.						
G bulb	EURIMEDIT.	Ornithogalum narbonense L.						
T scap	EURASIAST.	Geranium molle L. cfr						
H scap	STENOMEDIT.	Reichardia picroides (L.) Roth						
T scap	SUBTROP.	Lolium rigidum Gaudin						III

Tab.26 - *Aurinio-Centauretum apulae* Bianco, Brullo, Pignatti & Pignatti 1988

Rilievo n.		1	2	3	4	5	6	7		
Località		Le	Le	Le	Le	L	L	L		
Altitudine in m		140	130	140	120	200	320	320		
Esposizione		SSE	ESE	SE	E	SSW	SW	SSW	P	
Inclinazione in °		70	80	90	90	80	90	90	r	
Ricoprimento in %		30	30	30	60	40	25	90	e	
Superficie in m ²		14	50	60	20	15	12	30	s.	
<hr/>										
Sp. caratt. dell'ass. <i>Aurinio-Centauretum apulae</i>										
Ch suffr	ENDEM.	Aurinia saxatilis (L.) Desv. ssp. megalocarpa (Hausskn.) Dundley	1.2	.	1.2	1.2	+	1.2	2.2	6
Sp. caratt. e diff. dell'all. <i>Campanulion versicolor</i> e dell'ord. <i>Onosmetalia frutescentis</i>										
H scap	OROF. NE-MEDIT.	Campanula versicolor Hawkins	2.2	2.2	2.3	3.3	2.2	1.2	3.2	7
H bienn	OROF. S-EUROP.	Scrophularia lucida L.	.	+	.	.	1.1	.	1.1	3
H scap	E-MEDIT.	Carum multiflorum (S. et S.) Boiss.	.	.	.	+	+	.	.	2
Sp. caratt. e diff. della classe <i>Asplenietea trichomanis</i>										
Ch succ	EURIMEDIT.	Sedum dasypodium L.	+	.	.	.	+.2	+.2	1.2	4
G bulb	STENOMEDIT.	Umbilicus horizontalis (Guss.) DC.	+	.	.	+	.	.	.	2
P scap	MEDIT.-TURAN.	Ficus carica L.	.	+	1
Compagne										
NP	EURASIAT.	Capparis spinosa L. var. inermis	+.2	1.1	+	+	+.2	+.2	.	6
H ros	ENDEM.	Leontodon apulum (Fiori) Brullo	.	+	.	+	.	+	.	3
NP	STENOMEDIT.	Rosmarinus officinalis L.	.	1.1	+	1.2	.	.	.	3
T scap	STENOMEDIT.	Reseda alba L.	+	.	+	.	.	+	.	3
Ch suffr	W-STENOMEDIT.	Phagnalon saxatile (L.) Cass.	.	.	+	+	1.2	.	.	3
T scap	STENOMEDIT.	Brachypodium distachyrum (L.) Beauv.	+.2	.	.	.	+.2	+.2	.	3
H caesp	EURIMEDIT.	Melica ciliata L.	.	.	+	.	.	+.2	.	2
Ch suffr	W-MEDIT.-MONT.	Satureja montana L.	2.2	.	2.2	2
Ch suffr	STENOMEDIT.	Micromeria graeca (L.) Bentham	.	.	.	+	+	.	.	2
Sporadiche										
			2	4	1	0	3	3	0	

Tab. 27 - *Cymbalaria muralis-Trachelietum coerulei* Rivas Martinez 1969
adiantetosum Caneva, De Marco, Dinelli, Vinci, 1995

Rilievo n.		1	2		
Località		L	L		
Altitudine in m		45	43		
Esposizione		ESE	NNE	P	
Inclinazione in °		90	90	r	
Ricoprimento in %		50	100	e	
Superficie in m ²		25	100	s.	
<hr/>					
Sp. diff. dell' ass. <i>Cymbalaria muralis-Trachelietum coerulei</i>					
Ch suffr	W-MEDIT.	Trachelium coeruleum L.	3.3	1.2	2
Sp. diff. della subass. <i>adiantetosum</i>					
G rhiz	PANTROP.	Adiantum capillus-veneris L.	5.5	5.5	2
Sp. caratt. e diff. di ordine superiore					
P scap	MEDIT.-TURAN.	Ficus carica L.	1.2	.	1
Ch succ	EURIMEDIT.	Sedum dasypodium L.	.	2.2	1
Compagne					
H caesp	STENOMEDIT.	Oryzopsis miliacea (L.) Asch. et Schweinf.	+.2	1.2	2
H scap	EURIMEDIT.	Inula viscosa (L.) Aiton	+.2	2.2	2
NP	EURIMEDIT.	Rubus ulmifolius Schott	.	+.2	1
H scap	EURIMEDIT.	Mentha suaveolens Ehrh.	2.2	.	1

Tab. 28 - *Capparidetum inermis* O. Bolòs & Molinier 1958
campanuletosum versicoloris subass. nova (rill. 3-7)

Rilievo n.		1	2	*3	4	5	6	7		
Località		T	Le	L	L	L	Le	Le		
Altitudine in m		275	100	310	310	310	130	77		
Esposizione		SSE	ESE	SSW	SW	SW	E	E	P	
Inclinazione in °		90	90	30	85	85	90	90	r	
Ricoprimento in %		100	90	100	90	85	80	90	e	
Superficie in m²		30	20	20	12	20	60	7	s.	
NP	EURASIAT.	Sp. caratt. e diff. dell'ass. <i>Capparidetum inermis</i> <i>Capparis spinosa</i> L. var. <i>inermis</i>	5.5	5.5	5.5	4.3	5.5	5.5	5.5	7
H scap	OROF. NE-MEDIT.	Sp. caratt. e diff. dell'ass. della subass. <i>campanuletosum versicoloris</i> <i>Campanula versicolor</i> Hawkins	.	.	+	+	+	+	+	5
Ch suffr	NE-MEDIT.-MONT.	<i>Aurinia saxatilis</i> (L.) Desv. ssp. <i>megalocarpa</i> (Hausskn.) Dundley	.	.	+	+	+.2	+	.	4
H bienn	OROF. S-EUROP.	<i>Scrophularia lucida</i> L.	.	.	+	2.2	.	.	.	2
Ch succ	EURIMEDIT.	Sp. caratt. e diff. di ordine superiore	.	2.2	1.2	+	.	.	1.2	4
H scap	EURIMEDIT.-MACARON.	<i>Sedum dasyphyllum</i> L.	.	.	4.5	1.2	1.2	.	.	3
T scap	STENOMEDIT.	<i>Parietaria diffusa</i> M. et K.	+	1.2	.	2
P scap	MEDIT.-TURAN.	<i>Sonchus tenerimus</i> L.	1
T scap	STENOMEDIT.	<i>Ficus carica</i> L.	1.1	
P caesp	S-STENOMEDIT.	Compagne	.	1.2	1.2	1.2	+.2	.	1.2	5
Ch frut	STENOMEDIT.	<i>Brachypodium distachyrum</i> (L.) Beauv.	.	1.2	.	.	.	+	1.2	3
NP	STENOMEDIT.	<i>Pistacia lentiscus</i> L.	.	1.2	
H caesp	STENOMEDIT.	<i>Prasium majus</i> L.	2.2	1.2	.	.	.	1.2	.	3
T scap	PALEOTEMP.	<i>Rosmarinus officinalis</i> L.	.	+.2	1.2	2
Ch succ	W- E C-EUROP.	<i>Oryzopsis miliacea</i> (L.) Asch. et Schweinf.	.	.	+	.	.	+.2	.	2
P caesp	STENOMEDIT.	<i>Geranium rotundifolium</i> L.	.	.	+	+	.	.	.	2
G rhiz	STENOMEDIT.	<i>Sedum rupestre</i> L.	.	+.2	+	2
P caesp	STENOMEDIT.	<i>Olea europaea</i> L. var. <i>sylvestris</i> Brot.	.	1.2	2.2	2
G rhiz	STENOMEDIT.	<i>Asparagus acutifolius</i> L.	.	+	+	2
		Sporadiche	5	2	7	1	2	0	2	

Schema sintassonomico della vegetazione delle gravine dell'arco jonico

ASPLENIETEA TRICHOMANIS (Br. -Bl. in Meier & Br. - Bl. 1934) Oberdorfer 1977

+*Onosmetalia frutescentis* Quezel 1964

**Campanulion versicoloris* Quezel 1964

Aurinio-Centauretum apulae Bianco, Brullo, Pignatti E. & Pignatti S. 1988

PARIETRIEAE Rivas -Martinez in Rivas Goday 1964

+*Parietarietalia* Rivas-Martinez in Rivas Goday 1964

**Parietario-Galion muralis* Rivas-Martinez in Rivas Goday 1964

Capparietum inermis O. Bolòs & Molinier ex O. Bolòs 1962

campanuletosum versicoloris subass. nova

**Cymbalaria asplenion* Segal 1969

Cymbalaria-Trachelietum caerulei Rivas-Martínez 1969

adiantetosum Caneva, De Marco, Dinelli & Vinci, 1995

TUBERARIEAE GUTTATAE Br.-Bl. (1952) 1964

+*Brachypodietalia distachyi* Rivas Martinez 1978

**Hypochoerion achyrophori* all. nova hoc loco

***Ononidion ornithopodioides* suball. nova hoc loco

Medicago disciformis-Brachypodietum distachyi ass. nova hoc loco

Onobrychido aequidentatae- Stipetum capensis ass. nova hoc loco

FESTUCO-BROMETEA Br.-Bl. & Tuxen ex Br.-Bl. 1949

+*Scorzonerocrysopogonetalia* Horvatíć & Horvat (1956) 1958

**Hippocrepido glaucae-Stipion austroitalicae* Forte & Terzi 2005

Cardopatio corymbosi -Brometum erecti ass. nova hoc loco

Centaureo apulae-Andropogonetum distachyi ass. nova hoc loco

Convolvulo elegantissimae-Stipetum austroitalicae ass. nova hoc loco

LYGEO-STIPETEA Rivas Martinez 1978

+*Hyparrhenietalia hirtae* Rivas Martinez 1978

**Hyparrhenion hirtae* Br.-Bl., Silva & Rozeira 1956

Stipo austroitalicae-Hyparrhenietum hirtae ass. nova hoc loco

CISTO-MICROMERIETEA Oberdorfer 1954

+*Cisto -Ericetalia* Horvatich 1958

**Cisto -Ericion* Horvatic 1958

Asyneumo limonifolii-Saturejetum montanae ass. nova hoc loco

Phagnalo annotici-Fumanetum thymifoliae Biondi 1997

thymetosum capitati subass. nova

Helianthemo jonii-Thymetum capitati ass. nova

variante a *Rosmarinus officinalis*

Phagnalo saxatilii-Saturejetum cuneifoliae ass. nova hoc loco

Ruto chaleensis-Salvietum trilobae ass. nova hoc loco

Chamaecytiso spinescens-Cistetum eriocephali ass. nova hoc loco

Aggruppamento a *Cistus monspeliensis* L.

Aggruppamento a *Cistus creticus* L. ssp. *creticus*

RHAMNO-PRUNETEA Rivas Goday & Borja ex Tüxen 1962

+*Prunetalia-spinosae* Tüxen 1952

**Cytision sessilifolii* Biondi in Biondi, Allegrezza & Guitian 1988
Asparago acutifolii-Osyridetum albae Allegrezza, Biondi, Formica & Ballelli, 1997
**Pruno-Rubion ulmifolii* O. Bolòs 1954
***Pruno-Rubenion ulmifolii* O. Bolòs 1954
Rubo ulmifolii-Myrtetum communis Biondi & Bagella 2005
Roso sempervirentis-Rubetum ulmifolii Blasi, Di Pietro & Fortini 2000
variante a *Carpinus orientalis*
variante a *Pistacia terebinthus L. x saportae*

QUERCETEA ILICIS Br.-Bl. ex A. & O. Bolòs 1950
+*Pistacio lentisci-Rhamnetalia alaterni* Rivas-Martinez 1975
**Oleo-Ceratonion siliquae* Br.-Bl. ex Guinochet & Drouineau 1944
Coronillo valentinae-Juniperetum turbinatae ass. nova hoc loco
Coronillo emeroidis -Pistacetum lentisci ass. nova hoc loco
Oleo sylvestris-Calicotometum infestae ass. nova hoc loco
Coronillo emerooides-Euphorbietum dendroidis Gèhu & Biondi 1997
coronilletosum valentinae subass. nova hoc loco
Cyclamino repandi-Paliuretum spinae-christi Biondi 1999
Thymo capitati-Pinetum halepensis De Marco & Caneva 1984
Thymetosum striati Bartolo, Brullo, Minissale & Spanpinato 1985
Cyclamino hederifolii-Pinetum halepensis Biondi, Casavecchia, Guerra, Medagli, Beccarisi & Zuccarello 2004
+*Quercetalia ilicis* Br.-Bl. ex Molinier 1934
**Fraxino orni-Quercion ilicis* Biondi, Casavecchia & Gigante 2003
***Fraxino orni-Quercenion ilicis* Bachetta, Bagella, Biondi, Farris, Filigheddu & Mossa 2003
Festuco exaltatae-Quercetum ilicis Biondi, Casavecchia & Gigante 2003
festucetosum exaltatae Biondi, Casavecchia & Gigante 2003
carpinetosum orientalis Biondi, Casavecchia, Guerra, Medagli, Beccarisi & Zuccarello 2004
Cyclamino hederifolii-Quercetum ilicis Biondi, Casavecchia & Gigante 2003
cyclaminetosum hederifolii Biondi, Casavecchia & Gigante 2003
carpinetosum orientalis Biondi, Casavecchia & Gigante 2003

QUERCO-FAGETEA Br.-Bl. & Vlieger in Vlieger 1937
+*Quercetalia pubescenti-petraeae* Klika 1933
**Carpinion orientalis* Horvát 1958
***Lauro nobilis-Quercenion pubescantis* Ubaldi 1995
Teucrio siculi-Quercetum trojanae Biondi, Casavecchia, Guerra, Medagli, Beccarisi & Zuccarello 2004
variante a *Festuca exaltata*
**Pino calabricae-Quercion congestae* Brullo, Scelsi, Siracusa & Spanpinato 1999
***Quercenion virgiliiana* Blasi, Di Pietro & Filesi 2004
Irido collinae-Quercetum virgiliiana Biondi, Casavecchia, Guerra, Medagli, Beccarisi & Zuccarello 2004

Sintaxa istituiti non presenti nel territorio indagato

Junipero turbinatae-Pistacetum lentisci ass. nova hoc loco; *juniperetosum turbinatae* subass. nova hoc loco; *ericetosum arboreae* subass. nova hoc loco; *Euphorbio dendroidis-Pistacetum lentisci* ass. nova hoc loco; *euphorbietosum dendroidis* subass. nova hoc loco; *atriplicetosum halimi* subass. nova hoc loco; *Coronillo emeroidis-Euphorbietum dendroidis* Gèhu & Biondi 1997 *coronilletosum emeroidis* subass. nova hoc loco.

Altri sintaxa citati nel testo

Trifolio scabri-Hypochoeridetum achyrophori Lapraz ex Biondi, Izco, Balleli, & Formica 1997
securigeretosum securidacae Biondi, Izco, Balleli, & Formica 1997, *alyssetosum symplicis* Biondi, Izco, Balleli, & Formica 1997, *linarietosum simplicis* Scoppola 1999; *Saxifgrado tridactylites-Hypochoeridetum achyrophori* Biondi, Izco, Balleli, & Formica 1997; *Hypochoerido achyrophori-Stipetum*

capensis Scoppola 1999; *Atriplici halimi-Artemisietum arborescentis* Biondi 1988; *Crithmo limonietum-diomedei* Bartolo, Brullo & Signorello 1989; *Siderito syriacae-Stipetum austroitalicae* Fanelli, Lucchese & Paura 2001, *Chamaecytiso spinescens-Stipetum austroitalicae* Forte & Terzi 2005, *Acino suaveolentis-Stipetum austroitalicae* Forte & Terzi 2005, *Stipion capensis* Br.-Bl. & O. Bolòs 1954.

Paesaggio vegetale

Lo studio delle associazioni vegetali e l'interpretazione dei loro rapporti dinamici ha permesso di ricostruire le serie di vegetazione dalla cui integrazione risultano le principali unità di paesaggio delle gravine dell'arco jonico.

Sulle pareti rocciose delle gravine si insediano tipologie vegetazionali differenziate, legate alle peculiari condizioni meso e microclimatiche dei versanti che variano anche repentinamente, in relazione all'altitudine, all'esposizione, al tasso di umidità e alla profondità del suolo. Di conseguenza molte fitocenosi rappresentano molto spesso dei mosaici che non sono in successione dinamica tra loro ma in rapporto di tipo catenale.

Nell'ambito del territorio indagato è stato possibile riconoscere quattro tipi principali di paesaggio vegetale

I - GEOSIGMETUM DEI SETTORI CALCARAI E CALCARENITICI, MERIDIONALI ED ORIENTALI DELLE GRAVINE DELL'ARCO JONICO (FIG. 18)

Questa tipologia di paesaggio vegetale si rinviene nella parte più calda meridionale ed orientale delle gravine dell'arco jonico, a quote comprese fra 50 e 200 m, ed interessa il piano bioclimatico termomediterraneo superiore e il mesomediterraneo inferiore.

Nell'ambito di questa unità di paesaggio sono state individuate le seguenti serie di vegetazione:

IA. - Serie ionica, climatofila, subacidofila, termomediterranea con penetrazioni nel mesomediterraneo, del pino d'aleppo

Thymo capitati-Pino halepensis Σ

Nei territori interni dell'arco jonico tarantino su substrati interessati dai Calcarai del Cretaceo e dalle Calcareniti di Gravina, si rinviene lo stadio maturo della serie che è costituito dai boschi a Pino d'Aleppo, riferibili all'associazione del *Thymo capitati-Pinetum halepensis*. Gli stadi di sostituzione sono costituiti da una macchia termofila dominata da *Pistacia lentiscus* ed *Olea europaea* var. *sylvestris* dell'associazione *Coronillo emeroidis-Pistacetum lentisci*, a cui si collegano dinamicamente le garighe a Timo capitato (*Helianthemo jonii-Thymetum capitati*), nella variante

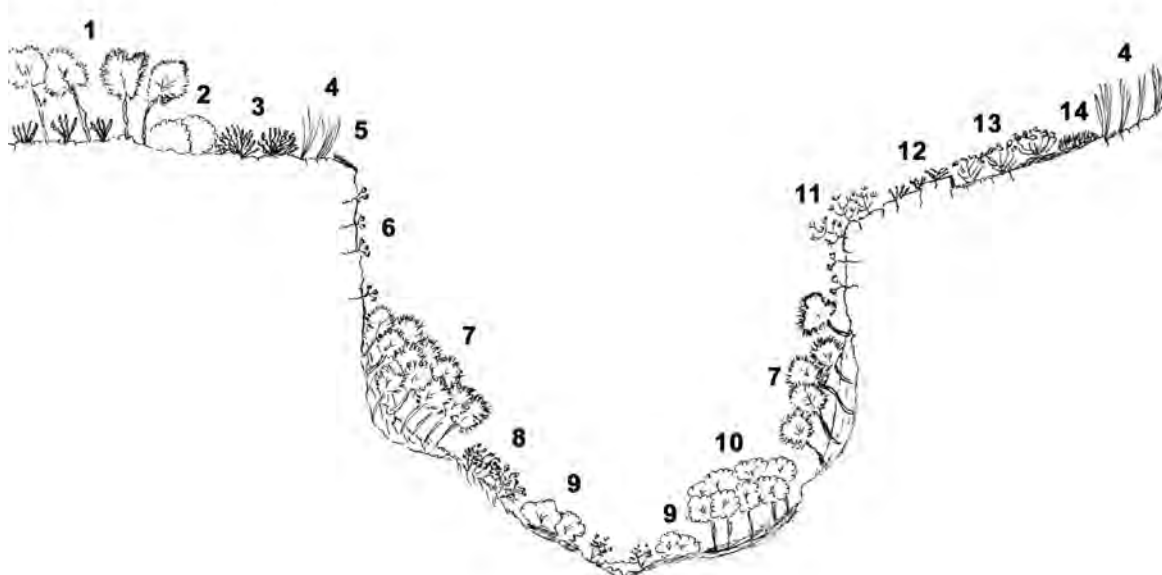


Fig. 18 – Geosigmatum dei settori calcarei e calcarenitici meridionali ed orientali delle gravine dell'arco jonico: 1. *Thymo capitati-Pinetum halepensis*; 2. *Coronillo emeroidis-Pistacetum lentisci*; 3. *Helianthemo jonii-Thymetum capitati*; 4. *Stipo austroitalicae-Hyparrhenietum hirtae*; 5. *Medicago disciformis-Brachypodietum distachyi*; 6. *Aurinio-Centauretum apulae*; 7. *Cyclamino hederifolii-Pinetum halepensis*; 8. *Ruto chalepensis-Salvietum trilobae*; 9. *Rubo ulmifolii-Myrtetum communis*; 10. *Cyclamino hederifolii-Querecetum ilicis*; 11. *Coronillo emeroidis-Euphorbietum dendroidis coronilletosum valentinae*; 12. *Phagnalo saxatilii-Saturejetum cuneifoliae*; 13. Aggruppamento a *Cistus monspeliensis*; 14. *Onobrychido aequidentatae-Stipetum capensis*

a *Rosmarinus officinalis* nelle zone di recupero post-incendio, e le garighe a *Cistus monspeliensis* e a *Cistus creticus* ssp. *creticus* nelle aree più frequentemente percorse dal fuoco. Le praterie di sostituzione sono rappresentate dalle fitocenosi emicriptofitiche a dominanza di *Hyparrhenia hirta* e *Stipa austroitalica* ssp. *austroitalica*, inquadrata nell'associazione *Stipo austroitalicae-Hyparrhenietum hirtae*, della classe *Lygeo-Stipetea*. L'estremo stadio di degradazione della serie è rappresentato dalle comunità terofitiche effimere a *Stipa capensis*, dell'associazione *Onobrychido aequidentatae-Stipetum capensis*, subnitrofila, che si sviluppa in corrispondenza dei litotipi calcarei e calcarenitici erosi.

IB. - Serie ionica, edafomesofila, basifila, termomediterranea con penetrazioni nel mesomediterraneo, del pino d'aleppo

Cyclamino hederifolii-Pino halepensis Σ

Sui settori meridionali ed orientali delle gravine, in corrispondenza delle anse più aperte e delle parti più assolate sovrastanti l'alveo fluviale, si sviluppa un bosco termo-mesofilo a dominanza di *Pinus halepensis*, inquadrato nell'associazione *Cyclamino hederifolii-Pinetum halepensis*, che si avvantaggia delle condizioni di maggiore umidità edafica che si vengono a creare in questi ambiti geomorfologici. Negli stadi di regressione a queste fitocenosi si sostituisce una macchia termofila dominata da *Pistacia lentiscus* ed *Olea europaea* var. *sylvestris* dell'associazione *Coronillo emeroidis-Pistacieta lantisci* e sulle conoidi detritiche parzialmente consolidate si sviluppa una gariga suffruticosa a *Ruta chalepensis* e *Salvia triloba* riferibile all'associazione *Ruto chalepensis-Salvioretum trilobae*. Sui lastroni del Calcare di Altamura quasi piatti, come prima colonizzazione della roccia, si insedia una gariga pioniera a *Satureja cuneifolia* inquadrabile nell'associazione *Phagnalo saxatilii-Saturejetum cuneifoliae*.

IC. - Serie ionica, edfoamesofila, basifila, termomediterranea con penetrazioni nel mesomediterraneo del leccio

Sulle aree del versante settentrionale, prossime al fondo della gravina, nelle zone in cui si verifica l'accumulo di detriti terrosi eluviati dalle aree soprastanti, e a ridotta insolazione, si sviluppa la vegetazione forestale a leccio, dell'associazione *Cyclamino hederifolii-Quercetum ilicis*, propria del piano mesomediterraneo che scende in quello termomediterraneo per la particolare condizione edifica

e microbioclimatica.

ID. - Serie ionica, edafoigrofila, basifila, termomediterranea con penetrazioni nel mesomediterraneo, del mirto

Rubo ulmifolii-Myrto communis Σ

Nel fondo della gravina, si rivengono macchie molto dense, che beneficiano del maggior tasso di umidità edifica, propria del fondovalle, a *Myrtus communis* e *Rubus ulmifolius* dell'associazione *Rubo ulmifolii-Myrtetum communis* che bordano modesti corsi d'acqua.

II - GEOSIGMETUM DEI PRIMI TERRAZZI MURGIANI SUD-ORIENTALI (FIG. 19)

Questa tipologia di paesaggio vegetale comprende le basse pendici della Murgia sud-orientale e sisviluppa a quote comprese fra i 100 e i 400 m nel piano bioclimatico Mesomediterraneo inferiore, su substrati calcarei e calcarenitici, spingendosi sino in pianura sui fianchi e sul fondo delle gravine e in corrispondenza delle lame più strette ed incassate.

IIA.- Serie adriatico-occidentale, climatofila, mesomediterranea inferiore subumida e secca, del leccio

Cyclamino hederifolii-Querco ilicis Σ

La vegetazione potenziale è rappresentata dai boschi termofili misti di sclerofille sempreverdi e caducifoglie a dominanza di *Quercus ilex* e *Fraxinus ornus* riferibili all'associazione del *Cyclamino hederifolii-Quercetum ilicis*.

Nell'area di studio si rinvengono nella parte settentrionale ed orientale delle gravine lungo una stretta fascia compresa fra i 100 e i 400 m di altitudine. Negli stadi di recupero della fitocenosi boschiva si sviluppa un'arbusteto dominato da *Paliurus spina christi*, inquadrato nell'associazione del *Cyclamino repandi-Paliuretum spinae-christi*, a cui si collega dinamicamente l'orlo ad *Osyris alba* ed *Asparagus acutifolius* dell'*Asparago acutifolii-Osyridetum albae*. Le praterie perenni di sostituzione sono rappresentate dalle fitocenosi emicriptofitiche a dominanza di *Stipa austroitalica* del *Convolvulo elegantissimae-Stipetum austroitalicae*, che vengono sostituite, in corrispondenza di substrati più primitivi, dall'associazione *Stipo austroitalicae-Hyparrhenietum hirtae*. Sui versanti in erosione un'ulteriore termine di degradazione della serie è rappresentato da una gariga discontinua, costituita

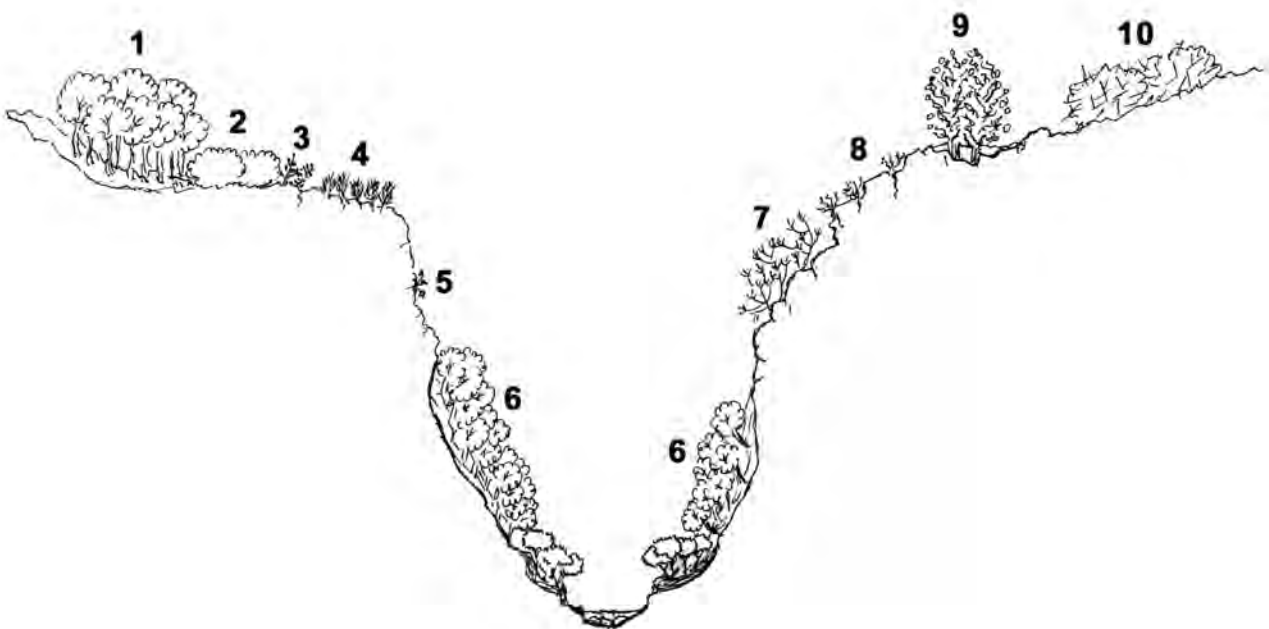


Fig. 19 – Geosigmeti dei primi terrazzi murgiani sud-orientali: 1. *Cyclamino hederifolii-Quercetum ilicis*; 2. *Coronillo emeroidis-Pistacetum lentisci*; 3. *Asparago acutifolii-Osyridetum albae*; 4. *Convolvulo elegantissimae-Stipetum austroitalicae*; 5. *Aurinio-Centauretum apulae*; 6. *Festuco exaltatae-Quercetum ilicis carpinetosum orientalis*; 7. *Coronillo emeroidis-Euphorbietum dendroidis coronilletosum valentinae*; 8. *Asyneumo limonifolii-Saturejetum montanae*; 9. *Coronillo valentinae-Juniperetum turbinatae*; 10. *Oleo sylvestris-Calicotometum infestae*

da basse camefite, riferibile all'associazione del *Phagnalo annotici-Fumanetum thymifoliae*, mentre l'ultima fase successionale regressiva è rappresentata dai prati pionieri terofitici a dominanza di *Brachypodium distachyum* dell'associazione *Medicago disciformis-Brachypodietum distachyi* che si localizzano su suoli molto superficiali in mosaico con la vegetazione di gariga.

II B. - SERIE JONICA, EDAFOXEROFILA, BASIFILA, MESOMEDITERRANEA INFERIORE SUBUMIDA E SECCA DEL GINEPRO TURBINATO

Coronillo valentinae-Junipero turbinatae Σ

La tappa più evoluta di questa serie è rappresentata dalla vegetazione a *Juniperus phoenicea* L. ssp. *turbinata* riferibile all'associazione del *Coronillo valentinae-Juniperetum turbinatae* che si sviluppa su substrati carbonatici riferibili alla formazione del Calcare di Altamura. Sulla parte sommitale delle pareti rocciose, alla macchia a ginepro si collega un'altra macchia di sostituzione dovuta all'incendio inquadrata nella subassociazione *coronilletosum valentinae* dell'associazione *Coronillo emeroides-Euphorbietum dendroidis*.

Nelle aree percorse di recente dagli incendi

predomina una macchia a dominanza di *Calicotome infesta* inquadrabile nell'associazione *Oleo sylvestris-Calicotometum infestae* che si alterna a garighe a cisti. Lo stadio meno evoluto della serie è costituito dalla gariga bassa camefitica a *Satureja montana* dell'associazione *Asyneumo limonifolii-Saturejetum montanae* che si comporta da fitocenosi pioniera e colonnizza i lastroni di roccia calcarea privi di suolo.

III - GEOSIGMETUM DELLA MURGIA MATERANA E LAERTINA (FIG. 20)

Questa unità di paesaggio comprende le pendici murgiane laertine e materane che si sviluppano nella porzione occidentale dell'arco jonico tarantino a quote comprese fra i 300 e i 500 m, interessate dai calcari del Cretaceo.

IIIA - Serie delle murge laertino-materane, climatofila, subacidofila, mesomediterranea superiore secca superiore del fragno

Teucrio siculi-Querco trojanae Σ

La tappa matura della serie è rappresentata dai boschi climatofili a *Quercus trojana* e *Quercus virgiliiana* con

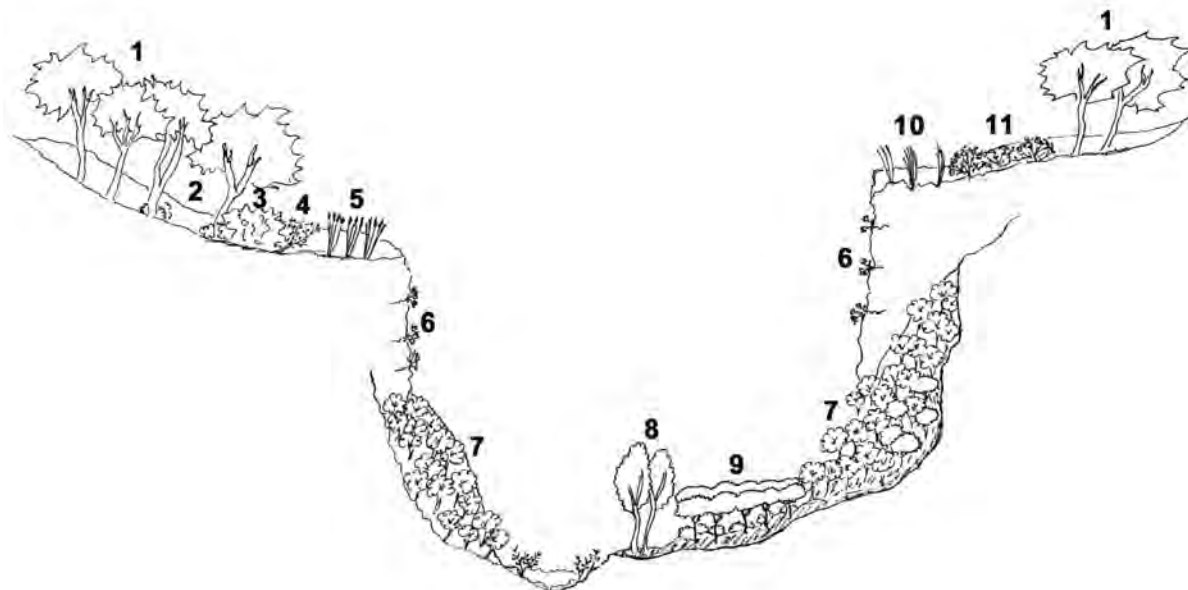


Fig. 20 – Geosigmetum della Murgia materana e laertina: 1. *Teucro siculo-Quercetum trojanae*; 2. Orli della classe *Trifolio-Geranietea*; 3. *Roso sempervirentis-Rubetum ulmifolii*; 4. *Asparago acutifolii-Osyridetum albae*; 5. *Cardopatio corymbosi-Brometum erecti*; 6. *Aurinio-Centauretum apulae*; 7. *Cyclamino hederifolii-Quercetum ilicis*; 8. Aggruppamento a *Ulmus minor*; 9. *Cyclamino hederifolii-Quercetum ilicis carpinetosum orientalis*; 10. *Centaureo apulae-Andropogonetum distachyi*; 11. *Chamaecytiso spinescens-Cistetum eriocephali*

elevata presenza di *Carpinus orientalis* riferibili all'associazione del *Teucro siculo-Quercetum trojanae*, che si rinvengono sui ripiani della Murgia materana e laertina, fino ai 500 m di altitudine nel piano bioclimatico mesomediterraneo superiore secco superiore.

A contatto dinamico con la fitocenosi boschiva si colloca una formazione arbustiva dominata da *Crataegus monogyna* e *Rubus ulmifolius* a cui si associa sempre *Rosa sempervirens*, inquadrata nell'associazione del *Roso sempervirentis-Rubetum ulmifolii*. A queste formazioni arbustive si collega, nelle posizioni più nemorali, un'orlo di vegetazione inquadrabile nella classe *Trifolio-Geranietea*, mentre nelle esposizioni più soleggiate un mantello denso di vegetazione ad *Osyris alba* ed *Asparagus acutifolius* dell'associazione *Asparago acutifolii-Osyridetum albae*. La prateria di sostituzione è rappresentata da una fitocenosi emicriptofitica mesoxerofila a dominanza di *Bromus erectus* riferibile all'associazione del *Cardopatio corymbosi-Brometum erecti* che si sviluppa sui versanti subpianeggianti presenti all'origine della gravina, dove i processi erosivi non influenzano la morfologia e si verifica una maggiore attività pedogenetica.

IIIB - Serie delle murge laertino-materane, calcicola, edafoxerofila, secca superiore e subumida inferiore del leccio

Cyclamino hederifolii-Querco ilicis Σ *carpineto orientalis* sigmetosum

Questa serie si sviluppa sui versanti scoscesi e rupestri della gravina di Laterza, in corrispondenza delle esposizioni più fresche a quote comprese fra i 150 e 300 m s. m.

La vegetazione più evoluta è rappresentata dal bosco di leccio che negli impluvi ed in prossimità del fondo della gravina si arricchisce di specie caducifoglie come il Carpino orientale e viene riferito all'associazione del *Cyclamino hederifolii-Quercetum ilicis* subass. *carpinetosum orientalis*. Sui versanti più erosi si impianta, in forma pulvinata, la macchia a *Pistacia lentiscus* ed *Olea europaea* L. var. *sylvestris* dell'associazione *Coronillo emeroidis-Pistaciectum lentisci*, a cui si collega sindinamicamente, in corrispondenza di terrazzi leggermente inclinati, una prateria xerofila a dominanza di *Andropogon distachyus*, inquadrabile nell'associazione *Centaureo apulae-Andropogonetum distachyi*. Nelle aree percorse da incendi si sviluppano le garighe a cisti a cui possono seguire nelle zone meno degradate macchie a dominanza

di *Calicotome infesta* dell'associazione *Oleo sylvestris-Calicotometum infestae*.

IIIC - serie delle murge laertino-materane, edafomesofila mesomediterranea superiore secca superiore del leccio

Festuco exaltatae-Querco ilicis Σ *carpineto orientalis sigmetosum*

In corrispondenza dei paleoterrazzi fluviali più elevati rispetto al fondo dell'ampio alveo fluviale della gravina di Laterza, dove c'è accumulo di sostanza organica, si sviluppa una boscaglia rupestre molto densa caratterizzata dall'abbondante presenza di Carpino orientale inquadrata nella subassociazione *carpinetosum orientalis* dell'associazione *Festuco exaltatae-Quercetum ilicis*. Ad essa si collega sindinamicamente la vegetazione di mantello del *Roso sempervirentis-Rubetum ulmifolii* nella variante a *Carpinus orientalis*.

IID - Serie delle murge laertino-materane, edafomesofila mesomediterranea superiore secca superiore del leccio

Sul fondo della gravina, in corrispondenza della zona di esondazione del corso d'acqua,

su sedimenti alluvionali ciottolosi derivanti dai calcari, si rinviene la tappa più evoluta della serie rappresentata da un'aggruppamento molto frammentario meso-igrofilo ad *Ulmus minor*, a cui per effetto dell'esondazione del corso d'acqua, non segue alcun stadio regressivo. In queste stazioni il corso d'acqua scorre lentamente e al margine delle anse, si sviluppa una vegetazione indifferenziata a *Paspalum paspalooides* e nei punti in cui si accumula un minimo di substrato una vegetazione frammentaria a *Polygonum lapathifolium*.

IV – GEOSIGMETUM DELLE “LAME” DELL’ARCO JONICO

Questa unità di paesaggio si sviluppa nel settore meridionale e occidentale dell'arco jonico, dove le gravine si estinguono e lasciano il posto alle “lame”. Queste sono incisioni di minore entità su cui affiorano le argille grigio-azzurre del Pleistocene, caratterizzate dall'essere sviluppate in larghezza più che in profondità a causa della composizione del suolo più friabile. Verso la costa la morfologia diventa pianeggiante e presenta debolissime pendenze verso il mare e, a luoghi, leggere contropendenze.

IV A - Serie della piana subcostiera sud adriatica jonica, climatofila, subacidofila, mesomediterranea secca inferiore della quercia virgiliana

Irido collinae-Querco virgiliiana Σ

La tappa più matura della serie è rappresentata dai boschi a *Q. virgiliiana* che si sviluppano lungo i fianchi della lama del fiume Lato interessati da affioramenti argillosi del Pleistocene. Queste formazioni, in questo contesto, assumono un significato relittuale in quanto occupano estensioni molto limitate. Essendo il fondo della lama e la pianura subcostiera che la sovrasta intensamente coltivate, non è possibile individuare le tappe successive della serie, ma è possibile solo riconoscere l'arbusteto di contatto rappresentato dall'associazione del *Roso sempervirentis-Rubetum ulmifolii*.

V - MICROGEOSIGMETA DELLE PARETI CALCAREE

Sulle pareti calcaree delle gravine si sviluppano successioni catenali di comunità che si susseguono dalla parte basale sino alla sommità, in relazione alle condizioni di ombreggiamento e di umidità.

Sulle pareti soleggiate esposte quasi sempre a meridione si sviluppano le comunità casmofitiche termoxerofile dell'associazione *Capparidetum inermis*, che si rinvengono nelle parti basali maggiormente influenzate dalle attività umane, mentre in corrispondenza dei tratti più elevati si rinviene l'associazione dell'*Aurinio-Centauretum apulae* che si insedia sulle pareti verticali di calcare compatto. Nelle zone di contatto fra le due associazioni si sviluppa la subassociazione *campanuletosum versicoloris* dell'associazione *Capparidetum inermis*.

Nelle stazioni umide esposte a settentrione, prossime a sorgenti, si sviluppa l'associazione del *Cymbalaria muralis-Trachelietum coerulei*, che in corrispondenza dello stillicidio d'acqua si rinviene nella subassociazione *adiantetosum*, maggiormente sciafila ed igrofila.

Ringraziamenti

Gli autori ringraziano la Dott.ssa Simona Casavecchia, dell'Università Politecnica delle Marche, per l'aiuto fornito nelle varie fasi della ricerca; ringraziano inoltre il Dr. Pietro Medagli, dell'Università degli Studi di Lecce, per le importanti informazioni di carattere floristico. Il Dr. Valentino Valentini per le utili informazioni di carattere naturalistico e il Sig. Teo Dura

per avere concesso l'uso delle proprie foto di alcune piante importanti delle Gravine.

Bibliografia

- Agostini R., 1967. Osservazioni fitosociologiche sulle pinete a *Pinus halepensis* Mill. nel territorio di Taranto, Arch. Bot. e Biogeograf. Ital. 43: 337-401. Forlì
- Allegrezza M., Biondi E. & Felici S., 2006. A phytosociology analysis of the vegetation of the central Adriatic sector of the Italian peninsula. *Hacquetia* 5/2: 135-175.
- Allegrezza M., Biondi E., Formica E. & Ballelli S., 1997. La vegetazione dei settori rupestri calcarei dell'Italia centrale. *Fitosociologia* 32: 91-120.
- Anderberger M.R., 1973. Cluster Analysis for Application. Academic Press, New York.
- Armenise V. & Rainieri L., 1958. Studio geobotanico del comprensorio delle Pianelle (Taranto). La vegetazione della scarpata S-SW del terzo gradino murgiano. Nuovo Giorn. Bot. Italiano. Vol. 65 (1-2):114-132.
- Aronne G. & Mazzoleni S., 1989. The effects of heat exposure on seeds of *Cistus incanus* L. and *Cistus monspeliensis* L.. Giorn. Bot. Italiano 123: 283-289.
- Barbero M. & Quezel P., 1989. Contribution à l'étude phytosociologique des matorrals de Méditerranée orientale. *Lazaroa* 11: 37-60.
- Bartolo G. & Brullo S., 1986. La classe *Parietarietea judaicae* in Sicilia. Arch. Bot. Biogeogr. It. 62(1-2):31-50.
- Bartolo G., Brullo S., Minissale P. & Spampinato G., 1985. Osservazioni fitosociologiche sulle pinete a *Pinus halepensis* Miller del bacino del Fiume Tellaro (Sicilia sud-orientale). Boll. Acc. Gioenia Sci. Nat. Catania 18(325): 255-270.
- Bartolo G., Brullo S. & Signorello P., 1989. La classe *Crithmo-Limonietea* nella penisola italiana. Coll. Phytosoc. XIX: 55-81.
- Bertoloni A., 1835. Flora italica, vol.II, 479.
- Bianco P., 1961a. Ricerche sul ciclo riproduttivo di specie del genere *Quercus* della flora italiana. VI Contributo alla biologia di *Quercus trojana* Webb in Puglia Ann. Acc. Ital. Sci. For. 10: 59-96.
- Bianco P., 1961b. Studio biometrico su *Quercus trojana* Webb della Puglia. Ann. Acc. Ital. Sci. For. 10: 111-133
- Bianco P. & Sarfatti G., 1961. Stazioni di roccia a monte S. Nicola (Monopoli, Puglia) con osservazioni sull'areale di *Campanula versicolor* Sib. et Sm., *Carum multiflorum* Boiss. e *Scrophularia lucida* L. Nuovo Giorn. Bot. Ital. n.s. 68: 21-35.
- Bianco P., 1962a. Osservazioni sul rapporto tra alcuni fattori climatici ed il ciclo di fioritura delle specie spontanee di cinque stazioni delle Murge di Sud-Est (Puglia). Ann. Fac. Agr. Univ. Bari 16: 1-25.
- Bianco P., 1962b. Osservazioni sul comportamento fenologico in rapporto alle forme biologiche nella vegetazione delle Murge di Sud-Est (Puglia). Giorn. Bot. Ital. 69:227-231.
- Bianco P., De Nicolo' R. & Tommasi F., 1976a. Nuovo reperto della flora meridionale d'Italia; l'*Allium moschatum* L. nei territori di Laterza e Castellaneta (Taranto). Ann. Fac. Agr. Univ. Bari 28: 219-227.
- Bianco P., 1976b. Resoconto sulla escursione sociale in Puglia (27-30 Aprile 1975) della Società botanica italiana. Ann. Fac. Agr. Univ. Bari 28: 271-317.
- Bianco P., De Nicolo' R. & Tommasi F., 1976c. Nuove stazioni in Puglia di *Centaurea subtilis* Bert. Endemismo della Puglia e della Lucania. Ann. Fac. Agr. Univ. Bari 28: 669-676.
- Bianco P., 1990. La vegetazione spontanea delle Murge: contenuti e meriti. Relazione tenuta per il C.S.E.R.C. di Acquaviva. Tip. Meridionale, Cassano Murge.
- Bianco P., Castellano M.A., Piro G. & Schirone B., 1981-82. Note sulle campanule rupicole italiane: III. Revisione della distribuzione geografica pugliese di *Campanula versicolor* Andrews. Ann. Fac. Agr. Univ. Bari 32: 225-246.
- Bianco P., Bedalov M., Medagli P. & Mastropasqua L., 1984. Un contributo alla conoscenza dell'associazione *Oleo-Euphorbietum dendroidis* Trinajstic nelle stazioni pugliesi e confronto con quelle dell'Adriatico orientale jugoslavo. Not. Fitosc. 19 (II): 23-28.
- Bianco P., Medagli P. & D'emericò S., 1987. Segnalazioni floristiche italiane: 513-515. Inf. Bot. Ital. 19 (3): 346.
- Bianco P., Brullo S., Pignatti E. & Pignatti S., 1988. La vegetazione delle rupi calcaree della Puglia. Braun-Blanquetia 2: 133-151.
- Bianco P., Medagli P. & D'Emerico S., 1989a. Reperti floristici rari o notevoli della gravina di Laterza (Taranto). Giorn. Bot. Ital. 123 (1): 43.
- Bianco P., Medagli P. & D'Emerico S., 1989b. Nuovi dati distributivi e osservazioni morfologiche su *Aegilops uniaristata* Vis. (*Gramineae*), entità mediterraneo orientale riaccertata per la flora italiana. Webbia 43: 19-24.
- Bianco P., Medagli P., D'Emerico S. & Bedalov M., 1988. Nouvelle découvertes en Italie d'*Euphorbia wulfenii* Hoppe et considerations sur son milieu, morphologie et caryologie. Rapp. Comm. Int. Mer Médit. 31 (2):128.
- Bianco P., Medagli P. & D'Emerico S., 1991. Primo elenco di entità floristiche in pericolo di estinzione in Puglia. Giorn. Bot. Ital. 125 (1): 437.
- Bianco P., Brullo S., Minissale P., Signorello P. & Spampinato G., 1998. Considerazioni fitosociologiche sui boschi a *Quercus trojana* Webb. della Puglia (Italia meridionale). Studia Geobotanica 16: 33-38.
- Biondi E., 1985. Indagine fitosociologica sulle cenosi riferibili

- alla classe *Quercetea ilicis* presenti sul promontorio del Gargano (Adriatico meridionale). Not. Fitosoc. 22: 59-76.
- Biondi E., 1988. Aspetti di vegetazione alo-nitrofila sulle coste del Gargano e delle Isole Tremiti. Arch. Bot. e Biogeograf. Ital. 64 (1-2): 19-33.
- Biondi E. & Allegrezza M., 1996. Il paesaggio vegetale del territorio collinare anconetano. Giorn. Bot. Ital. 130 (1): 117-135.
- Biondi E., Allegrezza M. & Guitian J., 1988. Mantelli di vegetazione nel piano collinare dell'Appennino centrale. Doc. Phytosoc. XI: 479-490.
- Biondi E., 1994. The phytosociological approach to landscape study. Ann. Bot. (Roma) 52: 135-141.
- Biondi E., 1996. L'analisi fitosociologica nello studio integrato del paesaggio. In "Avances en Fitosociología": 13-22. Servicio Edit. Universidad del País Vasco, Bilbao.
- Biondi E., 1997. Sintaxonomy of the mediterranean chamaephytic and nanophanerophytic vegetation in Italy. Coll. Phytosoc. 27: 123-145.
- Biondi E., Izco J., Balleli S., Izco & Formica E., 1997. La vegetazione dell'ordine *Thero Brachypodietalia* Br.-Bl. 1936 nell'Appennino centrale (Italia). Fitosociologia 32: 273-278.
- Biondi E., 1999. La vegetazione a *Paliurus spina christi* Miller: studio delle formazioni adriatiche e revisione sintassonomica. Doc. Phytosoc. XIX: 432-438.
- Biondi E., Bagella S., Casavecchia S. & Pinzi M., 2002. La vegetazione arbustiva di un settore costiero dell'adriatico centrale italiano. Fitosociologia 39(1) suppl. 2: 75-80.
- Biondi E., Casavecchia S. & Gigante D., 2003. Contribution to the syntaxonomic knowledge of the *Quercus ilex* L. woods of the central European Mediterranean Basin. Fitosociologia 40 (1): 129-156.
- Biondi E., Casavecchia S., Guerra V., Medagli P., Beccarisi L. & Zuccarello V., 2004. A contribution toward the knowledge of semideciduous and evergreen wood of Apulia (south-eastern Italy). Fitosociologia 41 (1): 3-28.
- Biondi E., Feoli F. & Zuccarello V., 2004. Modelling Environmental Responses of Plant Associations: a Review of some Critical Concepts in Vegetation Study. Critical Reviews in Plant Sciences 23(2):149-156.
- Blasi C., Di Pietro R. & Filesi L., 2004. Syntaxonomical revision of *Quercetalia pubescenti-petraeae* in the Italian Peninsula. Fitosociologia 41 (1): 87-164.
- Blasi C., Di Pietro R. & Fortini P., 2000. A phytosociological analysis of abandoned terraced olive grove shrublands in the Tyrrhenian district of central Italy. Plant Biosystem 134 (3) 305-331.
- Blasi C. & Di Pietro R., 2001. Sulla presenza di una nuova associazione a *Paliurus spina christi* L. nel Lazio meridionale. Inf. Bot. Ital. 33 (2): 407-415.
- Blasi C., Cutini M., Di Pietro R. & Fortini P., 2002. Contributo alla conoscenza della sub-alleanza *Pruno-Rubenion ulmifolii* in Italia. Fitosociologia 39 (1) (suppl.2): 129-143.
- Boenzi F., Radina B., Richetti G. e Valduga A., 1971. Note illustrative della Carta Geologica d'Italia 1:100.000, Foglio 201 "Matera". Servizio geologico d'Italia, Roma.
- Bolòs De O., 1962. La bardissa, una formación vegetal tipica del paisaje del Pireneo mediterraneo. Actas del Tercer Congreso Internacional de Estudios Pirenaicos Cerona 1958, Zaragoza.
- Bolòs De O., Masalles R.M., Ninot J.M. & Vigo J., 1996. A survey on the vegetation of Cephalonia (Ionian islands). Phytocoenologia 26(1): 81-123.
- Braun-Blanquet J., 1931. Pflanzensoziologie. Grunzüge der vegetationskunde. Springer-Verlag, Wien.
- Brullo S., 1988. Note tassonomiche sulla flora pugliese (Italia meridionale). Braun -Blanquetia 2: 31-32.
- Brullo S., Scelsi F. & Spampinato G., 2001. La vegetazione dell'Aspromonte. Studio fitosociologico. Laruffa Editore. Reggio Calabria.
- Burba N., Feoli E., Malaroda M. & Zuccarello V., 1992. Un sistema informativo per la vegetazione. Manuale di utilizzo dei programmi. Collana Quaderni C.E.T.A., n.2. GEAD-EQ N.11.
- Caneva G., De Marco G. & Mossa L., 1981. Analisi fitosociologica e cartografia della vegetazione (1:25.000) dell'Isola di S.Antioco (Sardegna sud-occidentale). Coll. Progr. Fin. Prom. Qual. Amb., AQ/1/124, CNR, Roma.
- Caneva G., De Marco G., Dinelli A. & Vinci M., 1995. Le classi *Parietarieta diffusae* (Rivas-Martinez 1964) Oberd. 1977 e *Adiantetea* Br.-Bl. 1947 nelle aree archeologiche romane. Fitosociologia 29: 165-179.
- Conti F. & Pirone G., 1988. Segnalazioni floristiche italiane: 524-533. Inf. Bot. Ital. 20 (2-3): 655.
- Conti F., Abbate G., Alessandrini A. & Blasi C., 2005. An Annotated checklist of Italian Vascular Flora. Palombi Editori.
- Crivellari D., 1950. Inchiesta sulla distribuzione del genere *Quercus* in Puglia. Nuovo Gior. Bot. Ital., n.s. 57: 335-350.
- D'Amato F., 1949. Sull'areale pugliese di *Quercus troiana* Webb. Atti della Soc. Toscana di Sc. Naturali, Memorie, Ser. B, 56: 98-114.
- D'Amico F.S., 1991. Segnalazioni floristiche italiane: 646-648. Inf. Bot. Ital. 23 (2-3): 140.
- Delforge P., 2001. Guide des Orchidées d'Europe, d'Afrique du Nord et du Proche-Orient. Delchaux et Niestlé S.A., Lausanne (Switzerland) - Paris, 1994.
- De Marco G. & Caneva G., 1984. Analisi sintassonomica e fitogeografica comparata di alcune significative cenosi a *Pinus halepensis* Mill. in Italia. Not. Fitosoc. n. 19 (I): 155-176.

- De Marco G., Veri L. & Caneva G., 1984. Analisi fitosociologica, cartografia della vegetazione e trasformazioni ambientali nel periodo 1955-1981 delle isole Tremiti (Adriatico centro-meridionale). Ann. Bot. (Roma) 42 (suppl.2): 17-47, Roma.
- D'Erasmo G., 1933. Il mare pliocenico nella Puglia. Memorie geologiche e geografiche di Giotto Dainelli, Vol. IV (1933-34): 45-138
- Fanelli G., Lucchese F. & Paura B., 2001. Le praterie a *Stipa austroitalica* di due settori adriatici meridionali (Molise e Gargano). Fitosociologia 38 (2): 25-36.
- Fenaroli L., 1966. Il Gargano, suoi aspetti vegetazionali e floristici. Ann. Acc. Ital. Sc. For. 15: 109-137.
- Fenaroli L., 1974. Flora gorganicae Prodromus. Pars quarta. Webbia vol. 29, n.1, 1974.
- Fiori A., 1923-29. Nuova Flora analitica d'Italia, 1-2. Tip.M. Ricci, Firenze.
- Forte L., Perrino E.V. & Terzi M., 2005. Le praterie a *Stipa austroitalica* Martinovsky ssp. austroitalica dell'Alta Murgia (Puglia) e della Murgia Materana (Basilicata). Fitosociologia 42 (2): 83-103.
- Francini Corti E., 1953. Il Pino d'Aleppo in Puglia. Annali della Facoltà di Agraria dell'Università di Bari, vol. VIII, Bari, pp. 309-416.
- Francini Corti E., 1966. Aspetti della vegetazione pugliese e contingente paleogeico meridionale nella Puglia. Annali Accademia Italiana Scienze Forestali, vol. XV, pp. 137-193.
- Francini Corti E., 1967. Problemi di fitogeografia della Puglia. Arch. Bot. Biogeogr. 43: 195-226.
- Furnari F., 1965. Boschi di *Quercus suber*L., di *Quercus ilex* L. e garighe del Rosmarino-Ericion in territorio di Santo Pietro (Sicilia meridionale). Boll. Ist. Bot. Univ. Catania, s.3,5: 1-31.
- Géhu J. M. & Biondi E., 1988. Donnes sur la vegetation des ceintures d'atterrissement des Alimini (Salento, Italiae). Doc. Phytosoc. 11: 359-376.
- Géhu J. M. & Biondi E., 1997. Sur les variations floristico - chorologiques de l'*Oleo- Euphorbietum dendroidis* Trinajstic (1973) 1984. Fitosociologia 32: 153-159.
- Géhu J.M. & Rivas-Martinez S., 1981. Notions fondamentales de phytosociologie Ber. Int. Simp.Int. Vereinigung Vegetationskunde: 533.
- Géhu J.M. & USLU T., 1989. Données sur la végétation littorale de la Turquie du Nord-Ouest. Phytocoenologia 17(4) : 449-505.
- Greuter W., Burdet H.M & Long G. (eds.), 1984-89. Med-Checklist. Conservatoire et Jardin botaniques de la Ville de Genève, Genève.
- Gridelli E., 1950. Il problema delle specie a diffusione transadriatica, con particolare riguardo ai coleotteri. Istituto di Studi Adriatici. Memorie di Biogeografia Adriatica 1: 7-299.
- Grimaldi V., 1956. La vegetazione della Gravina della Madonna della Scala presso Massafra (Taranto). Nuovo Giorn. Bot. Ital, n.s. 63: 163-185.
- Grünanger P., 2000. Orchideacee d'Italia. Quad. Bot. Ambientale Appl. 11 (2000): 3-80.
- Jalas J. & Suominen J., 1976. Atlas Flora Europaea. Vol. 3. Helsinki.
- Lacaita C., 1921. Piante italiane critiche o rare. Nuovo Giorn. Bot. Ital. 28: 113-156.
- Lapraz G., 1982. Les pelouses du *Thero-Brachypodion* entre Nice et Menton: l'association a *Trifolium scabrum* et *Hypochoeris achyrophorus* (*Trifolio scabri-Hypochoeridetum achyrophori*). Coll. Phytosoc. 11: 169-183.
- Krause W., Ludwig W. & Seidel F., 1963: Zur Kenntnis der Flora und Vegetation auf Serpentinstandorten des Balkans. 6. Vegetationsstudien in der Umgebung von Mantoudi (Euböa). Bot. Jb. 82: 337-403.
- Horvatic S., 1958. Tipolosko rasclanjenje primorske vegetacije gariga i borovih suma. Acta Bot. Croatica 17: 7-98.
- Horvat I., Glacav V. & Ellemburg H., 1974. Vegetation Südosteuropas. Geobotanica selecta, 4. Fisher, Stuttgart.
- Lavagne A., 1972. La végétation de l'ile de Port-Cros. Laboratoire de phytosociologie et cartographie végétale. Marseille-Saint Charles.
- Macchia F., 1969. L'*Iris pseudopumila* Tin. nel Salento (Puglia) e la sua attuale area di distribuzione in Italia. Giorn. Bot. Ital. 103 (6): 619.
- Martinis B. & Robba E., 1971. Note illustrative della Carta Geologica d'Italia 1:100.000, Foglio 202 "Taranto". Servizio geologico d'Italia, Roma.
- Martinovski J.O., 1965. Die italienischen *Stipa*-Sippen der sektion *Pennatae*. Webbia 20: 711-736.
- Medagli P., 1995. La Flora. In: P. Parenzan, La Gravina di Riggio. Grottaglie. Schena Editore, Fasano.
- Medagli P. & D'Amico F.S., 1989a. In: P. Parenzan, La Gravina dei Pensieri (Grottaglie). Comune di Taranto.
- Medagli P. & D'Amico F.S., 1989b. In: P. Parenzan Petruscio. La gravina di Mottola. Natura e civiltà rupestre. Congedo Editore, Galatina.
- Molinier R., 1954. Observations sur la végétation de la zone littorale en Provence. Vegetatio 5-6: 257-267.
- Moraldo B., 1986. Il genere *Stipa* L. (Gramineae) in Italia Webbia 40 (2): 203-278.
- Moraldo B. & Ricceri C., 2003. Alcune novità tassonomico-nomenclaturali sul genere *Stipa* L. (Poaceae) in Italia. Webbia 58(1): 103-111.
- Oberdorfer E., 1954. Nord Agaische Krant unt Zwergerstauchfluren im Vergleich Mittelmeergebietes.

- Vegetatio 5-6: 88-96.
- Palanza A., 1900. Flora della Terra di Bari. In: A. Jatta. La terra di Bari sotto l'aspetto storico, economico e naturale. Pubblicazione della Provincia di Bari per l'Esposizione universale di Parigi. Vol. III. Tipografia V. Vecchi, Trani: 153-244.
- Pignatti S., 1982. Flora d'Italia. I-II-III. Edagricole, Bologna.
- Poldini L., Vidali M., Biondi E. & Blasi C., 2002. La classe *Rhamno-Prunetea* in Italia. Fitosociologia 39 (1) (suppl. 2): 145-162.
- Poldini L., Vidali M. & Zanatta K., 2002. La classe *Rhamno-Prunetea* in Friuli Venezia Giulia e territori limitrofi. Fitosociologia 39 (1) (suppl.2) : 29-56.
- Quezel P., 1964. Vegetation des hautes montagnes de la Grece meridionale. Vegetatio 12: 289-385.
- Rivas-Martinez S., 1978. Sur la taxonomie des pelouses therophytiques de l'Europe Occidentale. Coll. Phytosoc. 6: 55-72.
- Ricchetti G., 1967. Osservazioni preliminari sulla geologia e morfologia dei depositi quaternari nei dintorni del Mar Piccolo (Taranto). Atti Acc. Gioenia Sc. Nat. Catania, s. 6, 18 (suppl.): 123-130.
- Rivas-Martinez S., 1995. Clasificacion bioclimatica de la Tierra. Folia Botanica Madritensis 16: 1-29.
- Rivas-Martinez S., 1969. Vegetatio Hispaniae. Notula I. Publ. Inst. Biol. Aplicada 46: 5-34.
- Rivas-Martinez S., Sanchez-Mata D. & Costa M., 1999a. North American boreal and Western temperate forest vegetation. Itinera Geobotanica 12: 5-316.
- Rivas-Martinez S., Diaz T.E., Fernández-González F., Izco J., Lousá M. & Penas A., 2002. Vascular plant communities of Spain and Portugal. Addenda to the syntaxonomical checklist of 2001. Itinera Geobotanica 15 (1):5-432
- Rivas-Martínez S., Fernández-González F., Loidi J., Lousá M. & Penas A., 2001. Syntaxonomical checklist of vascular plant communities of Spain and Portugal to association level. Itinera Geobotanica 14:5-341.
- Rivas-Martínez S., Penas A. & Diaz T.E., 2004. Bioclimatic Map of Europe, Bioclimates. Cartographic Service, University of Leon, Spain.
- Rivas-Martínez S., Penas A. & Diaz T.E., 2004. Biogeographic map of Europe (scale 1: 16.000.000). Cartographic Service, University of Leon, Spain.
- Scoppola A., 1999. Vegetazione terofitica dei travertini del bacino termale di Viterbo (Lazio, Italia centrale). Inf. Bot. Ital., 31 (1-3): 25-38.
- Tenore M., 1811-1836. Florae Neapolitanae Sylloge, vol.III, 97. Napoli
- Theurillat J.P., 1992. Etude et cartographie du paysage vegetal (symphtocoenologie) dans a Region d'Aletsch (Valais, Suisse). 2 vol. Centre alpin de Phytoceographie, Champex et Conservatoire et Jardin botaniques de la ville de Genève, Krypto, Teufen.
- Trabaud L., 1987. Dynamics after fire of sclerophyllous plant communities in the Mediterranean basin. Ecologia Mediterranea XIII (4).
- Trinajstic I., 1973. O zoni sveze *Oleo-Ceratonion* u istocnjadranskom dijelu balkanskog poluotoka. Acta Biologica Jugoslavica, Ekologija 8 (2): 283-294.
- Trinajstic I., 1977. Istrazivanja vegetacije sveze *Oleo-Ceratonion* Br.-Bl. na otoku Lastovu. Acta Bot.Croat. 36: 125-134.
- Trinajstic I., 1984. Vegetacija sveze *Oleo-Ceratonion* Br.-Bl. u Jadranskom primorju Jugoslavije. Acta Bot.Croat. 43: 167-173.
- Trinajstic I., 1978. Razred *Paliuretea* Trinajstic, class. Nov. In: I. Sugar (ed). Vegetacijska Karta SR Hrvatske List 77 Pula 1:100.000. Veget. Karta Hrvat., 1: 1-80. Zagreb.
- Trinajstic I., 1996. Syntaxonomisch-nomenklatorische revision der Ostadiatischen vegetation mit *Paliurus* (*Rhamno-Paliurion* Trinajstic, nom. nov.). Ann. Mus. civ. Rovereto, 11 (Suppl.II): 209-215.
- Tuseo C., 1953. Appunti sulla flora dei dintorni di Ginosa (Prov. Di Taranto). Nuovo Giorn. Bot. Ital., n.s., 60: 903-912.
- Tutin T.G., Burges N.A., Charter A.O., Edmonson J.R., Heywood V.H., Moore D.M., Valentine D.H., Walters S.M., & Webb D.A., 1964-80. Flora Europea, 1-5. Cambridge Univ. Press.
- Valentini V. & Valentini G. B., 1998. Le gravine del Tarantino. Origini natura storia Nuova Editrice Apulia.
- Valduga A., 1965. Studi geologici e morfologici sulla regione pugliese. I. Contributo alla conoscenza geologica delle Murge Baresi. Ist. Geol. Paleont. Univ. Bari, 14 pp., 1 tav., Bari
- Weber H.E., Moravec J. & Theurillat J.-P., 2002. International Code of Phytosociological Nomenclature. 3rd edition. Journal of Vegetation Science 39(1) suppl.1: 5-48.

Addenda

Località e data dei rilievi

Tab. 3 - Aggruppamento a *Ulmus minor*

Ril.1 - Gravina di Laterza, zona di esondazione in prossimità del fosso 24/08/02; ril. 2 - Gravina di Laterza, fondo della gravina 21/06/03; ril. 3 - Gravina di L'Amastuola (Crispiano), confluenza 07/08/03.

Tab. 4 - *Irido collinae-Quercetum virgilianae* Biondi, Casavecchia, Guerra, Medagli, Beccarisi, Zuccarello 2004

Ril. 1 - Lama del fiume Lato, vicino Masseria Perrone (Castellaneta) 04/10/03. ril. 2 - Lama del fiume Lato, "Passo di Giacobbe" (Castellaneta) 04/10/03.

Tab. 5 - *Roso sempervirentis-Rubetum ulmifolii* Blasi, Di Pietro, Fortini 2000
variante a *Carpinus orientalis*
variante a *Pistacia terebinthus L. x saportae*

Ril. 1 - Gravina di Laterza, vicino Chiesa rupestre di San Vito 21/06/03; rill. 2, 3 - Gravina di Alezza (Crispiano) 16/05/02; ril. 4 - Gravina di Laterza, vicino sentiero n. 3 23/06/01; ril. 5 - Gravina di Alezza (Crispiano) 16/05/02; ril. 6 - Gravina di Laterza, vicino pineta Scivolizzo, 10/06/01; ril. 7 - Gravina di Laterza, vicino Chiesa rupestre di San Vito 20/07/03; ril. 8 - Gravina di Laterza, vicino sentiero n. 3 26/09/03; ril. 9 - Gravina di Laterza, vicino Chiesa rupestre di San Vito 31/08/06.

Tab. 6 - *Asparago acutifolii-Osyridetum albae* Allegrezza, Biondi, Formica, Ballelli, 1997

Ril. 1 - Gravina di Laterza, vicino Chiesa rupestre di San Vito 31/08/06; ril. 2 - Gravina del Triglio (Statte) 03/05/02; ril. 3 - Gravina di Alezza (Crispiano) 16/05/02; ril. 4 - Gravina di Laterza, vicino masseria Campanello 08/08/03; ril. 5 - Gravina di Laterza, "Selva San Vito" 04/05/03; ril. 6 - Gravina di Laterza, vicino Chiesa rupestre di San Vito 20/07/03; ril. 7 - Gravina del Varco (Laterza) 14/09/03.

Tab. 7 - *Coronillo valentinae-Juniperetum turbinatae*

Ril. 1 - Gravina di Laterza, Lamia forniello 26/05/01; ril. 2 - Gravina di Laterza , Lamia forniello 27/04/02; ril. 3 - Gravina di Laterza 12/05/02; ril. 4 - Gravina di Laterza, a Sud di Masseria Cangiulli 18/05/02; ril. 5 - Gravina di Laterza, Località La Guardiola 27/06/02; ril. 6 - Gravina di Laterza , a Sud di Masseria Cangiulli 24/08/02.

Tab. 8 - *Coronillo emeroidis-Pistacietum lentisci*

Ril. 1 - Gravina di Laterza, vicino Chiesa rupestre di San Vito 13/06/01; ril. 2 - Gravina di Laterza, a sud di Lamia Scaravace 28/04/02; ril. 3 - Gravina di Laterza, sotto Grotta Croce 24/08/02; ril. 4 - Gravina di L'Amastuola (Crispiano) 14/05/02; ril. 5 - Gravina del Triglio (Crispiano) 04/05/02; ril. 6 - Gravina del Triglio (Crispiano) 10/05/02.

Tab. 9 - *Oleo sylvestris-Calicotometum infestae*

Ril. 1 - Gravina di Montecamplo (Laterza) 03/05/03; ril. 2 - Gravina di Laterza, a sud di Lamia Renzullo 01/05/02; ril. 3 - Gravina di Laterza, zona di fronte a Lamia forniello 27/06/02; rill. 4, 5 - Gravina di Laterza, a sud di Lamia Renzullo 27/06/02; ril. 6 - Gravina di Laterza, Passo Giacobbe 12/07/02.

Tab. 10 - *Coronillo emeroides-Euphorbietum dendroidis* Gèhu & Biondi 1997
subass. *coronilletosum valentinae*

Rill. 1, 2 - Gravina di Laterza a sud di Lamia Forniello, 10/07/01; ril. 3 - Gravina del Triglio, vicino Masseria Masseriola 17/04/02; ril. 4 - Gravina di Laterza, vicino Lamia Forniello 01/05/02; ril. 5 - Gravina del Triglio vicino confluenza 31/07/02; rill. 6, 7 - Gravina di L'Amastuola, in prossimità di Masseria Specchia 31/07/02.

Tab. 11 - *Cyclamino repandi-Paliuretum spinae-christi* Biondi 1999

Rill. 1,2 - Gravina di Giacoia (Castellaneta) 27/07/03; ril. 3 - Passo di Giacobbe (Laterza) 20/06/01; ril. 4 - Gravina del Triglio (Crispiano) 19/04/02; ril. 5 - Gravina del Triglio (Statte) 25/04/02; ril. 6 - Gravina del Triglio (Statte) 03/05/02; ril. 7 - Gravina del Triglio (Crispiano) 10/05/02; ril. 8 - Passo di Giacobbe (Laterza) 11/06/02; rill. 9,10 - Gravina di Miola (Crispiano) 30/07/03.

Tab. 12 - *Rubo ulmifolii-Myrtetum communis* Biondi & Bagella 2005

Rill.1, 2 Gravina di Leucaspide (Statte) 29/06/03.

Tab. 13 - *Convolvulo elegantissimae-Stipetum austroitalicae*

Ril. 1 - Gravina del Triglio (Statte), parte alta ex oliveto 29/08/06; ril. 2 - Gravina di Leucaspide (Statte), vicino tubazione dell'acquedotto 29/05/03; ril. 3 - Gravina di Leucaspide (Statte), vicino parco archeologico 19/05/04; ril. 4 - Gravina del Triglio (Statte) parte alta ex oliveto 07/05/04; ril. 5 - Gravina di Laterza, sulla strada per Ginosa 11/05/04; ril. 6 - Gravina del Triglio (Statte) 26/06/03; ril. 7 - Gravina di Miola (Crispiano) 25/05/03; ril. 8 - Gravina di Laterza, vicino centro visite 19/05/04; ril. 9 - Gravina di Laterza, vicino "Grotta Croce" 19/05/04.

Tab. 14 - *Cardopatio corymbosi - Brometum erecti*

Rill. 1, 2 - Gravina di Laterza, "Selva San Vito" 17/06/07; ril. 3 - Gravina di Laterza, "Selva San Vito" 31/08/06; ril. 4 - Gravina di Laterza, "Selva San Vito" 29/06/03; rill. 5, 6 - Gravina di Laterza, "Selva San Vito" 25/05/04.

Tab. 15 - *Centaureo apulae-Andropogonetum distachyi*

Ril. 1 - Gravina di Laterza, vicino sentiero n. 3 24/08/02; ril. 2 - Gravina di Laterza, vicino centro visite 11/06/03; ril. 3 - Gravina di Laterza, vicino sentiero n. 3 29/06/03; rill. 4, 5 - Gravina di Laterza, "Le Conche" 26/09/03.

Tab. 16 - *Stipo austroitalicae-Hyparrhenietum hirtae*

Ril. 1 - Gravina di Laterza, Lamia Renzullo 05/07/03; ril. 2 - Gravina del Triglio (Statte), sommità di versante 26/06/03;

ril. 3 - Gravina di Laterza, a sud di Lamia Renzullo 21/06/03; ril. 4 - Gravina di Leucaspide (Statte), vicino tubazione dell'acquedotto 28/05/03; ril. 5 - Gravina di Leucaspide (Statte), vicino tubazione dell'acquedotto 29/05/03; ril. 6 - Gravina di Leucaspide (Statte), pianoro 18/06/03; ril. 7 - Gravina del Varco (Laterza), pianoro 04/09/03; ril. 8 - Gravina del Triglio (Statte) 17/04/02.

Tab. 17 - *Helianthemum jonii-Thymetum capitati*
variante a *Rosmarinus officinalis*

Ril. 1 - Gravina di Laterza, vicino centro visite 01/07/01; ril. 2 - Gravina di Laterza, "Lamia Forniello" 10/07/01; ril. 3 - Gravina di Leucaspide (Statte), vicino confluenza 04/05/01; ril. 4 - Gravina di Leucaspide (Statte), vicino acquedotto 21/05/03; ril. 5 - Gravina di Leucaspide, vicino tubazione dell'acquedotto 23/05/03; ril. 6 - Gravina di Leucaspide, vicino tubazione dell'acquedotto 28/05/03; ril. 7, 8 - Gravina del Triglio (Crispiano) 16/04/02; ril. 9 - Gravina di Laterza, "Lamia Forniello" 12/05/02; ril. 10 - Gravina di Triglio (Crispiano) 10/05/02; ril. 11 - Gravina di Alezza (Crispiano) 25/04/01; ril. 12 - Gravina di L'Amastuola (Crispiano) 14/05/02; ril. 13 - Gravina di Leucaspide (Statte) vicino acquedotto 23/05/03; ril. 14 - Gravina del Triglio (Statte) 20/06/03; ril. 15 - Gravina del Triglio (Crispiano) 16/04/02; ril. 16 - Gravina del Triglio (Statte) 20/06/03; ril. 17 - Gravina del Triglio (Statte) 20/06/03.

Tab. 18 - *Ruto chalepensis-Salvietum trilobae*

Ril. 1 - Gravina del Triglio (Crispiano) 15/04/06; rill. 2, 3 - Gravina del Triglio (Crispiano) 17/04/02; ril. 4 - Gravina del Triglio (Crispiano), vicino Masseria Masseriola 30/09/03; ril. 5 - Gravina di Leucaspide (Statte) 25/05/01.

Tab. 19 - *Chamaecytiso spinescentis-Cistetum eriocephali*
Ril. 1 - Gravina di Montecamplo (Castellaneta) 03/05/03; ril. 2 - Gravina di Laterza, "Selva San Vito" 04/05/03; ril. 3 - Gravina di Laterza, vicino Chiesa rupestre di San Vito 20/07/03; ril. 4 - Gravina di Laterza, vicino sentiero 3 22/09/04; rill. 5, 6 - Gravina di Laterza, vicino sentiero n. 3 28/09/07.

Tab. 20- *Asyneumo limonifolii-Saturejetum montanae*

Ril. 1 - Gravina di Laterza, vicino sentiero n. 3 06/06/01; ril. 2 - Gravina di Laterza, vicino grotta croce 24/08/02; ril. 3 - Gravina di Laterza, Lamia Forniello 10/07/01; ril. 4 - Gravina di Laterza, vicino grotta Croce 22/09/04; ril. 5 - Gravina di Laterza, vicino sentiero n. 3 22/09/04.

Tab. 21 - *Phagnalo saxatilii-Saturejetum cuneifoliae*

Ril. 1 - Gravina di Leucaspide (Statte) 25/05/01; ril. 2 - Gravina di Leucaspide (Statte) 11/06/03; ril. 3 - Gravina di

Leucaspide (Statte) 19/06/03; ril. 4 - Gravina di Montecamplo (Castellaneta) 03/05/03.

Tab. 22 - *Phagnalo annotici-Fumanetum thymifoliae* Biondi 1997

subass. *coridothymetosum capitati*

Ril. 1 - Gravina di Laterza, vicino sentiero n. 3 05/05/02; ril. 2 - Gravina di Laterza, sopra grotta croce 24/08/02; ril. 3 - Gravina di Laterza, "Le Conche" 26/09/03; ril. 4 - Gravina di Laterza, vicino centro visite 19/05/04; ril. 5 - Gravina di Laterza, vicino sentiero n. 3 26/09/03.

Tab. 23 - Aggruppamento a *Cistus monspeliensis*

Ril. 1 - Gravina di Leucaspide, vicino tubazione dell'acquedotto 14/05/06; ril. 2 - Gravina di L'Amastuola (Crispiano) 14/05/02; ril. 3 - Gravina di Laterza, vicino Masseria Campanello 18/05/02; ril. 4 - Gravina di Leucaspide (Statte), vicino tubazione dell'acquedotto 28/05/03; ril. 5 - Gravina di Laterza, pianoro sopra "Grotta Croce" 17/10/07; ril. 6 - Gravina di Laterza, sopra "Grotta Croce" 24/08/02.

Tab. 24 - Aggruppamento a *Cistus creticus* L. ssp. *creticus*

Ril. 1 - Gravina di Laterza 17/06/01; ril. 2 - Gravina di Laterza Lamia Renzullo 28/05/06; ril. 3 - Gravina di Laterza 24/08/02; ril. 4 - Gravina di Leucaspide (Statte) 25/05/01; ril. 5 - Gravina di Laterza località "La Guardiola" 03/08/03.

Tab. 25 - *Medicago disciformis-Brachypodietum distachyi*
Onobrychido aequidentatae- Stipetum capensis

Ril. 1 - Gravina del Triglio (Statte), 07/04/02; ril. 2 - Gravina di Leucaspide (Statte), sommità della gravina 23/05/03; ril. 3 - Gravina di Laterza, Lamia Forniello 27/04/02; ril. 4 - Gravina di Leucaspide (Statte), pianoro vicino acquedotto 09/04/02; ril. 5 - Gravina di Leucaspide (Statte), sommità della gravina 23/05/03; ril. 6 - Gravina di Laterza, località La Guardiola 18/05/02; ril. 7 - Gravina di Leucaspide (Statte), sommità della gravina 23/05/03; ril. 8 - Gravina di Laterza, a sud della masseria Cangiulli 18/05/02; ril. 9 - Gravina di Leucaspide (Statte), pianoro vicino acquedotto 06/04/02; ril. 10 - Gravina di Laterza, sulla strada per Ginosa 11/05/04; ril. 11 - Gravina del Triglio (Crispiano) versante in destra idrografica 07/05/02; ril. 12 - Gravina del Triglio (Statte) sommità della gravina 10/05/02; ril. 13 - Gravina del Triglio (Crispiano) 07/05/02; ril. 14 - Gravina di Laterza, a Sud di Lamia Renzullo 27/06/02; ril. 15 - Gravina di Leucaspide (Statte), pianoro vicino acquedotto 06/04/02; ril. 16 - Gravina di Leucaspide (Statte), pianoro vicino acquedotto 29/05/03; rill. 17, 18 - Gravina di Montecamplo (Castellaneta) 03/05/03; ril. 19 - Gravina di Laterza, a Sud di Lamia Renzullo 21/06/03; ril. 20 - Gravina di Leucaspide (Statte), sommità della

gravina 11/06/03; ril. 21 - Gravina di Laterza, a sud di Lamia
Renzullo 28/05/06.

Tab. 26 - *Aurinio-Centauretum apulae* Bianco, Brullo, Pignatti & Pignatti 1988

Ril. 1 - Gravina di Leucaspide (Statte), confluenza 15/05/01;
ril. 2 - Gravina di Leucaspide (Statte), su calcarenite 15/05/01;
ril. 3 - Gravina di Leucaspide (Statte), confluenza 25/05/01;
ril. 4 - Gravina di Leucaspide (Statte), tra due grotte 25/05/01;
ril. 5 - Gravina di Laterza, Lamia Forniello 09/06/01;
ril. 6 - Gravina di Laterza, parete vicino grotta Croce 16/06/01;
ril. 7 - Gravina di Laterza, parete vicino grotta Croce 23/06/01.

Tab. 27 - *Cymbalaria muralis-Trachelietum coerulei* Rivas Martinez 1969

subass. *adiantetosum* Caneva, De Marco, Dinelli, Vinci, 1995
Ril. 1 - Passo di Giacobbe (Laterza) 12/07/02; ril. 2 - Passo di Giacobbe (Laterza) 19/07/02.

Tab. 28 - *Capparidetum inermis* O. Bolòs & Molinier 1958
subass. *campanuletosum versicoloris*

Ril. 1, 2, 3 - Gravina di Laterza, vicino "Grotta Croce", alla base della parete verticale 10/06/01; ril. 4 - Gravina Leucaspide (Statte), confluenza 25/05/01; ril. 5 - Gravina di Leucaspide (Statte), parete verticale 05/07/02; ril. 6 - Gravina del Triglio (Crispiano), parete verticale 10/05/02; ril. 7 - Gravina di Leucaspide (Statte), alla base della parete 09/07/02.

Specie sporadiche

Tab. 4 - *Irido collinae-Quercetum virgilianae* Biondi, Casavecchia, Guerra, Medagli, Beccarisi, Zuccarello 2004
Ril. 1 - *Myrtus communis* L. 2.2, *Carex hallerana* Asso 2.2, *Rubia peregrina* L. var. *longifolia* Poiret 1.2, *Allium subhirsutum* L. +, *Oryzopsis miliacea* (L.) Asch et Schweinf. +.2, *Teucrium chamaedrys* L. +.2; Ril. 2 - *Osyris alba* L. +.2, *Daphne gnidium* L. +, *Cistus creticus* L. ssp. *creticus* +, *Cistus monspeliensis* L. +, *Sanguisorba minor* Scop. +, *Jurinea mollis* (L.) Rchb. +.

Tab. 5 - *Roso sempervirentis-Rubetum ulmifolii* Blasi, Di Pietro, Fortini 2000

variante a *Carpinus orientalis*

variante a *Pistacia terebinthus* L. x *saportae*

Ril. 1 - *Calamintha nepeta* (L.) Savi +.2; Ril. 2 - *Arbutus unedo* L. 1.1, *Orobanche hederae* Duby +.2; Ril. 3 - *Phillyrea media* L. 1.2, *Geranium purpureum* Vill. +; Ril. 4 - *Quercus trojana* Webb 1.2, *Carex hallerana* Asso, +.2 *Fumaria capreolata* L. 2.2, *Silene italica* (L.) Pers. +.2, *Sideritis romana* L. +.2, *Linum trigynum* L. +.2, *Briza maxima* L. +.2, *Ranunculus*

bulbosus L. ssp. *aleae* (Willk.) Rouy et Fouc. +; Ril. 5 - *Lonicera implexa* Aiton 1.2, *Ficus carica* L. 1.2, *Acanthus mollis* L. 2.2, *Vicia cracca* L. +.2; Ril. 6 - *Cistus creticus* L. ssp. *eriocephalus* (Viv.) Greuter & Burdet, *Brachypodium distachyum* (L.) Beauv. +.2, *Micromeria graeca* (L.) Bentham 1.2, *Arum italicum* Miller 1.2, *Teucrium polium* L. +, *Anagallis arvensis* L. +, *Crupina crupinastrum* (Moris) Vis. (+), *Sedum dasypyllyum* L. 1.1, *Galium verum* L. +.2, *Hippocrepis unisiliquosa* L. +, *Potentilla reptans* L. +.2, *Trifolium stellatum* L. +; Ril. 7 - *Echinops siculus* Strobl +, *Buglossoides purpurocaerulea* (L.) Johnston +.2, *Fraxinus ornus* L. 1.1, *Clinopodium vulgare* L. +.2, *Iris collina* Terr. +.2, *Helictotrichon convolutum* (Presl) Henrard +.2; Ril. 8 - *Juniperus oxycedrus* L. ssp. *macrocarpa* (S. et S.) Ball 1.1, *Urtica dioica* L. +.

Tab. 6 - *Asparago acutifolii-Osyridetum albae* Allegrezza, Biondi, Formica, Ballelli, 1997

Ril. 1 - *Euphorbia wulfenii* Hoppe 3.4, *Eryngium amethystinum* L. +, *Silene vulgaris* (Moench) Garcke ssp. *angustifolia* (Miller) Hayek 1.2, *Ferula communis* L. ssp. *glaucia* (L.) Rouy et Camus +, *Carlina corymbosa* L. 2.2, *Bellis sylvestris* Cyr. 1.1, *Dactylis glomerata* L. 2.2, *Foeniculum vulgare* Miller ssp. *piperitum* (Ucria) Coutinho 1.1; Ril. 2 - *Pistacia lentiscus* L. +, *Olea europaea* L. var. *sylvestris* Brot. +, *Geranium purpureum* Vill. +.2, *Arum italicum* Miller +; Ril. 3 - *Smilax aspera* L. +, *Dorycnium hirsutum* (L.) Ser. 1.2; Ril. 5 - *Ruscus aculeatus* L. 1.2, *Cyclamen hederifolium* Aiton +, *Daphne gnidium* L. 1.2, *Cistus creticus* L. ssp. *creticus* +, *Geranium sanguineum* L. +.2; Ril. 6 - *Brachypodium sylvaticum* (Hudson) Beauv. +.2, *Sedum rupestre* L. +, *Scabiosa maritima* L. +, *Stachys salviifolia* Ten. +, *Torilis arvensis* (Hudson) Link ssp. *purpurea* (Ten.) Hayek +, *Delphinium halteratum* S. et S. +, *Allium tenuiflorum* Ten. +, *Reichardia picroides* (L.) Roth +; Ril. 7 - *Quercus ilex* L. +, *Teucrium chamaedrys* L. +, *Micromeria graeca* (L.) Bentham +, *Acanthus mollis* L. 1.2, *Calamintha nepeta* (L.) Savi +, *Oryzopsis miliacea* (L.) Asch. et Sch. ssp. *thomasii* (Duby) Pign. +, *Elaeoselinum asclepium* (L.) Bertol. +, *Teucrium flavum* L. +, *Dasyptimum villosum* (L.) Borbas +, *Asphodeline liburnica* (Scop.) Rchb. 1.1, *Leopoldia comosa* (L.) Parl. +, *Silene latifolia* Poiret +, *Sternbergia lutea* (L.) Ker-Gawl. +.

Tab. 7 - *Coronillo valentinae-Juniperetum turbinatae*

Ril. 1 *Cistus creticus* L. ssp. *eriocephalus* (Viv.) Greuter & Burdet +, *Satureja cuneifolia* Ten. 1.2, *Cistus creticus* L. ssp. *creticus* +, *Fumaria capreolata* L. +, *Carex flacca* Schreber +.2, *Teucrium polium* L. +; ril. 2 - *Fumana ericoides* (Cav.) Gandog. +.2, *Helianthemum jonium* Lacaia +.2, *Hippocrepis ciliata* Willd. +, ril. 3 - *Elaeoselinum asclepium* (L.) Bertol. +

ril. 4 - *Oryzopsis miliacea* (L.) Asch. et Schweinf. +, *Reseda alba* L. +.2, *Fumaria capreolata* L. +.2, *Anemone hortensis* L. +; ril. 5 - *Satureja montana* L. ssp. *montana* +.2; ril. 6 - *Rhamnus saxatilis* Jacq. ssp. *inectorius* (L.) P. Fourn. 1.2, *Stipa bromoides* (L.) Dorfl. +.2, *Carex hallerana* Asso +.2.

Tab. 8 - *Coronillo emeroidis-Pistacietum lentisci*

Ril. 1 - *Ruta chalepensis* L. 2.2, *Ferula communis* L. 2.1, *Linum strictum* L. ssp. *strictum* +, *Convolvulus cantabrica* L. +, *Geranium rotundifolium* L. 1.2, *Psoralea bituminosa* L. 1.2, *Fumaria capreolata* L. 1.2, *Celtis australis* L. 1.1, *Convolvulus elegantissimus* Miller +.2, *Dasyptimum villosum* (L.) Borbas +.2, *Sedum rupestre* L. +; ril. 2 - *Asphodeline lutea* (Scop.) Rchb. + ; ril. 3 - *Stipa bromoides* (L.) Dorfl. +.2, *Acer monspessulanum* L. +.2, *Rhamnus saxatilis* Jacq. ssp. *inectorius* (L.) P. Fourn. +.2; ril. 4 - *Cistus creticus* L. ssp. *Creticus* +.2, *Micromeria graeca* (L.) Bentham +.2, *Cistus monspeliensis* L. +.2, *Elaeoselinum asclepium* (L.) Bertol. +, *Oryzopsis miliacea* (L.) Asch. et Schweinf. +.2, *Prunus spinosa* L. +; ril. 5 - *Sanguisorba minor* Scop. +, *Vicia cracca* L. +, *Paliurus spina christi* Miller 1.2, *Silene italica* (L.) Pers. +; ril. 6 - *Thymus capitatus* (L.) Hofm. et Lk.+, *Sonchus tenerrimus* L.+.

Tab. 9 - *Oleo sylvestris-Calicotometum infestae*

Ril. 1 - *Cistus creticus* L. ssp. *eriocephalus* (Viv.) Greuter e Burdet 1.2, *Ruta chalepensis* L. +.2, *Urginea maritima* (L.) Baker +, *Rhamnus saxatilis* Jacq. ssp. *inectorius* (L.) P. Fourn. +.2; ril. 2 - *Hippocratea glauca* Ten. +.2; ril. 3 - *Thymus capitatus* (L.) Hofm. et Lk. 1.2, *Phagnalon saxatile* (L.) Cass. +, *Briza maxima* L. +.2, *Lagurus ovatus* L. +.2, *Melica transylvanica* Schur 1.2; ril. 4 - *Nigella damascena* L. +.2, *Pallenis spinosa* (L.) Cass. +, *Ammoides pusilla* (Brot.) Breistr. +.2; ril. 5 - *Crupina crupinastrum* (Moris) Vis. +; ril. 6 - *Dorycnium hirsutum* (L.) Ser. +.2, *Carex flacca* Schreber +.

Tab. 10 - *Coronillo emeroides-Euphorbietum dendroidis* Gèhu & Biondi 1997

subass. *coronilletosum valentinae*

Ril. 2 - *Pyrus amygdaliformis* Vill. 1.1, *Dianthus sylvestris* Wulfen ssp. *garganicus* (Grande) Pign. +.2, *Sedum rupestre* L. +.2; ril. 3 - *Sonchus tenerrimus* L. +, *Geranium molle* L. +, *Scorzonera villosa* Scop. +.2, *Geranium purpureum* Vill. +, *Arum italicum* Miller +.2, *Micromeria graeca* (L.) Bentham +.2; ril. 4 - *Capparis spinosa* L. var. *inermis* +.2, *Silene alba* (Miller) Krause +.2; ril. 5 - *Sedum dasypodium* L. +, *Sedum stellatum* L. +, *Rosmarinus officinalis* L. + ril. 6 - *Stipa bromoides* (L.) Dorfl. +.2; *Hypericum triquetrifolium* Turra +.2.

Tab. 11 - *Cyclamino repandi-Paliuretum spinae-christi* Biondi 1999

Ril. 1 - *Brachypodium distachyrum* (L.) Beauv. +.2; ril. 3 -

Daucus carota L. +.2, *Avena barbata* Potter +, *Geranium rotundifolium* L. 1.2, *Carduus pycnocephalus* L. +.2, *Catapodium rigidum* (L.) Hubbard +.2, *Ononis viscosa* L.+.2 *Paspalum paspaloides* (Michx.) Scribner +.2 ; ril. 4 - *Micromeria graeca* (L.) Bentham +.2, *Sedum rupestre* L. +.2, *Fedia caput-bovis* Pomel 1.2, *Urospermum picroides* (L.) Schmidt +.2; ril. 6 - *Anemone hortensis* L. +; ril. 7 - *Fumaria capreolata* L. +.2, *Silene alba* (Miller) Krause +, *Mercurialis annua* L. +, *Geranium purpureum* Vill.+; ril. 8 - *Buglossoides purpurocaerulea* (L.) Johnston 1.2, *Allium lehmannii* Lojac. 1.2, *Pallenis spinosa* (L.) Cass. +.2, *Iris collina* Terr.+, *Bromus alopecuroides* Poiret +.2; ril. 9 - *Ballota nigra* L. +.2, *Petrorhagia saxifraga* (L.) Link +.2, *Borago officinalis* L. +.2, *Plumbago europaea* L. 1.2; Ril. 10 - *Umbilicus horizontalis* (Guss.) DC. +, *Brachypodium rupestre* (Host) R. et S. 1.2.

Tab. 13 - *Convolvulo elegantissimae-Stipetum austroitalicae*

Ril. 1 - *Linum strictum* L. ssp. *strictum* +, *Nigella damascena* L. +, *Asparagus acutifolius* L. +.2, *Allium lehmannii* Lojac. 1.1, *Cynosurus echinatus* L. 1.2, *Scilla autumnalis* L. +, *Ammoides pusilla* (Brot.) Breistr. 1.2, *Lotus corniculatus* L. 1.2; ril. 2 - *Sideritis romana* L. 1.2, *Brachypodium distachyrum* (L.) Beauv. +, *Stipa capensis* Thunb. +, *Urospermum dalechampii* (L.) Schmidt +, *Euphorbia helioscopia* L. +, *Oryzopsis miliacea* (L.) Asch. et Schweinf. +.2 ; ril. 3 - *Nigella damascena* L. +, *Tremastelma palaestinum* (L.) Janchen +; ril. 4 - *Linum strictum* L. ssp. *strictum* 1.2, *Tremastelma palaestinum* (L.) Janchen 1.2, *Chamaecytisus spinescens* (Presl) Rothm. +; *Leontodon tuberosus* L. +.2; ril. 5 - *Bromus scoparius* L. +, *Bromus madritensis* L. +, *Ruta chalepensis* L. +, *Silene vulgaris* (Moench) Garcke + ; ril. 6 - *Asparagus acutifolius* L. +, *Plantago lanceolata* L. var. *sphaerostachya* Mert. et Koch +, *Echium vulgare* L. +; ril. 7 - *Chamaecytisus spinescens* (Presl) Rothm. (+), *Reseda alba* L. 1.2, *Anagallis foemina* Miller 1.2, *Sonchus tenerrimus* L. +.2; ril. 8 - *Bromus scoparius* L. +, *Poa bulbosa* L. +, *Trifolium stellatum* L. +, *Ferula communis* L. +, *Psoralea bituminosa* L. +, *Nigella arvensis* L. +; ril. 9 - *Sideritis romana* L. 1.2, *Brachypodium distachyrum* (L.) Beauv. +, *Poa bulbosa* L. +.

Tab. 14 - *Cardopatio corymbosi - Brometum erecti*

Ril. 1 - *Micromeria graeca* (L.) Bentham +, *Briza maxima* L. +, *Urospermum picroides* (L.) Schmidt +.2, *Allium subhirsutum* L. +, *Oenanthe pimpinelloides* L. +.2 ; ril. 2 - *Plantago serraria* L. +, *Carex distachya* Desf. + ; ril. 3 - *Odontites rubra* (Baumg.) Opiz 1.2, *Lophochloa cristata* (L.) Hyl. +, *Lagurus ovatus* L. +, *Scilla autumnalis* L. 1.1, *Delphinium halteratum* S. et S. +, *Allium sphaerocephalon* L.+.2; ril. 5 - *Dactylis hispanica* Roth, 1.2 *Bromus scoparius* L. +.2, *Anemone hortensis* L.+; ril. 6 - *Biscutella didyma* L.+.

Tab. 15 - *Centaureo apulae-Andropogonetum distachyi*
Ril. 1 - *Hyparrhenia hirta* (L.) Stapf 1.2; ril. 2 - *Crupina crupinastrum* (Moris) Vis. +, *Helianthemum salicifolium* (L.) Miller +.2, *Brachypodium distachyum* (L.) Beauv. +, *Linum strictum* L. ssp. *strictum* +, *Bellardia trixago* (L.) All. +, *Reichardia picroides* (L.) Roth +, *Pallenis spinosa* (L.) Cass. +; ril. 3 - *Carlina corymbosa* L. +, *Plantago lanceolata* L. var. *sphaerostachya* Mert. et Koch +; ril. 4 - *Odontites lutea* (L.) Clairv. +.2, *Minuartia mediterranea* (Link) Maly +.2, *Lagurus ovatus* L. +.2, *Ajuga chamaepitys* (L.) Schreber +, *Helianthemum jonium* Lacaita 1.2; ril. 5 - *Bromus sterilis* L. +, *Scilla autumnalis* L. +.2, *Echium vulgare* L. +, *Leontodon tuberosus* L. +, *Sternbergia lutea* (L.) Ker-Gawl. 1.2, *Narcissus serotinus* L. +.

Tab. 16 - *Stipo austroitalicae-Hyparrhenietum hirtae*
Ril. 3 - *Silene vulgaris* (Moench) Garcke +; ril. 4 - *Reseda alba* L. +, *Echium vulgare* L. +; ril. 5 - *Urospermum dalechampii* (L.) Schmidt +.2, *Sideritis romana* L. +, *Hypochoeris achyrophorus* L. +, *Gastridium ventricosum* (Gouan) Sch. et Th. +.2; ril. 6 - *Onobrychis caput-galli* (L.) Lam. +.2, *Nigella damascena* L. +.2, *Vulpia geniculata* (L.) Link 1.2; ril. 7 - *Andropogon distachyus* L. 1.4, *Odontites lutea* (L.) Clairv. +, *Atractylis cancellata* L. +.2, *Inula viscosa* (L.) Aiton +; ril. 8 - *Anagallis foemina* Miller +.2, *Urospermum picroides* (L.) Schmidt +.2, *Avena sterilis* L. 1.2, *Cynosurus echinatus* L. 1.2, *Linum strictum* L. ssp. *strictum* 1.2, *Trifolium stellatum* L. 2.2, *Tetragonolobus purpureus* Moench +.2, *Galium aparine* L. +.

Tab. 17 - *Helianthemo jonii-Thymetum capitati*
variante a *Rosmarinus officinalis*
Ril. 1 - *Calicotome infesta* (Presl.) Guss. 1.1, *Potentilla hirta* L. 1.1, *Jurinea mollis* (L.) Rchb. ssp. *moschata* 1.2, *Pallenis spinosa* (L.) Cass. +, *Trifolium stellatum* L. +; ril. 2 - *Allium sphaerocephalon* L. +.2, *Gastridium ventricosum* (Gouan) Sch. et Th. +.2, *Bromus fasciculatus* Presl 1.2, *Atractylis cancellata* L. +.2, *Linum strictum* L. ssp. *corymbulosum* (Rchb.) Rouy +, *Vulpia ciliata* (Danth.) Link 1.2, *Serratula cichoracea* (L.) DC. ssp. *cichoracea* +; ril. 3 - *Ophrys sphecodes* Miller 1.2, *Helianthemum salicifolium* (L.) Miller +; ril. 6 - *Asphodelus microcarpus* Salzm. et Viv. +; ril. 7 - *Asparagus acutifolius* L. +.2, *Dasyptorum villosum* (L.) Borbas +; ril. 8 - *Brachypodium distachyum* (L.) Beauv. +.2, *Biscutella didyma* L. +.2; ril. 9 - *Scorzonera villosa* Scop. +.2, *Trifolium scabrum* L. +.2, *Vulpia geniculata* (L.) Link +.2; ril. 11 - *Anthyllis tetraphylla* L. +; ril. 12 - *Anagallis foemina* Miller +; ril. 14 - *Rhamnus alaternus* L. +; *Stachys salviifolia* Ten. +, *Asperula aristata* L. fil. +, *Centaurium erythraea*; ril. 15 - *Prasium majus* L. 1.2, *Reseda alba* L. +; ril. 16 - *Linum tommasinii* Rchb. +, *Melica arrecta* O.Kuntze

+.2; ril. 17 - *Melica ciliata* L. +.2.

Tab. 18 - *Ruto chalepensis-Salvietum trilobae*

Ril. 1 - *Asphodelus microcarpus* Salzm. et Viv. +, *Scorzonera villosa* Scop. ssp. *columnae* (Guss.) Nyman +, *Asphodeline lutea* (L.) Rchb. +, *Sedum rupestre* L. +; ril. 2 - *Stipa capensis* Thunb. +; ril. 3 - *Geranium sanguineum* L. +.2; ril. 4 - *Stipa austroitalica* Martinovsky ssp. *austroitalica* +.2, *Convolvulus cantabrica* L. +, *Eryngium campestre* L. +, *Crepis leontodontoides* All. 1.2, *Sternbergia lutea* (L.) Ker-Gawl. +, *Narcissus serotinus* L. +; ril. 5 - *Psoralea bituminosa* L. 1.2, *Lagurus ovatus* L. +, *Mercurialis annua* L. +, *Allium subhirsutum* L. +, *Vicia cracca* L. +.2, *Ononis viscosa* L. 1.2, *Thlaspi stylorum* (Ten.) Mutel +.

Tab. 19 - *Chamaecytiso spinescentis-Cistetum eriocephali*

Ril. 1 - *Prasium majus* L. +, *Sanguisorba minor* Scop. +.2, *Calicotome infesta* (Presl.) Guss. 1.2, *Centaurea subtilis* Bertol. 1.2; ril. 2 - *Allium subhirsutum* L. +.2, *Ferula communis* L. 1.2, *Asparagus acutifolius* L. +.2, *Cyclamen hederifolium* Aiton +, *Hippocrepis glauca* Ten. +.2, *Asphodelus microcarpus* Salzm. et Viv. 1.2, *Orchis papilionacea* L. 1.2, *Plantago lanceolata* L. 1.2; ril. 3 - *Clematis flammula* L., 1.2 *Reichardia picroides* (L.) Roth +, *Rubia peregrina* L. +, *Daucus carota* L. +, *Centaurium erythraea* Rafn +.2, *Helicrysum italicum* (Roth) Don ssp. *italicum* +, *Allium lehmannii* Lojac. +, *Quercus trojana* Webb +, *Lonicera etrusca* Santi +, *Dactylis hispanica* Roth +, *Clinopodium vulgare* L. +; ril. 4 - *Jurinea mollis* (L.) Rchb. ssp. *moschata* +, *Centaurea apula* Bianco & Brullo +, *Convolvulus cantabrica* L. +, *Asperula aristata* L. fil. ssp. *scabra* (Presl) Nym. +, *Iris collina* Terr. +, *Melica transylvanica* Schur +; ril. 5 - *Rhamnus alaternus* L. 1.1, *Minuartia mediterranea* (Link) Maly 1.2, *Sedum rupestre* L. +, *Anthyllis vulneraria* L. ssp. *praepropera* (Kerner) Bornm. +, *Linum trigynum* L. +, *Briza maxima* L. +, *Trifolium lucanicum* Guss. +, *Pistacia terebinthus* L. x *saportae* Burnat +, *Bromus erectus* Hudson subsp. *erectus* +.

Tab. 20 - *Asyneumo limonifolii-Saturejetum montanae*

Ril. 1 - *Olea europaea* L. var. *sylvestris* +, *Coronilla valentina* L. +, *Phillyrea media* L. +, *Serratula cichoracea* (L.) DC. ssp. *cichoracea* +, *Scorzonera villosa* Scop. +, *Melica ciliata* L. +.2, *Teucrium chamaedrys* L. +.2, *Brachypodium distachyum* (L.) Beauv. 1.2; ril. 2 - *Sedum rupestre* L. +.2, *Stipa bromoides* (L.) Doerfl. 1.2, *Hyparrhenia hirta* (L.) Stapf 1.2, *Convolvulus elegantissimus* Miller +.2; ril. 4 - *Hippocrepis comosa* L. +; ril. 5 - *Convolvulus cantabrica* L. +, *Allium tenuiflorum* Ten. +, *Linum strictum* L. ssp. *corymbulosum* (Rchb.) Rouy +, *Bellardia trixago* (L.) All. +.

Tab. 21 - *Phagnalo saxatilii-Saturejetum cuneifoliae*
 Ril. 1 - *Sedum rupestre* L. +.2, *Crupina crupinastrum* (Moris) Vis. +, *Ononis reclinata* L. +, *Daucus carota* L. +, *Asparagus acutifolius* L. +, *Stachys salviifolia* Ten.L. +, *Mantisalca duriaeai* (Spach) Briq. et Cavill. +, *Hypericum perforatum* L. 1.1, *Verbascum sinuatum* L. +; ril. 2 - *Cuscuta epithymum* (L.) L. (cfr.) +, *Gastridium ventricosum* (Gouan) Sch. et Th. +, *Dasyptorum villosum* (L.) Borbas +, *Alkanna tinctoria* (L.) Tausch 1.1; ril. 3 - *Olea europaea* L. var. *sylvestris* +, *Dianthus sylvestris* Wulfen ssp. *garganicus* (Grande) Pign. +, *Reichardia picroides* (L.) Roth +, *Oryzopsis miliacea* (L.) Asch. et Schweinf. +, *Aurinia saxatilis* (L.) Desv. ssp. *megalocarpa* (Hausskn.) Dundley +, *Inula viscosa* (L.) Aiton +, *Sedum album* L. 1.2; ril. 4 - *Pistacia lentiscus* L. +, *Urginea maritima* (L.) Baker 1.2, *Allium subhirsutum* L. +.2, *Sanguisorba minor* Scop. +.2, *Reseda alba* L. +.2, *Crepis neglecta* L. +.2, *Calicotome infesta* (Presl.) Guss. +.2, *Linum tommasinii* Rchb. +, *Carex distachya* Desf. +, *Lathyrus aphaca* L.+.

Tab. 22 - *Phagnalo annotici-Fumanetum thymifoliae* Biondi 1997

subass. *coridothymetosum capitati*
 Ril. 1 - *Sedum sediforme* (Jacq.) Pau 1.2, *Hyparrhenia hirta* (L.) Stapf +.2, *Petrorhagia saxifraga* (L.) Link +.2, *Hippocrepis comosa* L. 1.2, *Scabiosa maritima* L. +, *Urginea maritima* (L.) Baker 1.2, *Lagurus ovatus* L. +.2, *Avena barbata* Potter +.2, *Anagallis foemina* Miller +, *Linum strictum* L. ssp. *strictum* +.2, *Hypochoeris achyrophorus* L. 1.2, *Helianthemum salicifolium* (L.) Miller 1.2, *Atractylis cancellata* L. 2.2, *Filago germanica* (L.) Hudson +.2, *Pyrus amygdaliformis* Vill. 1.1, *Poa bulbosa* L. +; ril. 2 - *Melica ciliata* L. +, *Pallenis spinosa* (L.) Cass. +, *Carex flacca* Schreber +, *Hippocrepis comosa* L. 1.2, *Helictotrichon convolutum* (Presl) Hennard +.2; ril. 3 - *Anthyllis vulneraria* L. ssp. *praepropria* (Kerner) Bornm. +, *Jurinea mollis* (L.) Rchb. ssp. *moschata* +, *Olea europaea* L. var. *sylvestris* +, *Alkanna tinctoria* (L.) Tausch 1.1; ril. 4 - *Asphodelus microcarpus* Salzm. et Viv. +, *Ornithogalum gussonei* Ten. +, *Sideritis romana* L. +; ril. 5 - *Eryngium amethystinum* L. +, *Urospermum picroides* (L.) Schmidt +, *Linum strictum* L. ssp. *corymbulosum* (Rchb.) Rouy +, *Minuartia mediterranea* (Link) Maly +.

Tab. 23 - Aggruppamento a *Cistus monspeliensis*

Ril. 1 - *Urginea maritima* (L.) Baker +, *Sedum sediforme* (Jacq.) Pau +, *Psoralea bituminosa* L. +.2, *Hippocrepis glauca* Ten. 1.2, *Stipa austroitalica* Martinovsky ssp. *austroitalica* +, *Odontites lutea* (L.) Clairv. +, ril. 2 - *Prasium majus* L. +, *Pinus halepensis* Miller +, *Asparagus acutifolius* L. 2.2, *Hippocrepis emerus* (L.) Lassen ssp. *emeroides* (Boiss. et Spruner) Lassen 1.2, *Crataegus monogyna* Jacq. +.2, *Cyclamen hederifolium* Aiton 2.2, *Smilax aspera* L. 1.2, *Rosa sempervirens* L. +.2, *Lonicera implexa* Aiton +, *Salvia virgata* Jacq. +, *Ranunculus bulbosus* L. +, *Anagallis foemina* Miller +, *Cynoglossum cheirifolium* L. +; ril. 3 - *Linum strictum* L. ssp. *strictum* +, *Ferula communis* L. +.2, *Minuartia mediterranea* (Link) Maly +, *Petrorhagia saxifraga* (L.) Link +.2, *Stachys salviifolia* Ten. +.2, *Echium aspernum* Lam. +.2, *Isatis tinctoria* L. 1.2; ril. 4 - *Eryngium campestre* L. +; ril. 5 - *Juniperus oxycedrus* L. ssp. *macrocarpa* (S. et S.) Ball +; ril. 6 - *Jurinea mollis* (L.) Rchb. ssp. *moschata* +, *Cardopatium corymbosum* (L.) Pers. +.

Spruner) Lassen 1.2, *Crataegus monogyna* Jacq. +.2, *Cyclamen hederifolium* Aiton 2.2, *Smilax aspera* L. 1.2, *Rosa sempervirens* L. +.2, *Lonicera implexa* Aiton +, *Salvia virgata* Jacq. +, *Ranunculus bulbosus* L. +, *Anagallis foemina* Miller +, *Cynoglossum cheirifolium* L. +; ril. 3 - *Linum strictum* L. ssp. *strictum* +, *Ferula communis* L. +.2, *Minuartia mediterranea* (Link) Maly +, *Petrorhagia saxifraga* (L.) Link +.2, *Stachys salviifolia* Ten. +.2, *Echium aspernum* Lam. +.2, *Isatis tinctoria* L. 1.2; ril. 4 - *Eryngium campestre* L. +; ril. 5 - *Juniperus oxycedrus* L. ssp. *macrocarpa* (S. et S.) Ball +; ril. 6 - *Jurinea mollis* (L.) Rchb. ssp. *moschata* +, *Cardopatium corymbosum* (L.) Pers. +.

Tab. 24 - Aggruppamento a *Cistus creticus* L. ssp. *creticus*
 Ril. 1 - *Linum strictum* L. ssp. *strictum* +, *Sanguisorba minor* Scop. +, *Convolvulus cantabrica* L. 1.2, *Iris collina* Terr. 1.2, *Linum trigynum* L. +.2, *Teucrium chamaedrys* L. 1.2, *Potentilla hirta* L. 1.1, *Crepis vesicaria* L. +, *Avena barbata* Potter +, *Anagallis arvensis* L. +, *Aegilops geniculata* Roth +, *Filago pyramidata* L. 1.3, *Cynosurus echinatus* L. +.2, *Catapodium rigidum* (L.) Hubbard +, *Brachypodium sylvaticum* (Hudson) Beauv. +.2, *Echinops siculus* Strobl 1.1; ril. 2 - *Minuartia mediterranea* (Link) Maly +, *Petrorhagia saxifraga* (L.) Link +.2; ril. 3 - *Sedum sediforme* (Jacq.) Pau +, *Reichardia picroides* (L.) Roth 1.2, *Asperula aristata* L. fil. ssp. *scabra* (Presl) Nym. +.2, *Seseli tortuosum* L. +.2, *Hyparrhenia hirta* (L.) Stapf +, *Andropogon distachyus* L. +.2, *Brachypodium distachyrum* (L.) Beauv. +, *Crepis leontodontoides* All. +, *Ajuga chamaepitys* (L.) Schreber +; ril. 4 - *Daphne gnidium* L. +, *Pistacia lentiscus* L. +.2, *Rhamnus alaternus* L. +, *Prasium majus* L. +.2, *Ferula communis* L. +, *Oryzopsis miliacea* (L.) Asch. et Schweinf. +.2, *Pinus halepensis* Miller +, *Hippocrepis emerus* (L.) Lassen ssp. *emeroides* (Boiss. et Spruner) Lassen 1.2, *Psoralea bituminosa* L. 1.1, *Crataegus monogyna* Jacq. (+.2), *Coronilla valentina* L. ssp. *glauca* (L.) Batt. +.2, *Carex distachya* Desf. 1.2, *Sonchus tenerrimus* L. +, *Melica arrecta* O.Kuntze +, *Ononis breviflora* DC. +, *Pirus amygdaliformis* Vill. (+.2); ril. 5 - *Daphne gnidium* L. +, *Helictotrichon convolutum* (Presl) Hennard 1.2, *Ononis viscosa* L. +.2.

Tab. 25 - *Medicago disciformis-Brachypodietum distachyi*
Onobrychido aequidentatae- Stipetum capensis

Ril. 1 - *Vicia cracca* L. 1.2, *Ferula communis* L. +, *Sonchus tenerrimus* L. +; ril. 2 - *Ononis viscosa* L. +; ril. 3 - *Fumana thymifolia* (L.) Spach +, *Cuscuta epithymum* (L.) L. +, *Onosma echoioides* L. +; ril. 4 - *Vicia cracca* L. 1.2, *Ophrys lutea* Cav. 1.2, *Plantago lanceolata* L. +, *Teucrium polium* L. +.2, *Anemone hortensis* L. 1.2, *Ophrys bertolonii* Mor. +, *Orchis morio* L. +.2; ril. 6 - *Pallenis spinosa* (L.) Cass. +, *Eryngium campestre* L. 1.2, *Anacamptis pyramidalis* (L.) L.C.Rich +,

Plantago serraria L. +, *Stipa austroitalica* Martinovsky ssp. *austroitalica* +; Ril. 8 - *Ononis viscosa* L. +, *Linum bienne* Miller +, *Micromeria graeca* (L.) Bentham +; ril. 9 - *Fumana thymifolia* (L.) Spach +, *Ophrys lutea* Cav. 1.2, *Lotus edulis* L. +, *Alkanna tinctoria* (L.) Tausch +.2, *Crepis vesicaria* L. ssp. *vesicaria* +, *Euphorbia apios* L. +.2 ; ril. 10 - *Silene otites* (L.) Wibel +; ril. 11 - *Sedum sediforme* (Jacq.) Pau +.2; ril. 13 - *Dactylis hispanica* Roth +.2, *Thymus spinulosus* Ten. +.2; ril. 14 - *Plantago lanceolata* L. 1.2, *Atractylis cancellata* L. +; ril. 15 - *Lotus edulis* L. +, *Carthamus lanatus* L. +; ril. 16 - *Pallenis spinosa* (L.) Cass. +, *Teucrium polium* L. +, *Hyparrhenia hirta* (L.) Stapf +; ril. 19 - *Galium corrudifolium* Vill. +, *Mantisalca duriaeae* (Spach) Briq. et Cavill. +; ril. 20 - *Alkanna tinctoria* (L.) Tausch +, *Delphinium halteratum* S. et S. +, *Micromeria canescens* (Guss.) Bentham; ril. 21 - *Eryngium campestre* L.+, *Hyparrhenia hirta* (L.) Stapf +, *Carlina corymbosa* L. +.

Tab. 26 - *Aurinio-Centauretum apulae* Bianco, Brullo, Pignatti & Pignatti 1988

Ril. 1 - *Asyneuma limonifolium* (L.) Janchen +, *Mercurialis*

annua L. +; ril. 2 - *Satureja cuneifolia* Ten. +, *Prasium majus* L. 1.1, *Adiantum capillus-veneris* L. 1.1, *Thymus capitatus* (L.) Hofmgg. et Lk. 1.2; ril. 3 - *Melica arrecta* O. Kuntze +.2; ril. 5 - *Parietaria diffusa* M. et K. +, *Inula viscosa* (L.) Aiton +, *Antirrhinum majus* L. +; ril. 6 - *Atractylis cancellata* L. 1.2, *Convolvulus elegantissimus* Miller +.2, *Dianthus sylvestris* Wulfen ssp. *garganicus* (Grande) Pign. +.

Tab. 28 - *Capparidetum inermis* O. Bolòs & Molinier 1958 subass. *campanuletosum versicoloris*

Ril. 1 - *Atractylis cancellata* L. 1.2, *Sedum acre* L. 2.2, *Ajuga chamaepitys* (L.) Schreber 1.2, *Ornithogalum gussonei* Ten. +, *Crepis vesicaria* L. +.2; ril. 2 - *Teucrium flavum* L. +.2, *Dasypyrum villosum* (L.) Borbas +.2; ril. 3 - *Reseda alba* L. +, *Convolvulus elegantissimus* Miller +.2, *Plumbago europaea* L. 1.2, *Allium atroviolaceum* Boiss. +, *Hippocrepis ciliata* Willd. +, *Rumex crispus* L. 1.2, *Convolvulus cantabrica* L. +.2; ril. 4 - *Pallenis spinosa* (L.) Cass. 1.2; ril. 5 - *Allium subhirsutum* L. +.2, *Ceratonia siliqua* L. 1.1; ril. 7 - *Satureja cuneifolia* Ten. +.2, *Dianthus sylvestris* Wulfen ssp. *garganicus* (Grande) Pign. +.2.